

POLITECHNIKA ŚLĄSKA

Institut Inżynierii Chemicznej i Budowy Aparatury

Janusz WÓJCIK

ANALIZA METOD PROJEKTOWANIA OBADNIKÓW

RADIAŁNYCH



Gliwice - 9

Praca doktorska

Promotor:

Prof. dr hab. inż. Karol MACHAJ

✓

Gliwice 1987

S.81

66.066 : 662.762, 628.324.51] 6043



R-2707

Witold Gajda

Witold Gajda
Pracownik naukowy
Instytutu Matematyki
Wydziału Matematyczno-Przyrodniczego
Uniwersytetu Śląskiego w Katowicach
Doktorant
Kierowany przez profesora Karola Maciejowicza
Doktorat obroniony 10 kwietnia 1982 r.
Doktorat honoris causa nadany Uniwersytecie Warszawskiemu
w dniu 20 kwietnia 1982 r.
Doktorat honoris causa nadany Uniwersytecie Śląskiemu
w dniu 15 kwietnia 1982 r.
Doktorat honoris causa nadany Uniwersytecie Warszawskiemu
w dniu 15 kwietnia 1982 r.
Doktorat honoris causa nadany Uniwersytecie Warszawskiemu
w dniu 15 kwietnia 1982 r.

Szanownemu Panu

Prof. dr hab. inż. Karolowi MĄCIĘJOWI
składam serdeczne podziękowania za
opiekę, pomoc i wskazówki w czasie
wykonywania i redagowania niniejszej
pracy

<u>Spis treści</u>	str
Spis oznaczeń	5
Wstęp	7
1. Prędkość sedymencacji	10
1.1 Opis procesu opadania	10
1.1.1 Opadanie swobodne	10
1.1.2 Opadanie skrępowane	12
1.1.2.1 Opis opadania w zakresie przejściowym	12
1.1.2.2 Opadanie kolektywne	13
1.1.3 Opis opadania skrępowanego okresowego	16
1.2 Sposoby matematycznego opisu sedymencacji	22
1.2.1 Matematyczne ujęcie sedymencacji Kyncha	22
1.2.2 Ujęcie przy pomocy teorii ruchu drogowego	27
1.2.3 Wzory typu Steinoura	28
1.2.4 Matematyczne ujęcie Scotta	30
1.2.5 Zestawienie wzorów na prędkość sedymencacji i ich sprawdzenie doświadczalne dla zawiesin polidispersyjnych	32
1.2.6 Uwagi własne dotyczące przedstawionych ujęć matematycznych	36
1.3 Ujęcie własne prędkości opadania skrępowanego zawiesiny polidispersyjnej	40
1.4 Wpływ średnicy sferatu na prędkość sedymencacji . . .	56
1.5 Wysokość słupa zawiesiny a prędkość sedymencacji . .	58
2. Powierzchnia sedymencacji	61
2.1 Metody rachunkowe	61
2.2 Obliczanie powierzchni sedymencacji w oparciu o metody graficzne wykorzystujące dane z krzywych sedymencacji	81

	str
2.2.1 Metoda Coe i Clevengers [15, 21, 68]	81
2.2.2 Metoda japońska [4, 21]	86
2.2.3 Metoda Syncha [69]	93
2.2.4 Metoda Talmage'a Fitch'a [1, 70]	94
2.2.5 Metoda Herty, Zioly [71 - 73]	100
2.2.6 Porównanie metod obliczania powierzchni sedimentacji opartych o procedury graficzne	101
3. Wysokość osadnika	103
4. Uwagi własne do projektowania osadników	109
4.1 Propozycja algorytmu projektowania osadników	112
4.1.1 Wstępne stadium projektowania /tzw. koncepcja/	112
4.1.2 Etap założzeń technicznoekonomicznych /ZTE/	113
5. Podsumowanie i wnioski	115
Spis literatury	118
Załączniki	126
Załącznik I	126
Załącznik II	127
Załącznik III	144
Załącznik IV	153
Załącznik V	159
Załącznik VI	165

Spis znaćzeń

ϵ	- współczynnik	
A	- powierzchnia osadnika	$[m^2]$
c, C	- stężenie	
Φ_v	- udział objętościowy	
d	- średnica cząstki	$[\mu m]$
D	- średnica osadnika	$[m]$
f	- pole przekroju ziernu	$[\mu m^2]$
F	- pole całkowitej powierzchni ziern	"
g	- gęstość masowa opaiającego cieku stałego	$[kg/m^2 s]$
g_v	- gęstość objętościowa opaiającego cieku stałego	$[m^3/m^2 s]$
g	- przyśpieszenie siemskie	$[m^2/s]$
G	- strumień opadającego cieku stałego	$[kg/s]$
h, H	- wysokość	$[m]$
k, K	- stała	
K^0	- stała Gammara	
M, m	- stała	
n	- rozcieńczenie	$[kg \text{ cieczy} / kg \text{ c. stałego}]$
m_1	- masa frakcji ziernowej	$[kg]$
n	- ilość pomiarów	
n_i	- ilość ziern	
n	- strumień populacji	$\frac{\text{ilość cząstek}}{m^2 s}$
p	- stężenie	$\frac{m^3 \text{ cieczy}}{kg \text{ c. stałego}}$
q	- stężenie	$\frac{kg \text{ c. stałego}}{m^3 \text{ zawiesiny}}$
Re	- liczba Reynoldsa	
S	- siła	$[N]$
s, s	- strumień cząstek	$\frac{\text{ilość cząstek}}{m^2 s}$

t	- czas	[s]
V	- objętość ziarna	$[\mu\text{m}^3]$
\dot{V}	- objętościowe natężenie przepływu	$[\text{m}^3/\text{s}]$
w	- prędkość opadania	$[\text{cm/min}]$
x	- stosunek masowy	$\frac{\text{kg c.atażaru}}{\text{kg cieczy}}$
ϵ	- porowatość	
η	- dynamiczny współczynnik lepkości	[Pa.s]
λ	- współczynnik oporu przepływu	
ψ	- współczynnik kształtu	
ρ	- gęstość	$[\text{kg/m}^3]$
σ	- odchylenie standartowe	

Indeksy dotyczące

- c - ciecz czysta
- e - ekwiwalentny
- f - powierzchnia
- p - prosień
- v - objętość
- w - wylew
- z - zasilenie

Indeks górnny - np. \bar{V} dotyczy wartości średniej

symbole oznaczające właściwości fizykochemiczne bez indeksu np. :

ρ, η dotyczą substancji.

WSTĘP

Pomińując sedymentację w polu sił ciągłości z innymi operacjami jednoaktowymi, może wydawać się, że jest ona stosunkowo prosta w opisie, projektowaniu czy prowadzeniu ruchu w instalacji przesyłowej. Jednak po dokładniejszym zapoznaniu się z przebiegiem opadania w osadniku pracującym w sposób ciągły, trudno nawet ex post wyjaśnić dla konkretnych parametrów wejściowych otrzymuje się takie, a nie inne parametry wyjściowe. Świadczy to o tym, że operacja ta w znaczączej mierze jest zadewelająco rozpoznana. Podstawionym utrudnieniem jest różnorodność teorii, sformułowań i metodycznych oraz metod pomiaru rozpraszanych po różnych dziedzinach nauki /górnictwo, inżynieria sanitarna czy inżynieria chemiczna/. Brak jest pełnego zestawu, sprawdzonych w praktyce metod badawczych i projektowych. Często występują sprzeczności we wzorach i poglądach np. teoria Pitcha [1] i teoria Richardsoна i Kirza [2]. Innym utrudnieniem jest stosowanie przez badaczy różnorodność sposobów wyrażania stężeń, która komplikuje porównanie wyników uzyskanych dla zawiesin różnych substancji.

Jak wiadomo podstawowymi danymi koniecznymi do obliczania osadników są : moment /objętościowe/ zatrzymania przepływu zasilania, stężenie fazy stałej na zlocie, wylewie i przesiewie z aparatu, prędkość sedymentacji oraz właściwości fizykochemiczne obu faz. Jak dotąd nie ma odpowiedniej teorii pozwalającej na podstawie powyższych parametrów, na poprawne zaprojektowanie osadnika tan, na określenie powierzchni przekroju poprzecznego i wysokości aparatu, ponadto, ze problemem tym zajmowali się m.in. Stokes, Newton i Einstein.

W celu okomentowania powyższych powodów, firmy oferujące osadniki dobierają je najczęściej na podstawie starych, niepubliko-

wanych reguł empirycznych.

Do celów projektowych, niezależnie od obranej metody potrzebna jest znajomość prędkości sedimentacji. Niestety nie istnieją ścisłe metody wyznaczenia wartości tego parametru. Otrzymane z testów okresowych, m.in. empirycznych będą częściowo teoretycznych wyniki są tylko przybliżeniem szkodnej prędkości opadania. Najblitsze rzeczywistości wyniki uzupełnia się z badań na ciągłej instalacji pilotującej. Doświadczenia te są jednak bardzo kosztowne / wymaga dużej ilości zasobów, nie mówiąc o samej instalacji/. W związku z tym najczęściej wykonuje się powary określone w tzw. rurach sedimentacyjnych /kolumnach/. Nymaga to osobnego zantoszenia się nad skutecznością przeprowadzenia wyników uzyskanych dla małych średnic urządzeń pomiarowych do obliczenia aparatów dużych rozmiarów. Najważniejszą zastrzeżeniem wabudze jednak fakt stosowania do projektowania urządzeń o działaniu ciągłym rezultatów doświadczalnych okresowych.

Zasygnalizowane powyżej problemy były przyczyną wielokrotnie badań sedimentacji wykonywanych w Instytucie Inżynierii Chemicznej i Budowy Aparatury Politechniki Śląskiej. Niniejsza praca wykorzystuje części uzyskanych w nich danych doświadczalnych dotyczących zasobów polidispersyjnych wykazujących opadanie skrepowane z granicą możliwości, w szczególności obszaru opadania kolektywnego.

Z uwagi na wymienione na następie trudności celu ponizej pracy jest :

- 1/ Zebrać materiał dotyczącego prędkości sedimentacji skrepsowanej uporządkowanie go, podać krytycznej ocenia, uzupełnienie wzmiankami rozwiązaniami teoretycznymi i wynikami badań własnych.
- 2/ Zgromadzenie i uporządkowanie informacji na temat metod projektowania osadników radialnych o działaniu ciągłym, przeprowadzenie krytycznej analizy wymienionych metod w oparciu o prześranki teoretyczne i przeliczenie z danych eksperymentalnych,

właściwych i obcych, wybór metod godnych poleccenia do projektowania interesujących nas aparatów.

Stąd monograficzny charakter i nietypowa forma niniejszej pracy. Zamiast całościowego, osobnego przeglądu literatury zastosowano przedstawienie informacji literackich w poszczególnych rozdziałach wraz, z właściwymi uwagami krytycznymi, które w tekście wyraźnie podkreślono.

1. Pędkość sedymencji.

1.1 Opis procesu opadania.

Sposób opadania grawitacyjnego cząstek cieka stałego w płynie zależy od ich rozmiaru, kształtu, gęstości obu faz, lepkości ośrodka oraz stężenia i względnej tendencji do przylegania /kohezji/.

Wyróżnia się dwa rodzaje sedymencji : swobodną i skreporaną [3].

1.1.1 Opadanie swobodne.

Sedymencja swobodna /cząsteczkowa/ [1] występuje przy bardzo niskich koncentracjach, gdy nie występują siły przylegania i polega na tym, że każda cząstka opada osobno / z prędkością właściwą dla wyżej wymienionych spraw koncentracji parametrów ujętu/- czyli wpływ cząstek na siebie niezauważalny / wpływ stężenia/ nie istnieje lub jest do pominięcia.

Na opadającą w płynie o gęstości ρ_p pojedynczą cząstkę kulistą o gęstości ρ_c i średnicy d działającą następujące siły : ciążkości s_c

$$s_c = \frac{\pi}{6} d^3 \rho_c g \quad /1/$$

wyporu $s_w = \frac{\pi}{6} d^3 \rho_p g \quad /2/$

oporu przepływu $s_o = \frac{\lambda}{2} \rho_p w_0^2 - \frac{\pi}{4} d^2 \quad /3/$
czyli

bezśredniości $s_b = \frac{\pi}{6} d^3 \rho_p - \frac{d w_0}{dt} \quad /4/$

Występujący w równaniu /3/ współczynnik oporu przepływu λ zależy od liczby $Re = \frac{w_0 d \rho_p}{\eta_c}$.

W obszarze ruchu laminarnego tj. przy $Re < 0,2$ obowiązuje teoretyczne równanie Stokesa :

$$\lambda = \frac{24}{Re} \quad /5/$$

W zakresie ruchu burzliwego gdy $500 < Re < 3 \cdot 10^5$ współczynnik λ jest wielkością stałą $\lambda = 0,44$ (obszar Newtona lub Rittingera) w przedziale przejściowym (Allena) współczynnik oporu przepływu jest funkcją $\lambda = \lambda /Re^{0,9}$.

W całym obszarze liczb $Re < 3 \cdot 10^5$ współczynnik ten można opisać korzystając z równania Wilmoza [4]

$$\lambda = \frac{24}{Re} + \frac{3,73}{\sqrt{Re}} - \frac{0,00483 \sqrt{Re}}{1 + 3 \cdot 10^{-6} Re^{1,5}} + 0,49 \quad /6/$$

Opisane równaniem /6/ siła bezwładności jest iloczynem masy i prędkościennia. Wielu autorów [4 - 8] podaje, że przyśpieszeniu ulega tu również warstwa cieczy przylegająca do cząstki i wobec tego proponują następujący zapis $S_b = \frac{\pi}{6} d^3 / \rho_e + a \cdot \rho_c / \frac{d w}{dt}$, gdzie współczynnik $a = 0,5$ dla cząstek kulistych i zbliżonych do kuli, natomiast dla cylinderów $L/d = 1$ i ruchu prostopadłego o osi $a = 0,75$.

Ponieważ małe cząstki / w niniejszej pracy wymiar maksymalny cząstek był mniejszy od $200 \mu m$ / praktycznie od początku opodania poruszała się ruchem jednostajnym prostoliniowym w zakresie $Re < 0,2$ stąd z pierwszej zasady dynamiki zachodzi równowaga sił

$$S_e = S_w + S_o \quad /7/$$

Podstawiając do równania /7/ równanie / 1,2,3 i 5/ otrzymamy wzór wyprowadzony przez Stokesa

$$\eta_o = \frac{d^2 / \rho_e - \rho_c / g}{18 \eta_c} \quad /8/$$

Gdy opadają cząstki nieskuliaste, ale izometryczne to zamiast wzoru /5/ można zastosować [9, 10]

$$\lambda = \frac{d}{Re} \quad d = \frac{24}{0,843 \lg \frac{\Psi}{0,065}} \quad , \quad \Psi = \frac{P}{P_z}$$

/5/

$$Re = \frac{\pi_0 de \rho_c}{\eta_c} \quad de = \sqrt[3]{\frac{6 V_z}{\pi}}$$

gdzie π_0 to powierzchnia kuli o objętości ziern, P_z - powierzchnia ziarna a V_z - objętość ziern.

1.1.2 Opadanie skrópowane.

1.1.2.1 Opis opadania w zakresie przejściowym.

W miarę wzrostu koncentracji początkowej ziern w zawiesinie osiąga się w końcu takie stężenie /tzw. przejściowe/, przy którym wystąpi mierzalne zmniejszenie się szybkości sedymentacji. Zawiesiny o zagęszczeniu większym od powyższego podlegają opadaniu skrópowanemu [3] /zakłębionemu, hemisfericznemu/, w zakresie przejściowym. Ponizej przedstawiono najczęściej spotowane wzory do obliczania prędkości dla powyższego przedziałku stężeń.

tabl. 1. Wzory na prędkość sedimentacji w zakresie przejściowym

nr	wzór	Autor i źródło
1.1	$w = w_0 / 1 - \alpha c_v /$ $\alpha = 2,5$ dla kul	Sinatra [1]
1.2	$w = w_0 / 1 - 2,6 c_v^{0,5} /$	Sinatra [2]
1.3	$w = \frac{\pi d^2 / \rho_s - \rho_c / g}{\eta_c}$	Robinson [3]
1.4	$w = \frac{8d^2 / \rho_s - \rho_c / g}{18 \eta_c}$	Hawksley [3]

gdzie w_0 - prędkość opadania swobodnego obliczona za wzoru
Stokesa /8/

1.1.2.2 Opadanie kolektywne

Jeżeli w zawiesinie o stężeniu początkowym większym od stężenia przejściowego w dalszym ciągu będzie wzrosła zawartość ciała stałego, to w końcu osiągnięte zostanie stężenie graniczne, przy którym utworzy się wyraźna powierzchnia między fazowa oddzielająca strefę cieczy czystej od zawiesiny zwanej granicą zatoczeń, a części ciała stałego odeniamentują z prędkością będącą funkcją stężenia. Ten typ opadania nazywa się kolektywnym [3], strefowym lub skonsolidowanym [1] bądź gromadnym [4].

Ważny wzrost stężenia początkowego zawiesiny powoduje zmniejszenie się prędkości sedimentacji, a suspenja po przekroczeniu koncentracji tzw. krytycznej osiąga stan kompresji, w którym następuje upakowanie leżących na siebie cząstek. Nacisk pochodzący od ciężaru osadu i ciśnienia hydrostatycznego powoduje wypchanie cieczy z przestrzeni między-ziarnowej tworzącej charakterystyczne konchy [14 - 16], których ciężar przedniere się ku górze.

Gierczyk i Szczepański [17] przeprowadzili pomiary opadania zawiesin bidispersacyjnych węgla kamiennego w wodzie i nuciągały wniosek uzasadniający występowanie ruchu kolektywnego - dla części większych opadających w ośrodku ziaren mniejszych opory przepływu są większe niż dla części mniejszych opadających w czystej cieczy. Przy odpowiednio dużym stężeniu zjawisko to powoduje konsolidację ruchu zawiesiny.

Richardson i Sirza [2] przeprowadzili badanie opadania zawiesin mono i bidispersacyjnych kulek szklanych i stwierdzili, że opadanie kolektywne woale nie występuje i nawet dla suspenji polidispersacyjnej tuż pod granicą zagrożenia zawsze występuje warstwa najmniejszych ziaren / zachodzi segregacja/.

Richardson i Shahi [18] badali opadanie zawiesin polidispersacyjnych przy pomocy materisków radioaktywnych i otrzymali, że ruch kolektywny występuje jedynie w przypadku flikuacji dla zawiesin o $\sigma_v > 0,4$ /piasek cyrkonowy $\rho_s = 4420 \text{ kg/m}^3$ /, a dla części mniejszych zachodzi segregacja.

Battaglia [14] twierdzi, że gdy zawiesina zawiera tylko jedną klasę ziarnową, to nawet dla dużych koncentracji nie obserwuje się ruchu kolektywnego, a gdy składa się z dwóch nie graniczących ze sobą frakcji, to opadanie skonsolidowane rozpoczętu się dopiero po wypadnięciu klasy grubszej. Wydaje się, że pogląd ten jest zanętrznie spraneżny bo, jeśli dla zawiesin monodispersacyjnych nie występuje opadanie kolektywne, to jak może wystąpić dla zawiesiny bidispersacyjnej po wypadnięciu klasy grubszej ?

Battaglia [14] dalej podaje, że zawiesina o ciągłym polidispersacyjnym rozkładzie ziarnowym wydaje się tworzyć pewnego rodzaju kontinuum granulometryczne sedimentujące ze stałą prędkością.

Fitch [1] twierdzi, że opadanie skrępowane zachodzi gdy cząstki cieku stałego stykają się, tworzą plastyczną, przestrzenną strukturę /siatkę/, która filtraje się przepływając przez siatkę ku górze a wszystkie cząstki utrzymujące się w tej strukturze zamieszczone są do opadania z tą samą prędkością. Dla zawiesin o stężeniu z przedziału od przejściowego do granicznego struktura jest rozrzedzona i większe cząstki mogą się przez nią przedrzeć. Ale ze wzrostem koncentracji siatka ta umacnia się i nasze cząstki są w niej utrzymywane.

Wg Bischoffa [4] proces nedymentacji stężeń zawiesin zależy nie tylko od stężenia cieku stałego, ale również od zjawisk zachodzących na powierzchni międzyfazowej cząstki - płyn. Innego rodzaju opadanie obserwowane w cieczach niespolarnych i polarnych.

W celu stwierdzenia czy w trakcie opadania kolektywnego zachodzi segregacja wykonalno następujące doświadczenie dla zawiesiny kredy mialowej w wodzie :

Ustalono wstępnie, że dla stężenia $C_v = 0,1$ zachodzi opadanie z granicą mżliwości. Zawiesinę o takim stężeniu umieszczone w pipecie Andressena i po wymieszaniu zaczęto mierzyć czas. W trakcie opadania pobrano trzy próbki 10 ml zawiesiny po 2, 15 i 71 minutach. Próbki te sfotografowane na mikroskopie skaningowym. [19].

Otrzymane obrazy oceniane przy pomocy pełnautomatycznego analizatora obrazu. Otrzymane wyniki zamieszczone w tabl. 2

tabl. 2 Wyniki analizy ziernowej zawiesiny w trakcie opadania z granicą mżliwości

Próbka	Czas opadania [min]	$\bar{F} [\mu\text{m}^2]$	σ	n
1	2	3,77	8,90	751
2	15	1,44	4,03	1016
3	71	2,51	4,87	1411

gdzie \bar{F} - średnia pole przekroju ziernne

σ - odchylenie standardowe

n - ilość analizowanych ziern

Uzyskane wyniki z uwagi na duży rozrzuł nie wyklucza się opadanie kolektywnego.

Wydaje się, że najbardziej prawdopodobne są twierdzenia Pitcha [1] i Szczepańskiego [17].

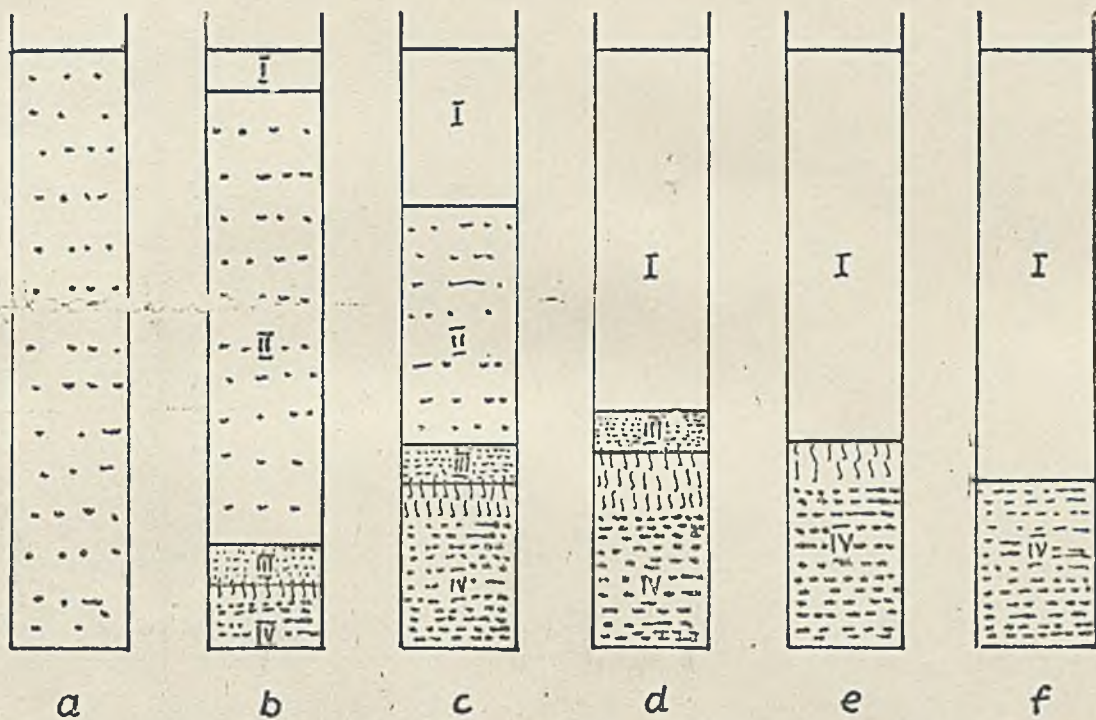
1.1.3 Opis opadania skrgowanego okresowego.

Aby zrozumieć zjawisko zachodzące w osadniku ciągłym kolejnym jest zapoznanie się z przebiegiem opadania okresowego.

Opis sedimentacji okresowej zawiesiny o stężeniu początkowym zazwyczaj opadając kolektywnie podoli po raz pierwszy Gee i Clevenger w fundamentalnej pracy [15] do dzisiaj wykorzystywanej przez wszystkich poważnych badaczy i projektantów.

Po wyrzuczeniu w naczyniu pomiarowym, ziarna ciała stałego są równomiernie rozsiane w całej objętości zawiesiny, czyli jej stężenie jest w każdym miejscu jednakowe /Rys. 1a/. Po pewnym czasie /Rys. 1b/ zależny od sklepu granulometrycznego, stężenie i innych parametrów fizykochemicznych /patrz Rys. 1.1/ tworzą się w zawiesinie cztery strefy I, II, III i IV przy czym pomiędzy czwartą czystą I a strefą jednoetajnego opadania kolektywnego II widoczna jest wyraźna granica między fazowa zwana granicą mocyńści. Strefa IV na dnie naczynia to warstwa komprimującego osadu, która można osiągnąć bezpośrednio lub pośrednio /densometr/ wiedząc, że jej góra powierzchnie jest granicą wcześniej opisanej konstrukcji /kominku/. Bezpośrednio nad IV znajduje się tzw. strefa przejęcia III, której zachowanie badali Gaudin i Pueraten [14] przy pomocy pomiarów densometrem rentgenowskim. Grubość strefy III pozostaje stała podczas opadania /Rys. 1b,c/, zmienia

ons tylko swoje położenie.



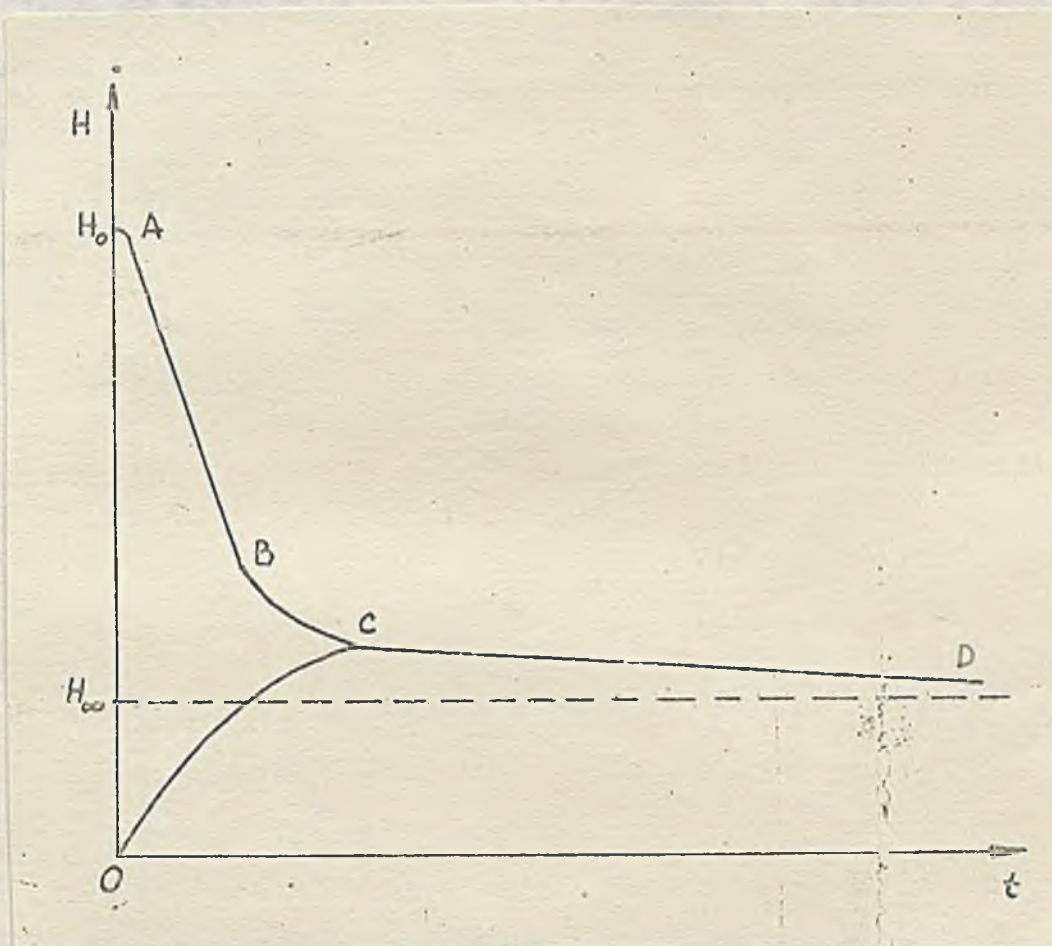
Rys. 1 Kolejne etapy zasypania okrągłej.

Z chwilą zniknięcia strefy II /Rys. 1d/ granica zmienności oddziela bezpośrednio strefy I i III. Następnie grubość III zmniejsza się, a stawa do tej pory szybkość opadania granicy zmienności maleje. W pewnym czasie /Rys. 1e/ w momencie pozostaje tylko warstwa cieczy czystej I i komprymujący osad IV w którym bardzo wolno zanikają kanaly /Rys. 1f/. Moment, w którym zniknie strefa przejściowa III przyjęto nazwać punktem krytycznym lub kompresji.

Kolejny zauważony, że niektórzy autorzy uznają strefę III i IV za jedną fazę gazu i wtedy czas krytyczny definiuje się jako czas zniknięcia strefy II /tzw. fazę rzadkiej/ [20]

Opisany powyżej proces opadanie określonego można przedstawić

i graficznie.

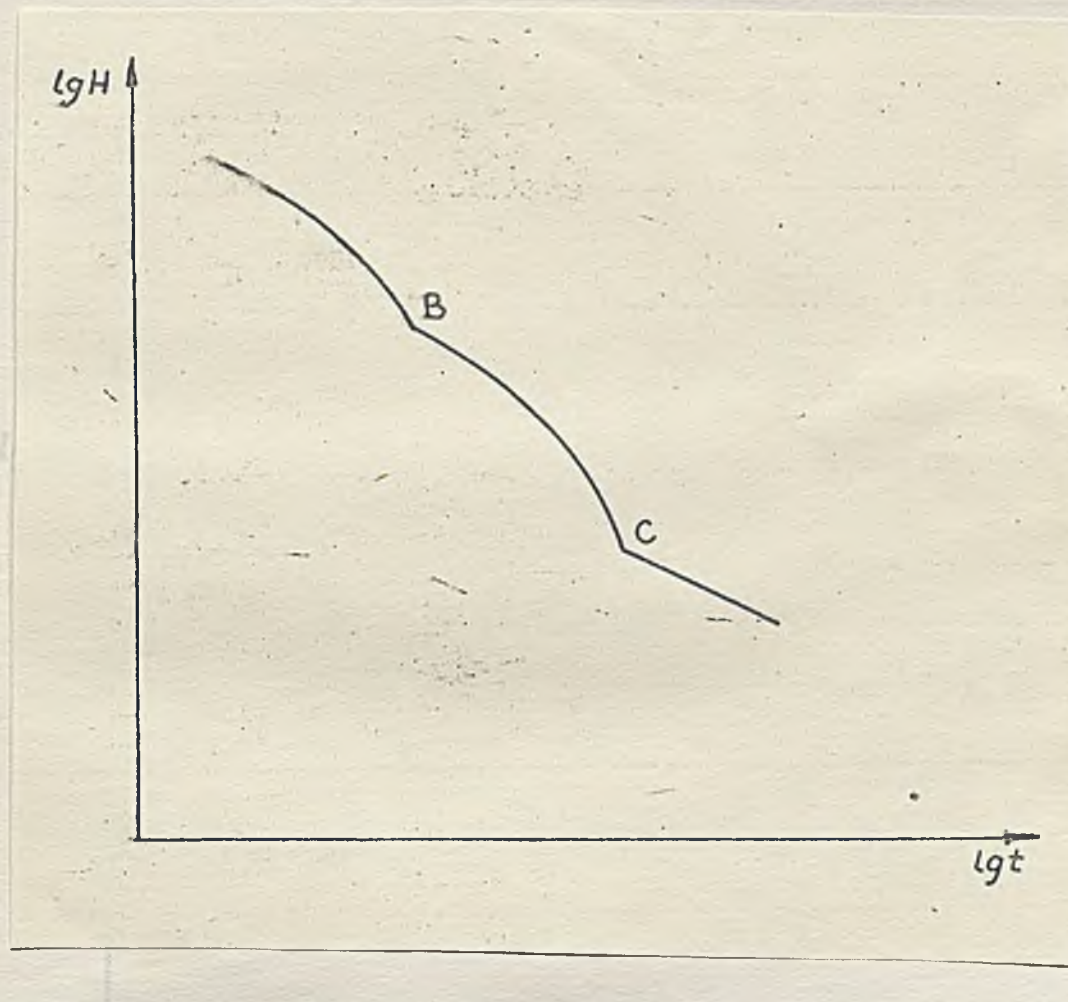


Rys. 2 Wykres krzywej sedymencji

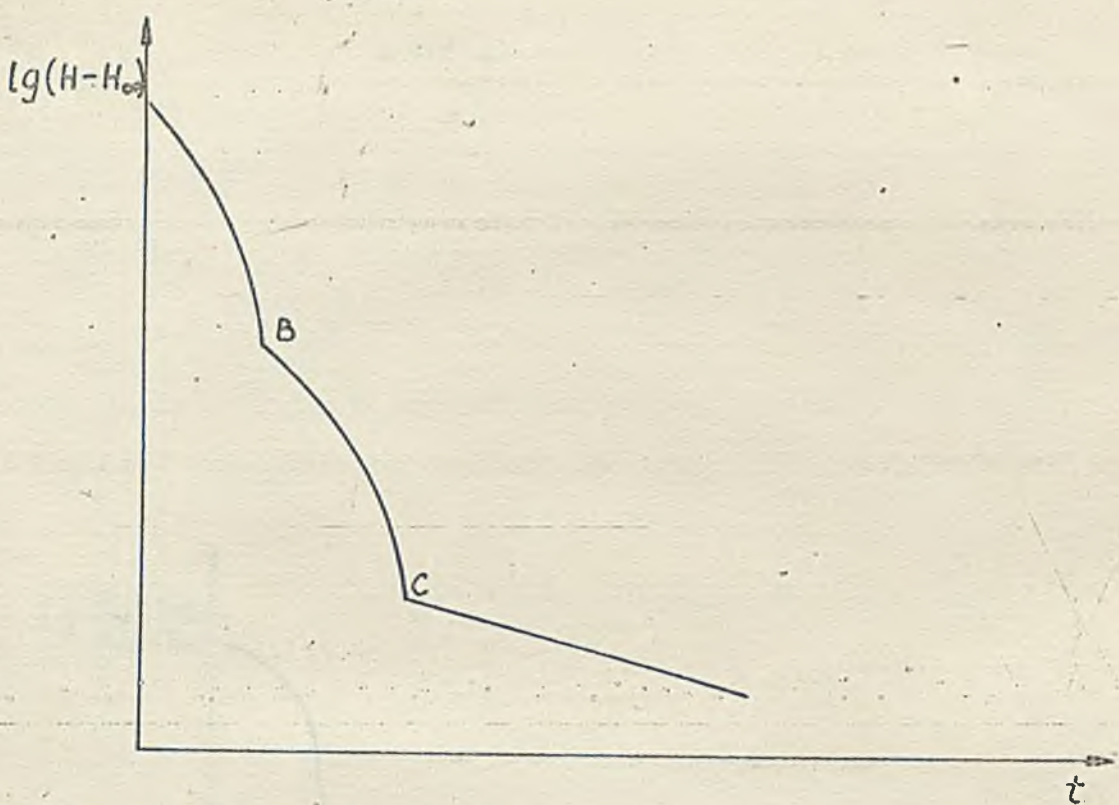
Linie ABCD na Rys.2 będące wykresem położenia granicy mącości w funkcji czasu nazywane jest krzywą sedymencji. Odcinek $H_0 A$ tzw. rozbiegowy może, ale nie musi wystąpić /zależy to od właściwości układu tj. od składu ziernowego, tendencji do flokulacji, intensywności mieszania, lepkość ośrodka itp./. AB to wykres opadania kolektywnego, ze stałą prędkością zależną przede wszystkim od stężenia początkowego zawiesiny /granica mącości oddziela strefy I i II/. Krzywa BC przedstawia sedymencję w strefie przeciwiowej z malejącą prędkością /granica mącości oddziela warstwę I i III/. Punkt C to punkt krytyczny /znika strefa III/. Linia CD jest wykresem kompresji osadu /Rys. 1e,f/, Krzywa CC przedstawia narastanie osadu /strefa IV/ na dnie naczynia. H_∞ to wysokość

$\lg(H-H_0)$

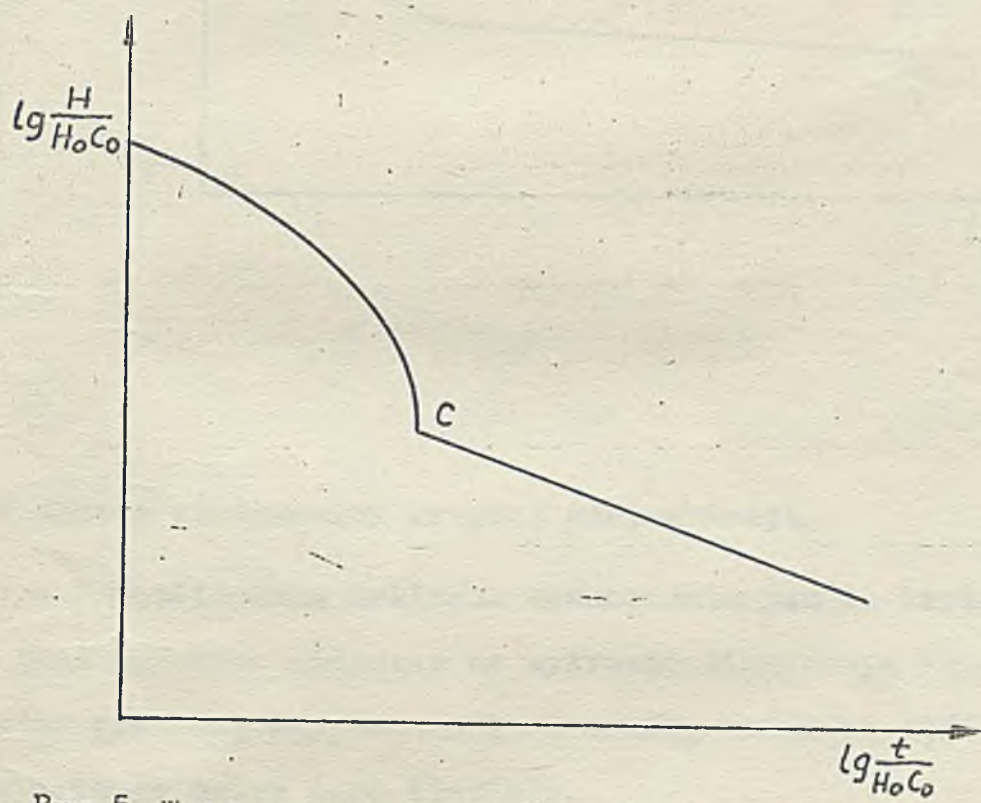
kość osadu po nieznaczonym osiągnięciu kompresji. Należy w tym miejscu wspomnieć, że istnieją również inne formy przedstawienia krzywej sedymencji np. /Rys.3/ [1] wykres $\lg H$ od $\lg t$, wykres Robertsa /Rys.4/ [1] który przedstawia $\lg (H - H_\infty) = f(t)$. Ostatni stowarza się również tzw. wykresy unormowane /Rys.5/ $\lg (H/H_0)$ od $\lg t$ /Rys.6/ [21]. Wśród także spotkać wykresy zredukowanej wysokości osadu $\lg \frac{H - H_\infty}{H_0 - H_\infty}$ od czasu /Rys.6/ [20].



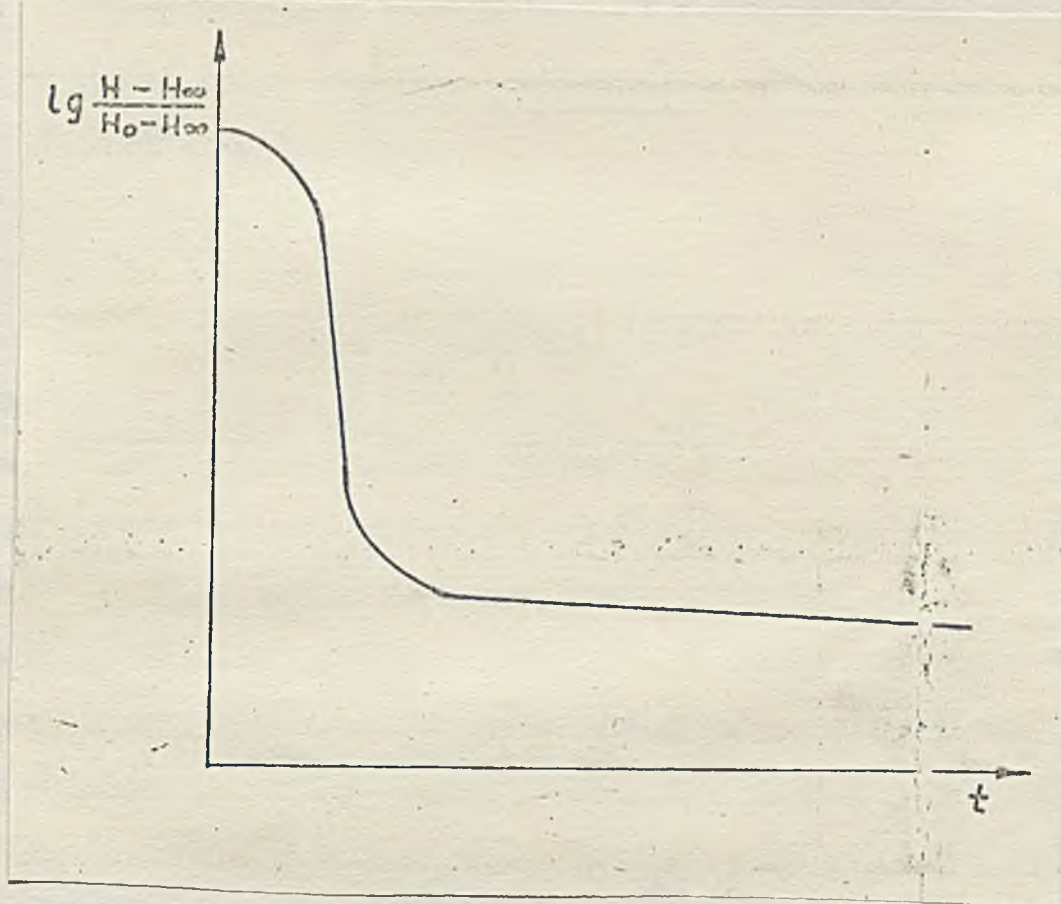
Rys.3 Wykres $\lg H$ od $\lg t$



Rys. 4 Wykres Robertsa



Rys. 5 Wykres unormowany krzywej sedimentacji.



Rys. 6 Wykres zredukowany krzywaj sedymentacji.

Rys. 3 - 7 umożliwiają dokładne wyznaczenie punktu krytycznego, jeśli jest on słabo widoczny na wykresie klasycznym /Rys. 2/.

Znając przebieg sedymentacji okresowej można przejść do prób matematycznego opisu tego zjawiska.

1.2 Sposoby matematycznego opisu sedymencacji.

1.2.1 Matematyczne ujęcie sedymencacji krywej.

Już Coe i Clevenger [15] w obserwacji krywych sedymencacji otrzymanych dla różnych stężeń początkowych danej zawiesiny wyliczyli następujące wnioski :

- 1/ prędkość opadania początkowego /stałe pochylenie krywej sedymencacji / dla danej zawiesiny jest tylko funkcja koncentracji początkowej,
- 2/ zmniejszenie prędkości sedymencji w strefie przejściowej spowodowane jest przesunięciem się ku górze stref o niskim stężeniu, ograniczających możliwości przepływu ciasne stężeń. Jednak dopiero Kynch [16] potrafiał wykorzystać te spostrzeżenia i przy pomocy pewnych wywodów matematycznych otrzymać interesujące rezultaty tzn. metodę graficzną pozwalającą na podstawie jednego testu okresowego znalezienia prędkości sedymencacji jako funkcji stężenia. Podstawa do tych rozważań były zewnętrzne obserwacje opadających zawiesin, a właściwie krywych sedymencacji. Wynody te oparte są na następujących założeniach :
 - 1/ prędkość sedymencacji danej zawiesiny zależy wyłącznie od lokalnego stężenia cząstek,
 - 2/ koncentracja ciasne stężeń jest jednakowa w każdym przekroju poprzecznym,
 - 3/ stężenie początkowe jest takie samo w całej zawiesinie lub różnicie w kierunku dnu,
 - 4/ prędkość sedymencacji dąży do zero jeżeli stężenie osiągnie wartość koncentracji kompresji na dnie naczynia,
 - 5/ zawiesina jest monodispergijna,
 - 6/ wpływ ścian naczynia sedymenccyjnego może być powinięty.

Jeliż strumień opadających cząstek zdefiniować jako iloczyn lokalnej koncentracji rozumianej jako ilość cząstek w jednostce objętości zawiesiny i prędkości sedimentacji

$$\dot{e} = c \cdot v$$

/9/

a h jako wysokość dowolnego przekroju poprzecznego względem dna naczynia, to różnica strumieni dla h i h + dh w czasie dt wyniesie

$$[\dot{e}/h + dh] - [\dot{e}/h] \quad \exists \quad dt = d\dot{e} \quad dt = dt \quad dh \quad \frac{\partial e}{\partial t} \quad /10/$$

Po elementarnych przekształceniach

$$\frac{\partial e}{\partial t} = \frac{\partial \dot{e}}{\partial h}$$

$$\frac{\partial \dot{e}}{\partial h} = \frac{\partial \dot{e}}{\partial c} \cdot \frac{\partial c}{\partial h}$$

$$\text{z równania } /3/ \quad \dot{e} = \dot{s}/c/$$

$$\frac{\partial c}{\partial t} = \frac{\partial \dot{e}}{\partial c} \cdot \frac{\partial c}{\partial h} = 0 \quad /11/$$

z opisanego w rozdziale 1.1.3 mechanizmu procesu wynika, że $c = c/h, t/$ czyli

$$dc = \frac{\partial c}{\partial h} \quad dh + \frac{\partial c}{\partial t} \quad dt$$

Gdy $c = \text{const}$ jak np. podczas jednostajnego opadania kolektywnego wtedy $dc = 0$

$$\frac{\partial c}{\partial h} \quad dh = - \frac{\partial c}{\partial t} \quad dt$$

$$\frac{\partial c}{\partial h} = - \frac{\frac{\partial c}{\partial t}}{\frac{dh}{dt}}$$

/12/

Po stawieając równanie /12/ do równania /11/ otrzymamy

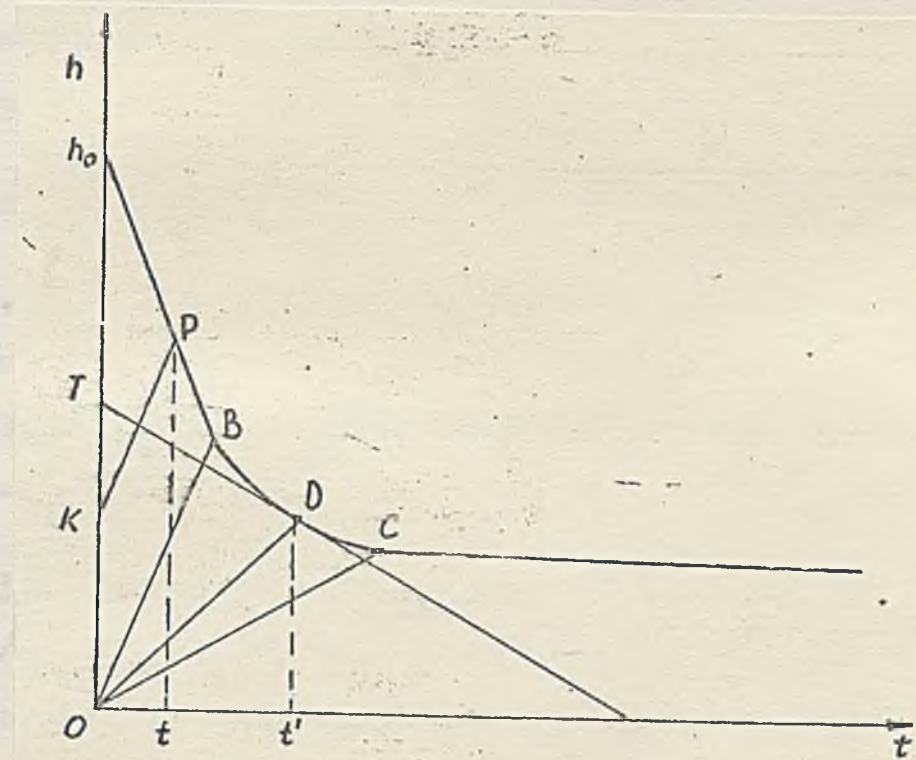
$$\frac{\partial z}{\partial t} - \frac{\partial \dot{z}}{\partial c} \left[- \frac{\frac{\partial c}{\partial t}}{\frac{dh}{dt}} \right] = 0$$

stąd $\frac{\partial \dot{z}}{\partial c} = \left(\frac{dh}{dt} \right)_f = w_f$ /13/

nowies i indeks f wprowadzone aby powyższego wyrażenia nie mylić z prędkością opadania, a w_f to prędkość fali o stopniu $c = \text{const.}$
 Który wprowadza pojęcie fali stopni, której można rozumieć
 poruszającą się od dna naczynia powierzchnię o stałym stopniu.

Poniższe rozważanie dotyczy zawiesiny dla której otrzymuje się kleszczową krzywą opadania jak na Ryc. 7.

Jedeli zawiesina o stopniu początkowym c_0 zapewniającym opadanie kolektywne z prostoliniowym odcinkiem na krzywej opadania podlega sedymencacji, to na dnie naczynia zaczynał trwać się fale /powierzchnie/ o koncentracji wyższej od stopnia c_0 i przemieszczająca się ku górze. Granica mocy opady tak dugo ze stałą prędkością, că fala o stopniu / $c > c_0$ / dotra do zwierciadła zawiesiny. Wtedy prędkość sedimentacji maleje ze wzrostem stopnia.



Rys. 7 Konstrukcja graficzna Kyncha

Rozpatrzymy przypadek przedstawiony na Rys. 7. Linie równoległe do OB np. KP mają pochylenie $w_f = \left(-\frac{dh}{dt} \right)_f$ - są to tzw. linie stałego stężenia / tutaj c_0 /. Odcinek OC odpowiada linii stałej koncentracji c_{max} /nie uwzględniając zdolności kompresji osadu/. Odcinki łączące punkt C z punktami krzywej BC /np. D/ są obrzędami linii stałego stężenia dla koncentracji pośrednich między c_0 i c_{max} .

Rozważmy przebieg odcinka KP. Położenie P wynika z przemieszczania się z K fali o stałym składowie c_0 z prędkością w_f . Przez powierzchnię tą spadają cząstki z prędkością w_s . Wobec tego całkowity strumień populacji przekształcający przeszedzący przez poruszające się od K do P szczyt fali, w czasie t , = którym fala osiąga zwierciadko

/punkt 1/, wynosi

$$n = c_0 / w_f + w_s / t \quad /14/$$

Ponieważ n odpowiada zwierciadłu zawiesiny, to n musi być równe ilości cząstek początkowo będących powyżej E .

$$c_0 / w_f + w_s / t = c_0 / h_0 - h_k \quad /15/$$

W związku z tym, że stężenie c_0 jest na początku jednakowe w całej zawiesinie, a prędkość sedimentacji zależy tylko od lokalnej koncentracji cząstek, linia ABC jest odcinkiem prostej, mającej pochylanie $w_s = - \frac{dh}{dt}$.

Odcinek \overline{CD} , jak wspomniano wyżej, odpowiada położeniu punktów o stężeniu $c \in [c_0, c_{\max}]$. Gdy fala o stężeniu c dojdzie do punktu D to wszystkie cząstki zawiesiny muszą przejść przez jej otoczkę, cożli

$$c / w_f^t + w_s^t / t = c_0 / h_0 - c \quad /16/$$

Kredląc styczną do krzywej ABCD w punkcie D otrzymamy na jej przedsięciu z osią rzędnych punkt T, dla którego

$$w_s^t \cdot t' = h_g - h_p \quad /17/$$

$$w_f^t \cdot t' = h_p \quad /18/$$

stąd $w_s^t + w_f^t / t' = h_g \quad /19/$

podstawiając równanie /19/ do /16/ otrzymamy

$$c = \frac{c_0 h_0}{h_T} \quad /20/$$

W ten sposób rysując styczne do odpowiednich punktów krzywej BDC i wyznaczając z nich pochylenia, można określić prędkość opadania dla dowolnej wartości stężenia z przedziału (c_0, c_{\max}) .

Predstawione powyżej rozumowanie określa się jako metodą graficzną Kyncha otrzymywaniem $w_s = w_c / c$ / prędkość sedimentacji danej zawiesiny jako funkcji stężenia/.

Niektóre istniejące zawiesiny monodispergiczne [1,22] nie stosujące się do wyproduczonych uogólnień – są to zawiesiny nieidealne, tworzące osady bardzo ścisłe.

Ponisięty przez Kyncha problem narastania osadu na dnie naczynia próbkości poznany Tiller [2]. Rozwiązał on, że odcinki typu CD /rys. 7/ będące liniami stałego stężenia, nie powinny zaczynać się z początku układu, ale z górnej warstwy osadu – oprócz krzywej sedimentacji potrzelane jest także krzywa narastania osadu. Otrzymane przez niego modyfikacja metody Kyncha na razie nie nadaje się do dalszego wykorzystania, gdyż jest bardzo skomplikowana, a oprócz tego aby ją stosować trzeba mieć uprzednio wyznaczoną funkcję $w_s = w_c / c$ – czyli to co jest celu trzeba zrobić wcześniej.

1.2.2 Ujście przy pomocy teorii ruchu drogowego.

Aris i Amundson [24] stwierdzili, że do rozwoju sedimentacji można wykorzystać teorię ruchu drogowego. Tropem tym poszli Iordache i Corbu [25]. Ich podstawowe założenie było następujące:

- 1/ ziarna opadające w zawiesinie oddziaływanie między sobą i stedy poruszają się kolektywnie,
- 2/ opadające cząstki oddziaływanie z płynem co powoduje ruch indywidualny,
- 3/ oba oddziaływanie zachodzą równocześnie z różnym prawdopodobieństwem,

4/ oddzielające się sobą cząstki uzyskują tą samą prędkość minimalną, z której porusza się wolniej jasne z nich.

Na podstawie powyższych założzeń autorzy uzyskali następujący wzór:

$$\frac{w}{w_c} = 1 - \left(\frac{C_v}{C_{v \max}} \right)^{1/3} \quad /21/$$

gdzie $C_{v \ max}$ to stężenie zawiesiny po niekontynuowanym czasie sedymencacji.

1.2.3 Szary typu Steinoura.

W 1926 roku Robinson zaproponował modyfikację wzoru Stokesa /2/ do postaci $w = \frac{k d^2 / \rho_s - \rho_w}{\eta}$, k - stała empiryczna /22/ gdzie zamiast parametrów cieczy należy wziąć parametry zawiesiny, a otrzymana prędkość będzie wartością obserwowaną względem dna naczynia.

Jednak do powyższego wzoru za parametry fizykochemiczne zawiesiny wziąć parametry cieczy szaryj to otrzymany wzór /1.3 tabl. I/ będzie miał spójny opisanie w zakresie przejściowym.

Steinour [3,13] w oparciu o pełne rozważania teoretyczne oraz doświadczenie nad sedymencją tapiski w oleju uzyskał następujący wzór:

$$w = \frac{d^2 / \rho_s - \rho_w}{18 \eta_c} \cdot \varepsilon^2 \cdot 10^{-1,82/1-\varepsilon} \quad /23/$$

gdzie: $\varepsilon \stackrel{\text{def}}{=} \frac{V_a}{V_a + V_c} = 1 - C_v$ /24/

jest empiryczna funkcja: $\varepsilon / \varepsilon' = 10^{-1,82/1-\varepsilon}$ /25/ ujmuje wpływ stężenia zawiesiny na lepkosć cieczy.

W pracy [2] przeprowadzono szersze badanie oceny metod określania prędkości sedimentacji zawiesin monodispersyjnych. Według niej wzór /23/ jest wśród innych formuł najbardziej zgodny z doświadczeniem.

bardzo interesującą wodyfikację powyższego wzoru dla zawiesin monodispersyjnych o ziarnach małych wymiarów, dla dowolnego kształtu, przedstawiającą w pracy [26]

$$w = w_0 \frac{(\varepsilon - b)^2}{1 - b} \cdot 10^{-\frac{1.82/1-\varepsilon}{1-b}} \quad /27/$$

gdzie w_0 jest prędkością opadania swobodnego wyliczoną ze wzoru Stokesa, b - zależy od kształtu i wielkości ziaren i jest równe

$$b = \frac{\text{objętość cieczy porowanej}}{\text{objętość cieczy i osiątki}} \quad /28/$$

Dla cementu $b = 0,84 - 0,34$, a dla proszku szarygowego /karborundu/ wartości b przedstawia tabl. 3.

tabl. 3. Wartości współczynnika b dla ziaren karborundu

d [μm]	4,6	9,6	12,2
b	0,350	0,288	0,266

W pracy [26] podano, że dla kuli $b = 0$. Jest to sprzeczne z obserwacjami [4-8, 27-29]. W tym przypadku b powinno wynosić ok. 0,333.

1.2.4 Matematyczne ujęcie Scotta [50].

Dla przepływu płynu przez złożone porowate złożone z kulek jednakoowej średnicy d , prędkość płynu daną jest przez sprawdzone empirycznie równanie Gurnana

$$w_c = \frac{d^2}{K^0 \eta_c} \cdot \frac{\varepsilon^3}{36/1-\varepsilon/2} \cdot \frac{\Delta p}{L} \quad /29/$$

Scott ze Sonatem podaje, że równanie to jest prawidłowe dla cząstek nikielistycznych, a Coulson [13] twierdzi, że K^0 zmienia się w zależności od kontaku i rozmiaru ziarn między 3,2 a 5,8.

Zastosowanie równania /29/ do zedymentacji jest możliwe po zamianie spadku ciśnienia na jednostkę długości $\frac{\Delta p}{L}$ na ciągła ciśnienie stałe zmniejszony o niską wypru w odniesieniu do jednostki wysokości zawiesziny, które to wielkości są sobie równoważne. Stąd

$$\frac{\Delta p}{L} = 1/\varepsilon / (\rho_s - \rho_c) g \quad /30/$$

Wstawiając równanie /30/ do równania /29/ oraz przyjmując $w_c = w$ / ruch cząstek w nienarodzonym płynie/

$$w = \frac{d^2 / (\rho_s - \rho_c) /}{36 K^0 \eta_c} \cdot \frac{\varepsilon^3}{1-\varepsilon} \quad /31/$$

Zgodnie z obserwacjami [4-8, 27-29] pewna ilość cieczy przylega do opadających cząstek i jest ona proporcjonalna do ich objętości.

Wobec tego Scott cytując Gaudida

$$\varepsilon = 1 - C_v \cdot s \quad /32/$$

$$s = \frac{C_{vc} + C_v}{C_v} \quad /33/$$

Jeseli ρ_{floc} jest gęstością opadającej jednostki skłonnej z ziarnem i przyłożoną cieczą to

$$w = \frac{d^2 / \rho_{floc} - \rho_a / g}{36 K^0 \eta_a} \frac{(1 - C_v z)^3}{z C_v} \quad /34/$$

z bilansu maseowego mamy

$$\rho_{floc} - \rho_a = \frac{\rho_a - \rho_c}{z} \quad /35/$$

Wstawiając wzór /35/ do równania /34/ otrzymamy

$$w = \frac{d^2 / \rho_a - \rho_a / g}{36 K^0 \eta_a z^2} \frac{(1 - z C_v)^3}{C_v} \quad /36/$$

Dla konkretnej zawiesiny w stałej temperaturze pierwsze wyrażenie we wzorze /36/ może być zastąpione stałą K.

$$w = K \frac{(1 - z C_v)^3}{C_v} \quad /37/$$

gdzie w jest prędkością sedimentacji względem dla naszynia.

Gaudin poinosił, że dla eflokułowego kaolitu ruch cieczy, wypychanej przez opadającą cząstki a razem agregaty cząstek wraz z zaokludzoną cieczą, podlega dwom różnym mechanizmów w zależności od stężenia C_v . Dla zawiesin rozcieńczonych $C_v \sim 0,07 - 0,1$ zachodzi głównie przepływ cieczy między konglomeratami cząstek. Natomiast dla stężeń wyższych ciecz porusza się tylko wewnątrz porowatych agregatów. Gaudin opisał poszybszy dwustopniowy model następujący:

$$w = \frac{E/1 - zC_v^2}{v} + m/1 - zC_v^2$$

138/

Wobec tego Scott zaproponował następujące równanie :

$$w = \frac{E/1 - zC_v^2/3}{C_v} + \frac{m/1 - zC_v^2/3}{C_v}$$

139/

1.2.5 Zestawienie wzorów na prędkość sedimentacji i ich

śprawdzenie doświadczalne dla siedlisk polidispersyjnych.

W tabl. 4 przedstawiono najczęściej spotykane wzory na prędkość opadania skropowego w zakresie $Re < 0,2$. Część z nich omówiona w poprzednim rozdziale, pozostałe zajęto w bogatą w tej dziedzinie literaturą.

tabl. 4 Wzory na prędkość sedimentacji skropowej.

Lp	Wzór	Autor i źródło
4.1	$w = w_0/1 - \alpha C_v /$ $\alpha = 2,5$ dla kul	Mintstein [1]
4.2	$w = w_0/1 - 2,6 C_v^{0,5} /$	Mintstein [12]
4.3	$w = w_0 \varepsilon^{2,10^{-1,82/1-\varepsilon}} / w_0 \varepsilon^2 \exp[-4,19 \cdot \sqrt{1-\varepsilon}]$	Steinour [13, 31]
4.4	$w = w_0 \frac{(\varepsilon - b)^2}{1 - b} \cdot 10^{-\frac{1,82/1-\varepsilon}{1-b}}$	Steinour [26]
4.5	$w = \frac{\kappa d^2 / \rho_s - \rho_c / g}{\eta}$	Robinson [13]
4.6	$w = \frac{\varepsilon d^2 / \rho_s - \rho_c / g}{\eta}$	Hawley [13]

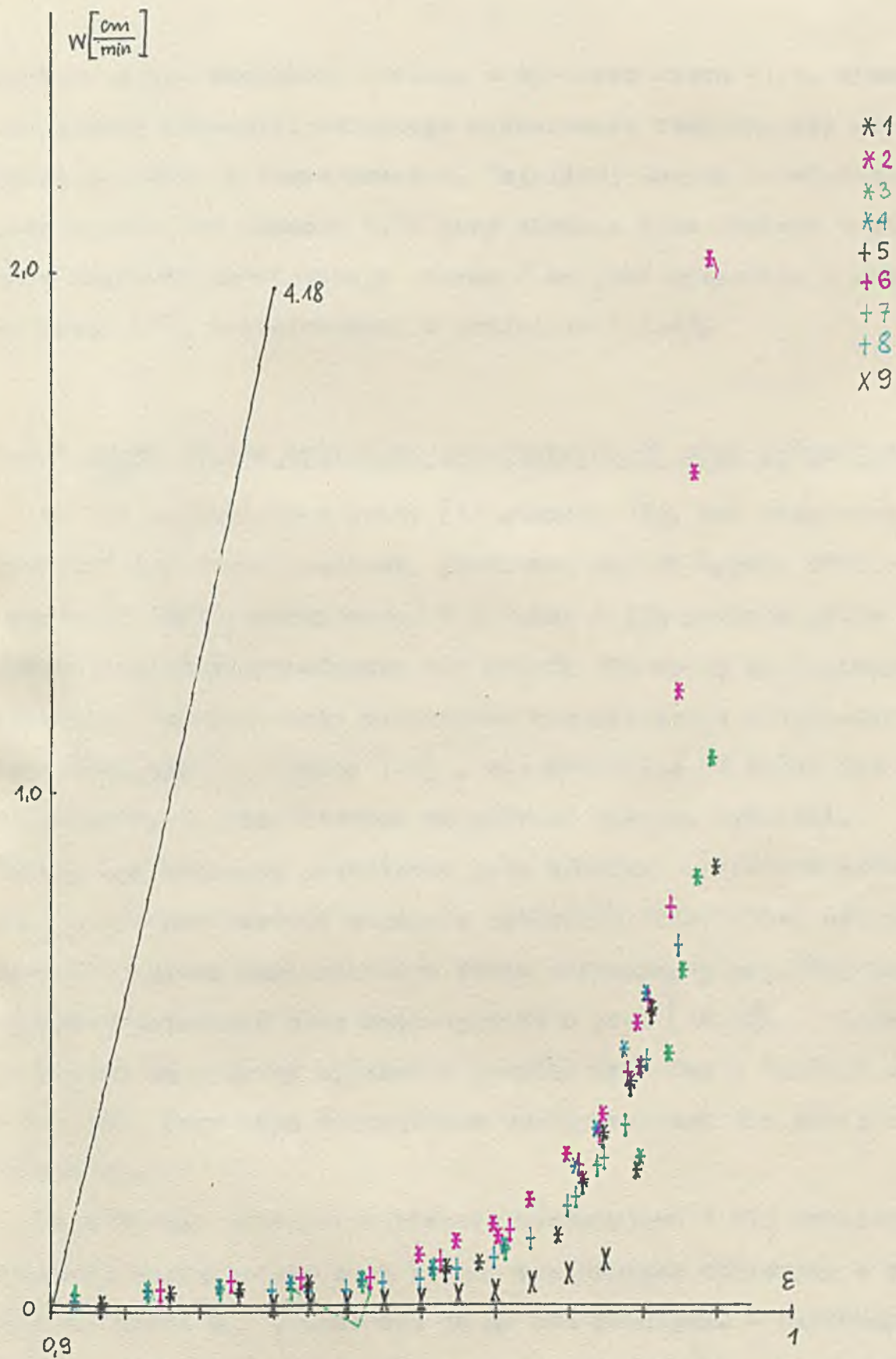
Lp	Wzór	Autor i źródło
4.7	$w = K \frac{(1-zC_v)^2}{C_v} + k \frac{(1-zC_v)^3}{C_v}$	Scott [30]
4.8	$w = K/(1-zC_v)^2 + n/(1-zC_v)^2$	Gaudin [30]
4.9	$w = w_0 / (1-zC_v)^n , n = 4,65 + 19,5 \frac{d}{D}$	Richardson i Zeki [18]
4.10	$w = w_0 \varepsilon^2 \exp \left(\frac{-2,5 C_v}{1 - \frac{39}{64} C_v} \right) \text{ dla lui}$	Vand [32]
4.11	$w = w_0 / (1 - zC_v) / (1 - 0,75 C_v^{1/3}) /$	Oliver [32]
4.12	$w = w_0 \cdot 1 + 0,75 C_v \cdot / (1 - \sqrt{\frac{B}{C_v}} - 3 /$	Brinkmann [32]
4.13	$w = w_0 \frac{(1-zC_v)^2}{2K^0 C_v} \quad K^0 = 5$	Carmann - Kozensky [30, 32]
4.14	$w = w_0 \frac{3+4,5C_v^{1/3} + 4,5C_v^{5/3} - 3 \cdot C_v^2}{3 + 2 \cdot C_v^{5/3}}$	Heppel [32]
4.15	$w = w_0 / s_0 + s_1 C_v + s_2 C_v^2 + s_3 C_v^3 + s_4 C_v^4 /$	Shannon [32]
4.16	$w = w_0 \frac{1 - C_v}{\sqrt{1 + 111 \frac{C_v^2}{1 - C_v}}}$	Schoell [20]

Lp	wzór	Autor i źródło
4.17	$w = w_0 \frac{1 - \frac{C}{V}}{1 + \frac{1.2}{V}}$ $0.5 + \frac{1.2}{V} - 0.5$ $\frac{1.2}{V}$	Brauer [5]
4.18	$w = w_0 \frac{1 - \frac{C}{V}}{C_{\max} V}^{1/3}$	Iordsche [25]

gdzie w_0 = prędkość obliczona za wzoru Stokesa /8/

Przedstawione powyżej wzory postanowiono sprawdzić doświadczalnie dla zawiesin polidispergacyjnych, których wybrane właściwości przedstawione w załączniku I. W związku z tym, że w większości wzorów występuje prędkość w_0 , trzeba było określić wymiar i kształt cząstek. Ponieważ w wielu pracach np. w [25], proponuje się za wielkość obliczeniową przyjąć minimalny wymiar cząstek, postanowiono wykorzystać powyższą propozycję w obliczeniach. Z drugiej strony przyjęto za wymiar obliczeniowy rozmiar największego ziarna.

W pracy [3] Tarczynski stwierdził, że nie kula lecz eszalon jest bliższy rzeczywistym. Wobec tego, zauważono, że opadające cząstki są eszalonami. Obserwacje mikroskopowe potwierdziły skuteczność tego założenia. Wyniki dla bardziej charakterystycznych przypadków przedstawione na Rys. 8. Okazuje się, że dla wymiaru minimalnego szacowanego jako rozmiar obliczeniowy, uzyskano wykresy praktycznie skonczonego na osi odciętych. Natomiast wartości prędkości obliczeniowej dla największego ziarna znacznie przewyższają wartości nie doświadczalne. Wzory 4.7 i 4.8, w których występuje zmiana w_0 ,



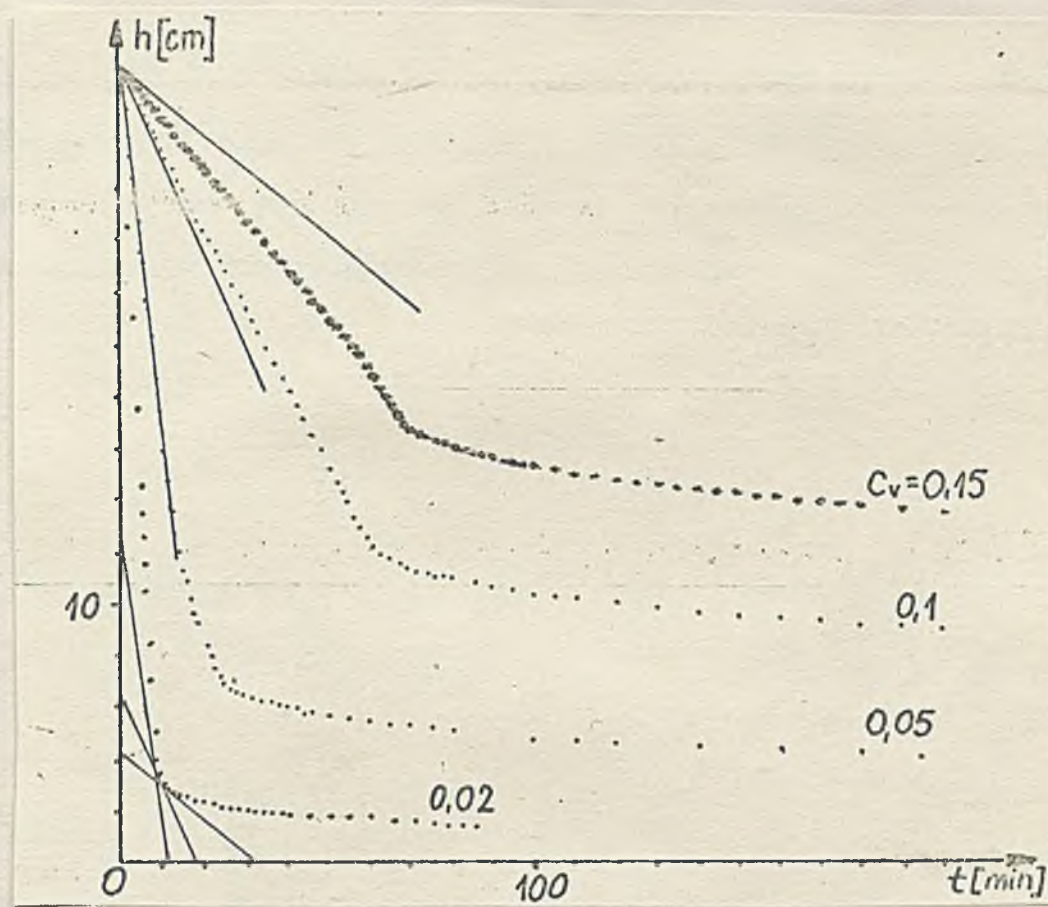
Rys. 8 Weryfikacja równań na prędkość opadania skrepowanego /numery jąk w załączniku I /

otrzymane dla zawiesiny kaolenu w wymiarze ziarn $4 \mu m$, wymagałyby dla każdej suspenzji odrobnego wyznaczenia stałych, aby uzyskać dobrą zgodność z eksperymentem. Najbliżej danych doświadczalnych leży wykres dla formuły 4.18 przy okraniu jako wymiaru obliczeniowego rozmiaru największego ziarna / co jest sprzeciwne z założeniami pracy [25] ujętymi w rozdziale 1.2.2/.

1.2.6 Uwagi własne dotyczące przedstawionych ujęć matematycznych.

1/ Jak wspomniano w pracy [1] stosuje się, bez wstępnych rozważań nad ograniczeniami, graficzną metodę Kynche również do suspenzji polidispersacyjnych. W związku z tym podjęto próbę doświadczalnego sprawdzenia tej metody dla wyżej wymienionych zawiesin. Doświadczenie prowadzone korzystając z urządzenie opisanego szczegółowo w pracy [34], rozpoczęwając od badań dla stężeń najmniejszych, przy których ustanowiono granicę metacząci. Maksymalne stężenie początkowe było również określone doświadczalnie, minoło ono wartość stężenia ostatniej jednorodnej zawiesiny ustanowionej przez wymieszanie w rurze sedymentacyjnej. Uzyskane wyniki doświadczalne oraz załącznięte z prac [16,35] - dane nanoszone na wykresy wysokości granicy metacząci w funkcji czasu $h = h / t$, przy czym sporządzono osobny rysunek dla każdej typu zawiesiny.

Sprawdzenie metody przebiegało następująco : dla ustalonego stężenia początkowego rura stężeń pomiarowych obliczono z równaniem /20/ wartości h_T , nanosząc je na osi rzędnych. Z uzyskanych punktów poprowadzono styczne do krywej sedymentacji dla ustalonego poprzednio stężenia początkowego. Tak narysowane styczne przenoszono równolegle do h i porównywano z wykresami pomiarowymi. Przykładowe wyniki dla zawiesiny kredy przedstawiono na Rys. 9



Rys. 9 Porównanie wyników doświadczalnych z uzyskonymi metodą wynale.

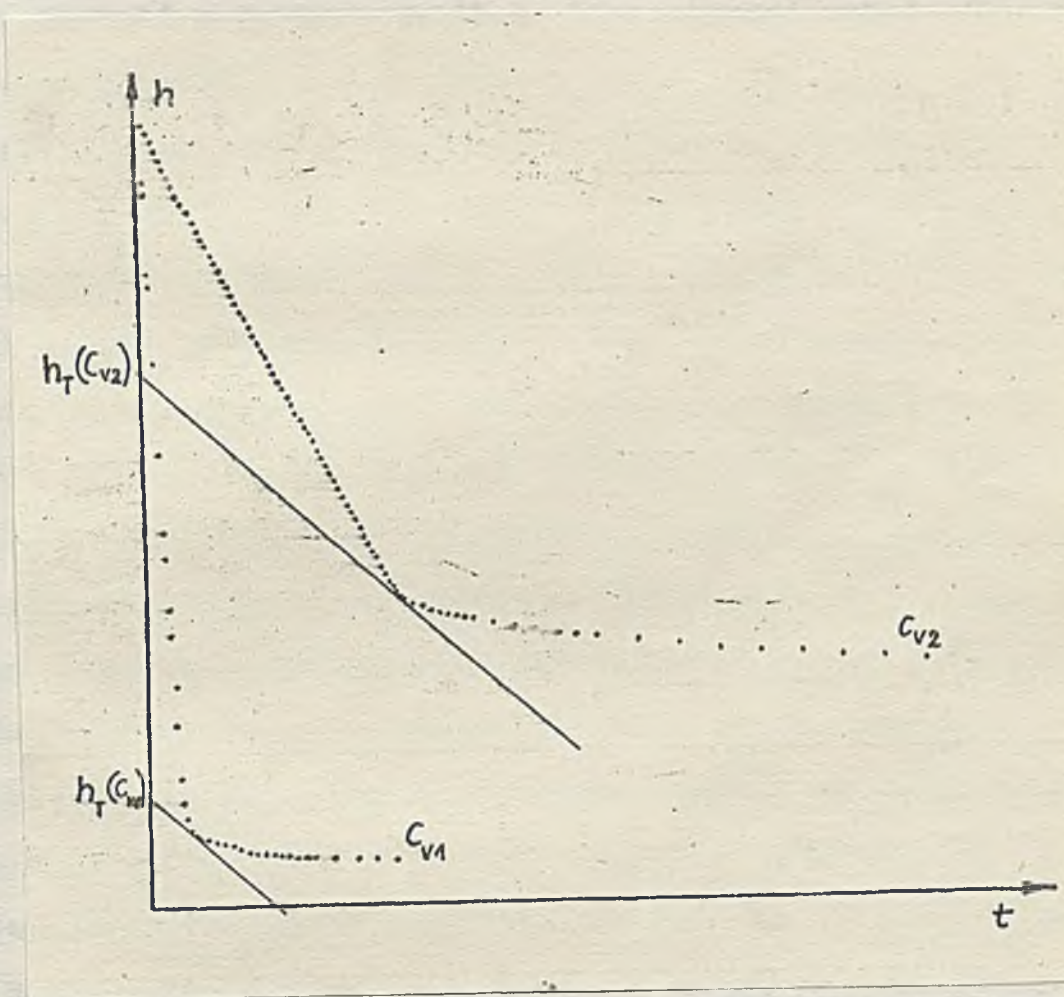
Można stwierdzić, że dla przebadanych zawiesin uzyskano dobrą zgodność poniższej metody z eksperymentem dla stężeń mniejszych od stężenia krytycznego. Z badań prowadzonych w EKD [39] nad sedymencją niskich ciśnieniowych wynika podobny wniosek.

Dane z których korzystano przy powyższym sprawdzeniu metody Kyncha zamieszczono w załączniku II. Uzyskane wyniki referowane częściowo w precach [40 - 42].

Jak wspomniano w rozdz. 1.2.1 metody powyższej nie moźna stosować do zawiesin monodispersyjnych flokulujących, tworzących bardzo lekkie osady. Uwaga powyższa obowiązuje również suspenzja polidispersyjne, o czym świadczą wyniki uzyskane w pracy [43].

Pobec powyższego proponuje się, przed wykorzystaniem metody Kyncha do interesujących nas zawiesin dla szerszego zakresu stężeń przeprowadzenie jednej próby określowej i analizę krajowej

sedymentacji pod kątem flokulacji. Wystąpienie tego zjawiska wyklucza stosowanie omawianej metody. Jeżeli flokulacja nie zachodzi należy przeprowadzić następną próbę dla stężenia większego i wykonanie sprawdzenie graficzne /rys. 10/



Rys. 10 Sprawdzenie metody Aynche dla szerszego zakresu stężeń.

Operację tę wygodnie wykonać przedstawiając krajobraz sedimentacji dla stężeń początkowych C_{v1} i C_{v2} na wspólnym wykresie wysokości w funkcji czasu $t = h/t_1$.

Następnie należy obrąć koncentracje C_{v3} względem od C_{v1} i C_{v2} i dla nich obliczyć z równania (20) wartości h_1 dla C_{v1} i C_{v2} zaznaczając je na osi rzędnych. Z tek otrzymanych punktów poprowadzić styczne do krzywych pomiarowych, po czym przesunąć linie dla C_{v1} , równolegle do punktu wyszczoszonego przez h_1/C_{v2} . Pokrycie się półkrestów oznacza, że zawiesina podlega teorii Fynche w zakresie stężeń C_{v1} do C_{v3} . Znajekształc wartość C_{v3} można w ten sposób stwierdzić w jakim przedziale koncentracji metoda ta może znaleźć zastosowanie.

2/ Ujęcie teorii ruchu drogowego jest bardzo interesującą próbą zastosowania teorii zjawisk stochastycznych do sedimentacji. Sprawdzenie doświadczalne tego podejścia przeprowadzone w rozdz. 1.2.5 potwierdziło jego przydatność. Należy jednak odnieść się krytycznie do podstawowego założenia, ustanowionego przez autorów reguły oddziaływań między ziarnami. Mogą to mówić, że oddzielające się zbiory cząstki uzyskują tu samą prędkość minimalną, z którą poruszają się kolejno w nich. Należy stwierdzić, że jest to sprzeczne z obserwacjami opadania tlu zawiesin bardzo rozszerzonych [27-29] oraz badaniami właściwymi /petra rodu, następny/, nad zawiesinami polidispersyjnymi, gdzie granica częstości opadania znacznie wyższej niż wynosi prędkość opadania swobodnego najbliższego /czyli najwolniejszego/ ziarna, co świadczy o tym, że oddzielające się cząstki uzyskują prędkość różnicową od minimalnej.

Autorzy cytowanych powyżej prac stwierdzają, że dla pewnych substancji w zawiesinach o udziałzie objętościowym ciasie stałego $C_v \approx 0,001$ prędkość opadania zwiększa się w stosunku do prędkości opadania swobodnego. Odechyka ta jest najsielniejsza dla stężenia

$C_v \approx 0,01$ a następnie maleje. Johns w artykule [27] przedewszystkim wyjaśnia to zjawisko przylgnięciem pownej ilości cieczy na opadającej części /wzrost rozmiaru i masy ziern/ . Jednak proste przeliczenie przy założeniu, że objętość cieczy przyczepionej równe jest połowie objętości cząstki [4 - 8] daje zmniejszenie prędkości. Darford w pracy [28] wyjaśnia powyższy problem postulując konieczność istnienia sił kohesji do tworzenia się aglomeratów np. dwieczystekowych /opadających szybciej niż pojedyncza cząsteczka/.

3/ Weryfikacja doświadczalna wzorców na prędkość opadania skrópowanego przeprowadzona dla zawiesin polidispersacyjnych /roadz. 1.2.5/ narzuca bardzo istotny wniosek : do opisu powyższych zawiesin, żaden z zestawionych w tabl. 4 wzorców nie nadaje się, gdy jako wymiaru obliczeniowego użycie rozmiaru najmniejszego lub największego ziern.

3.3 Ujęcie własna prędkości opadania skrópowanej zalesiny polidispersacyjnej.

Poniżej przedstawione kolejne fazy rozwoju modelu własneego, aż do końcowego wyniku tzn. równaniom opisującym prędkość jedyneczeń skrópszonej zalesiny polidispersacyjnej.

Analizując równanie /8/ opisujące opadanie pojedynczej cząstki kulistej dla $Re < 0,2$, można stwierdzić, że występuje w nim czynnik d. Jest to po prostu średnica opadającej kuli. Jeśli opada zawiesina polidispersacyjna to nie wiadomo, którą ze średnicą podstawić w miejscu d. Można to określić, analizując równanie /8/.

w celnych rozważeniu, w których starało się wprowadzić
nieświadomą zmianę średnicy d powiekszyć średni, przyjęto następujące
zakłady:

- 1/ Upadają cząstki niesciśliwe i nieporowate,
- 2/ średnica cząstek $d \in \langle d_0, d_{\max} \rangle$,
- 3/ ziarna poruszają się ruchem jednostajnym w zakresie $Re \approx 0,2$,
czyli siła oporu ośrodka S_o równoważy wypadkową siłę ciężkości
i wyporu $S_c = S_w$. Ponieważ w równaniu /1/ i /2/ występuje
objętość cząstki, a w równaniu /3/ pole przekroju poprzecznego
ziarna, i w liczbie Re średnica cząstki, postanowiono w miej-
scie tych wielkości wprowadzić do cytowanych równań wartości
średnie otrzymane z funkcji rozkładu ziemnego ciśnienia stałego.

$$\lambda = \frac{\frac{w_0}{2}}{S_o} \bar{f} = \bar{V} / S_o \sim S_c / \eta$$

$$\lambda = \frac{24}{Re} \quad Re = \frac{w_0 \bar{d} S_c}{\eta} \quad /40/$$

W związku z tym, że rzeczywiste funkcje rozkładu uzyskuje się na
podstawie wartości dyskretnych wprowadzono następujące uproszcze-
nia:

$$\bar{V} = \sum_{i=1}^k p_i V_i \quad /41/$$

$$\bar{f} = \sum_{i=1}^k p_i f_i \quad /42/$$

$$\bar{d} = \sum_{i=1}^k p_i d_i \quad /43/$$

$$\text{gdzie: } p_i = \frac{\frac{n_i}{\rho_s + v_i}}{\sum_{i=1}^k \frac{n_i}{\rho_s + v_i}} = \frac{\frac{n_i}{\rho_s + v_i}}{\sum_{i=1}^k \frac{n_i}{\rho_s + v_i}} = \frac{\frac{n_i}{v_i}}{\sum_{i=1}^k \frac{n_i}{v_i}} \quad /44/$$

o n_i , n_i - ilość ziaren i mass i-tej frakcji ziarnowej

oraz

$$v_i = \frac{\pi}{12} / d_{iI}^3 + d_{iII}^3 / \quad /45/$$

$$r_i = \frac{\pi}{8} / d_{iI}^2 + d_{iII}^2 / \quad /46/$$

$$d_i = \frac{1}{2} / d_{iI} + d_{iII} / \quad /47/$$

gdzie d_{iI} i d_{iII} to średnica graniczna i-tej frakcji ziarnowej.

Mogą zdefiniować następujące średnie średnice:

$$d_v = \sqrt[3]{\frac{6 \bar{v}}{\pi}} \quad /48/$$

$$d_f = \sqrt{\frac{4 \bar{r}}{\pi}} \quad /49/$$

$$d_d = \bar{d} \quad /50/$$

Wtedy wprowadzając wartości średnie z równań /41-43/ i /48-50/ do równań /40/ otrzymamy

$$w_0 = \frac{\bar{v} \bar{d}}{\bar{r}} \cdot \frac{(\rho_s - \rho_c) / \chi}{12 \eta_0} = \frac{d_v^3 d_d}{d_f^2} \cdot \frac{(\rho_s - \rho_c) / \chi}{12 \eta_0} \quad /51/$$

Porównując ostatni człon powyższego równania z rozszerzeniem Stokesa /8/ można napisać:

$$d_E = \sqrt{\frac{d_v^3 d_d}{\frac{d_f^2}{2}}}$$

/52/

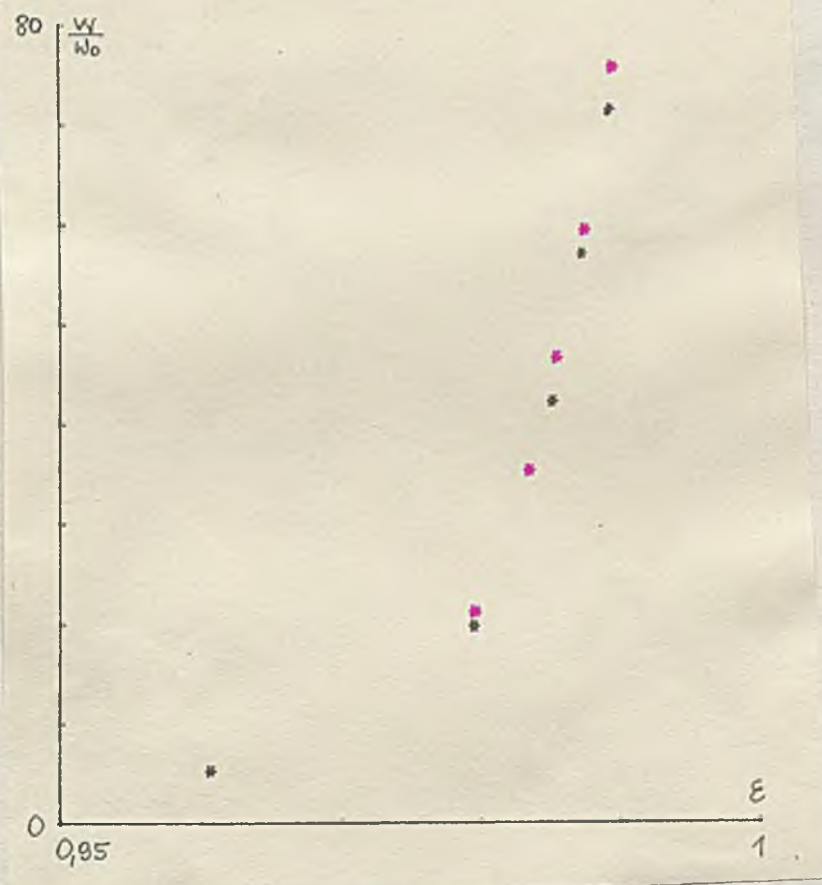
Tak oznaczona da pełni rolę średnicy ekwiwalentnej dla danego rozdrobnionego cieka stałego w oparciu o prawo grawitacyjne.

Przeprowadzone powyżej rozumowanie sprawdzono, rysując wykres

$$\frac{w}{w_0} = f(\varepsilon) \text{ dla danych doświadczalnych dotyczących zawiesin}$$

kredy i silelitu w wodzie [44].

Wykres ten przedstawiono narys. 11.



Rys. 11 Sprawdzenie doświadczalne równania /51/

Otrzymany wykres śledzi /dla dwóch różnych materiałów/ wskazuje na porównanie przedstawionej koncepcji, na jednak zasadnicze brakamenty :

- 1/ wartość w/w_0 sięga 80 przy ξ dającym do 1, /przy dużej ilości pomiarów mogły budzić podejrzenie, że jest za wysokie/,
- 2/ mały zakres stężeń i tylko dwa różne ciała stałe nie pozwalały na ogólnenie.

W związku z tym podjęto próby uściślenia powyższego modelu opadania zwiesiny polidispersywnej /zwiększać przedział stężeń i ilość substancji/, którego wyniki przedstawiono w pracy [41].

Dodatkowo przyjęto następujące założenia :

kształt ziaren coina spiszę następujące :

$$V = \Psi_v l^3, P = \Psi_p l^2, f = \Psi_f l^2$$

Parametry rozkładu ziarnowego \bar{V}, \bar{l} , i \bar{l} wyznaczone z równań /41-43/ a tym, że w miejscu "d" w równaniach /43, 45-47/ należy wstawić "1" np. l_{III}, l_{III} - wymiar i-tej klasy ziarnowej.

Wtedy w miejsce równania /51/ pstryżamy

$$w_0 = \frac{\bar{V}}{\bar{l}^2} \frac{/\varrho_s - \varrho_c/\bar{\chi}}{12 \eta_c} = \frac{\Psi_v}{\Psi_p} \frac{l_e^2}{l_f^2} \frac{/\varrho_s - \varrho_c/\bar{\chi}}{12 \eta_c}$$

/53/

a przez analogię do równania /52/ można zapisać :

$$l_e = \sqrt{\frac{\Psi_v}{\Psi_f} \frac{\bar{V}}{\bar{l}}} = \sqrt{\frac{l_v^3}{l_f^2}} \quad /54/$$

Biorąc pod uwagę, że dla kuli obowiązuje $\Psi_v = \frac{\pi}{6}$ oraz $\Psi_f = \frac{\pi}{4}$ uzyskamy ze wzoru /53/

$$w_0 = 1_e^2 \frac{18 - \frac{\rho_a - \rho_c}{\eta_c}}{18 \eta_c} /55/$$

formułę analogiczną do wzoru Stockera /6/.

Tak poprawione rozumowanie sprawdzono dla danych doświadczalnych, uzytych w rozdziale 1.2.5 dotyczących zawiesin krady, diksilitu i kaolitu w wodzie i glicerynie. Wyniki przedstawiono na Rys. 12-15, uzupełniając na nich wykresy śledzące $\frac{\psi}{w_0}$ w funkcji porowatości ε .

Rys. 12 wykonano wstawiając w miejsce w_0 wartości obliczone ze równania /51/ (opadają cząstki kuliste).

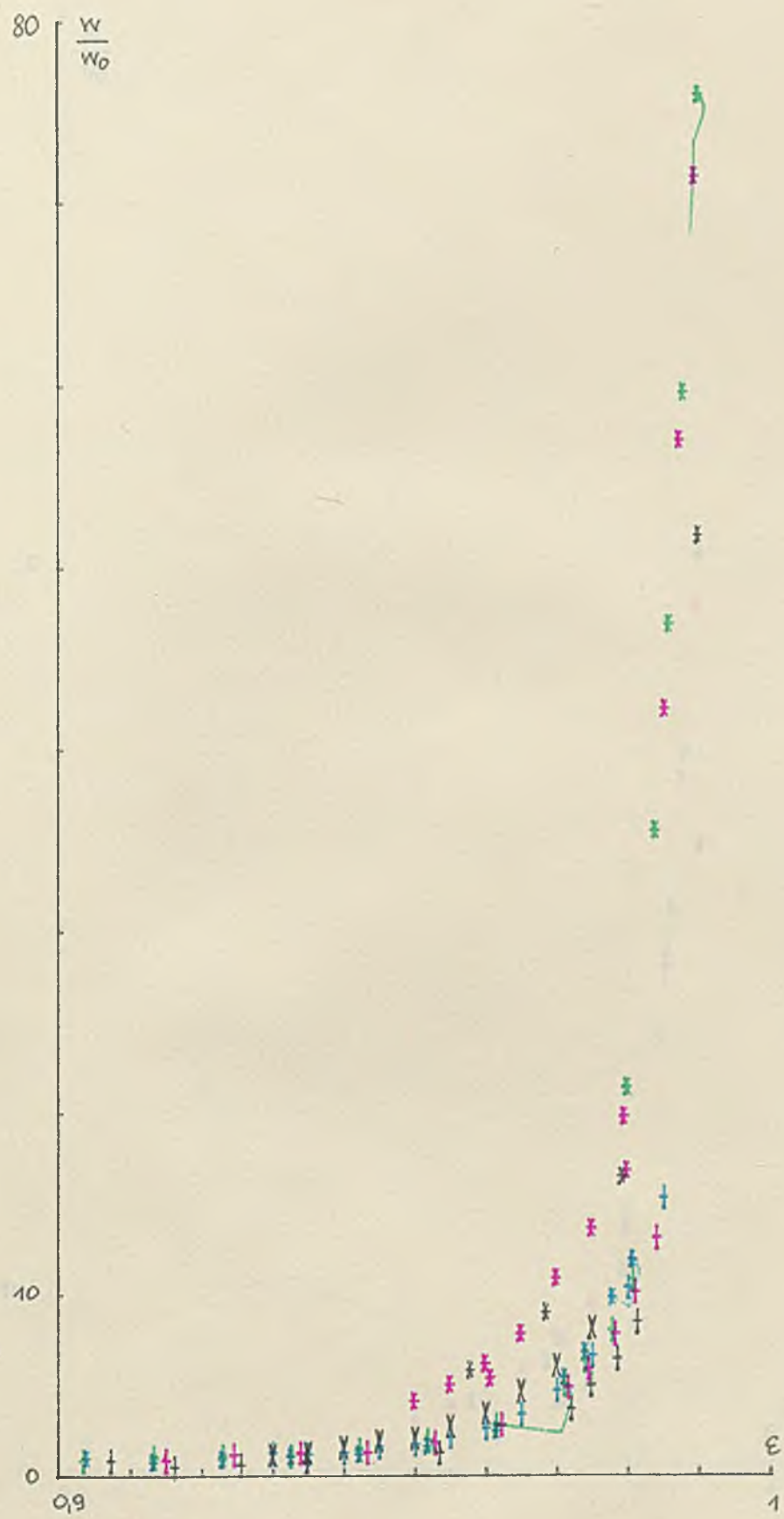
Rys. 13 otrzymano wyliczając w_0 ze wzoru /53/ przy założeniu $\Psi_v = \Psi_f = 1$ (opadają ziarna szesciennego). Za takim wyborem przewiniejsią wpisiski z pracy Fenslakowskiej [33], który stwierdził, że najlepszym przybliżeniem były rzeczywistych jest szescian.

Rys. 14 wykonano korzystając ze wzorów zamieszczonych w pracach [9, 10] dla założenia, że opadają cząstki szescienne ($\Psi_v = \Psi_f = 1$). Poniżej podano wykorzystane wzory:

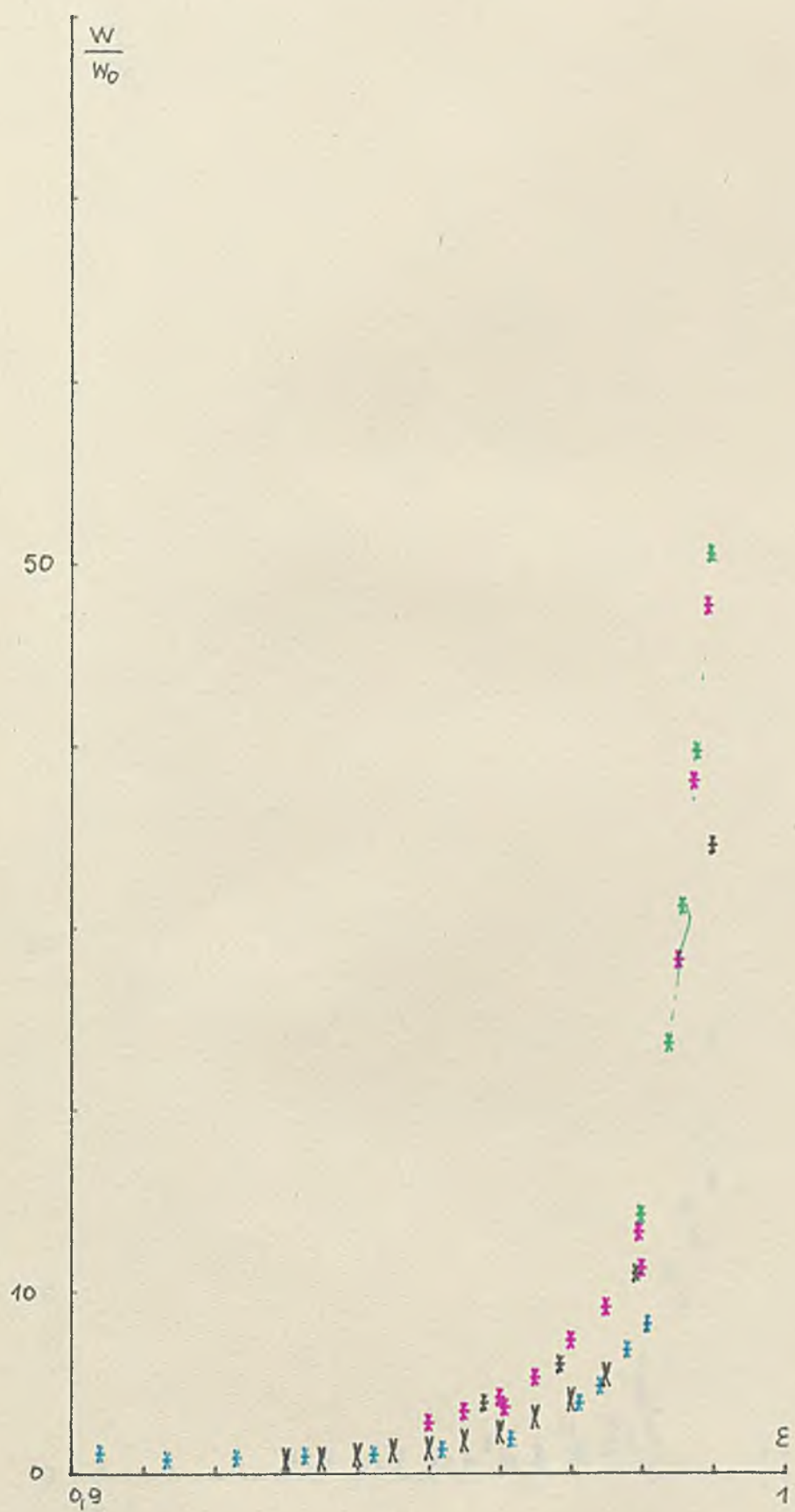
$$Re = \frac{w_0 d_e \rho_c}{\eta_c}, \quad d_e = \sqrt[3]{\frac{6V}{\pi}}, \quad \lambda = \frac{a}{Re}, \quad e = \frac{24}{0,843 \cdot 18 \cdot \frac{\psi}{0,055}}$$

$$\psi = \frac{\Psi_F}{\bar{F}} \left(\frac{\bar{V}}{\Psi_V} \right)^{2/3}$$

gdzie \bar{F} - średnie pole powierzchni całkowitej ziern. Przyjęto, aby umieszczone w poszczególnych wzorach średnie \bar{V} wyznaczyć z równania /41/ natomiast \bar{F} analogicznie do /42/ z uwzględnieniem, że we wzorach /45-47/ w miejscu "d" wchodzi "1". Wtedy otrzymano



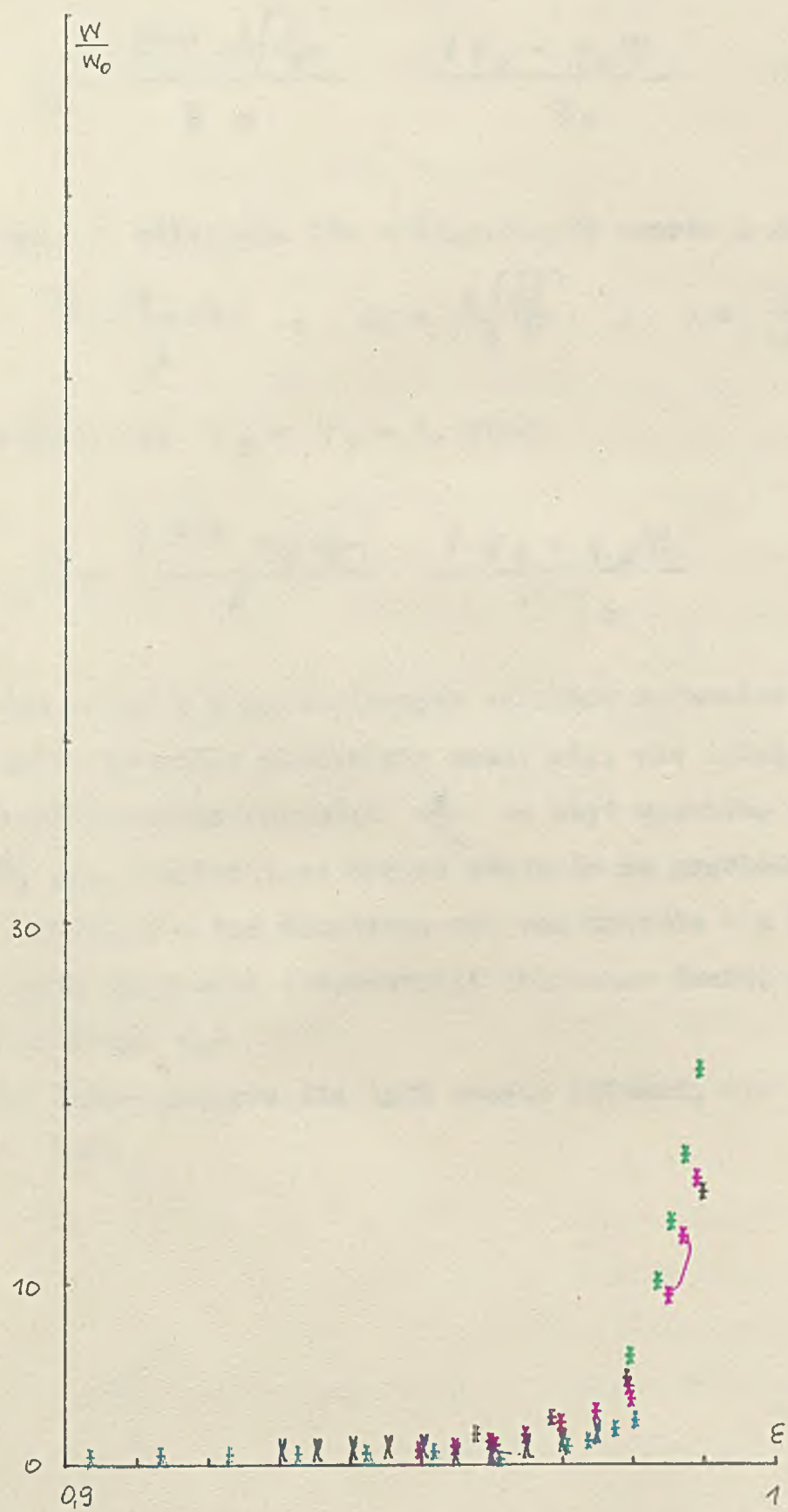
Rys. 12 Weryfikacja równania /51/ /oznaczenia jak na Rys.8/



Rys. 13. Weryfikacja równania (52) w oparciu o dane doświadczalne.



Rys. 14 Sprawdzenie równania /56/



Rys. 15 Sprawdzenie równania /57/

$$w_0 = \frac{\bar{V}^{4/3} \sqrt[3]{\frac{6}{\pi}}}{\bar{f} \cdot a} \frac{(\rho_s - \rho_a) / \zeta}{\eta_c} \quad /56/$$

Rys. 15 otrzymano dla następujących wzorów z podręcznika [45]

$$Re = \frac{w_0 d_e c}{\eta_c}, \quad d_e = \sqrt[3]{\frac{6V}{\pi}}, \quad \lambda = \frac{24}{Re} \quad \text{orek przy}$$

złożeniu, że $\Psi_v = \Psi_p = 1$, stedy

$$w_0 = \frac{\bar{V}^{4/3} \sqrt[3]{\frac{6}{\pi}}}{\bar{f}} \frac{(\rho_s - \rho_a) / \zeta}{12 \eta_c} \quad /57/$$

Jak widać z przedstawionych wykresów modernizacja powyższe zmieniła znacznie poprzednie rezultaty, ale istnieje podejrzenie, że mimo wszystko wartość $\frac{w_0}{\bar{V}^{4/3}}$ są zbyt wysokie, gdyż otrzymane wzory nie uwzględniają wpływu stężenia na prędkość opadania.

W związku z tym odwrotnie tok rozumowania: z doświadczalnych wartości prędkości sedymencacji obliczono średni wymiar ekwiwalentny l_e .

Próby tekie podjęto dla tych samych złożień, dla których wykonano Rys. 12-15.

Podstawowe wyliczono z równanie Einsteina - Stokesa - Smoluchowskiego wyniósł Browna :

$$l_B = \left(\frac{216 \cdot k \cdot T \cdot \eta_s}{\pi \cdot \rho_s \cdot \rho_c \cdot g^2} \right)^{0,2} \quad /58/$$

z związku z tym, że udział cząstek o wymiarach mniejszych od l_B był niewielki, oraz że w ruchu swobodnym poruszają się one bez-hamowania / ruchy Browna/ udział ich pominięto, a wyniki analiz siernowych przeliczone otrzymując nowe wartości \bar{V} , \bar{f} i \bar{l} .

Wyniki zamieszczone w tabl. 1-9 w załączniku III otrzymano dla przypadku przedstawionego na Rys. 15, z korekcją na ruchy Browna. W tabelach oprócz obliczonych z równania /56/ wartości l_e , które oznaczono l_{e1} , przedstawione poprawione wartości l_e w oparciu o najczęściej stosowane poprawki :

$$l_{e2} = \frac{l_{e1}}{\sqrt{\varepsilon}} \quad /59/ - uwzględnia wpływ strumienia wypieranego płynu [3,13]$$

$$l_{e3} = \frac{l_{e1}}{\sqrt{\varepsilon \cdot 10^{-1,82/1-\varepsilon/1}}} \quad /60/ - poprawka Steineckera na zmianę lepkości i wpływ strumienia płynu$$

$$l_{e4} = \frac{l_{e1}}{\varepsilon^{4,19}} \quad /61/ - poprawka Richardsoona i Shabiego na zmianę naprzecznika operów przepływu, gdzie l_e jest wartością oraz$$

$$b_j = \frac{l_{e1}-l_e}{l_{e1}} \cdot 100 \% \quad /62/ \quad \text{cią obliczone z analizy ziemnej}$$

Zaskakującym wynikiem jest to, że konkretnej zawiesiny zachodzi zmiana w_0 w zależności od stężeń. Widac z tego, że wpływ stężeń jest o wiele silniejszy niż przewidują powyższe popraski.

Dlatego próby uściślenia opisu zjawiska polegały na poszukiwaniu takiej funkcji stężeń, która w połączeniu z /53/, /56/ czy /57/ najlepiej aproksymuje dane doświadczalne. Na Rys. 16 umieszczone wyniki doświadczeń jako wykresy śladowe $w = w / \varepsilon /$ dla danych w załączniku I. Dla każdej zawiesiny obliczano w_0 z równania /53/ i podstawiano do kolejnych wzorów z tabl. 4. Następnie rysowano wykres tak otrzymanej funkcji $w = w / \varepsilon /$ i porównywano z powyższymi wykresami śladowymi.

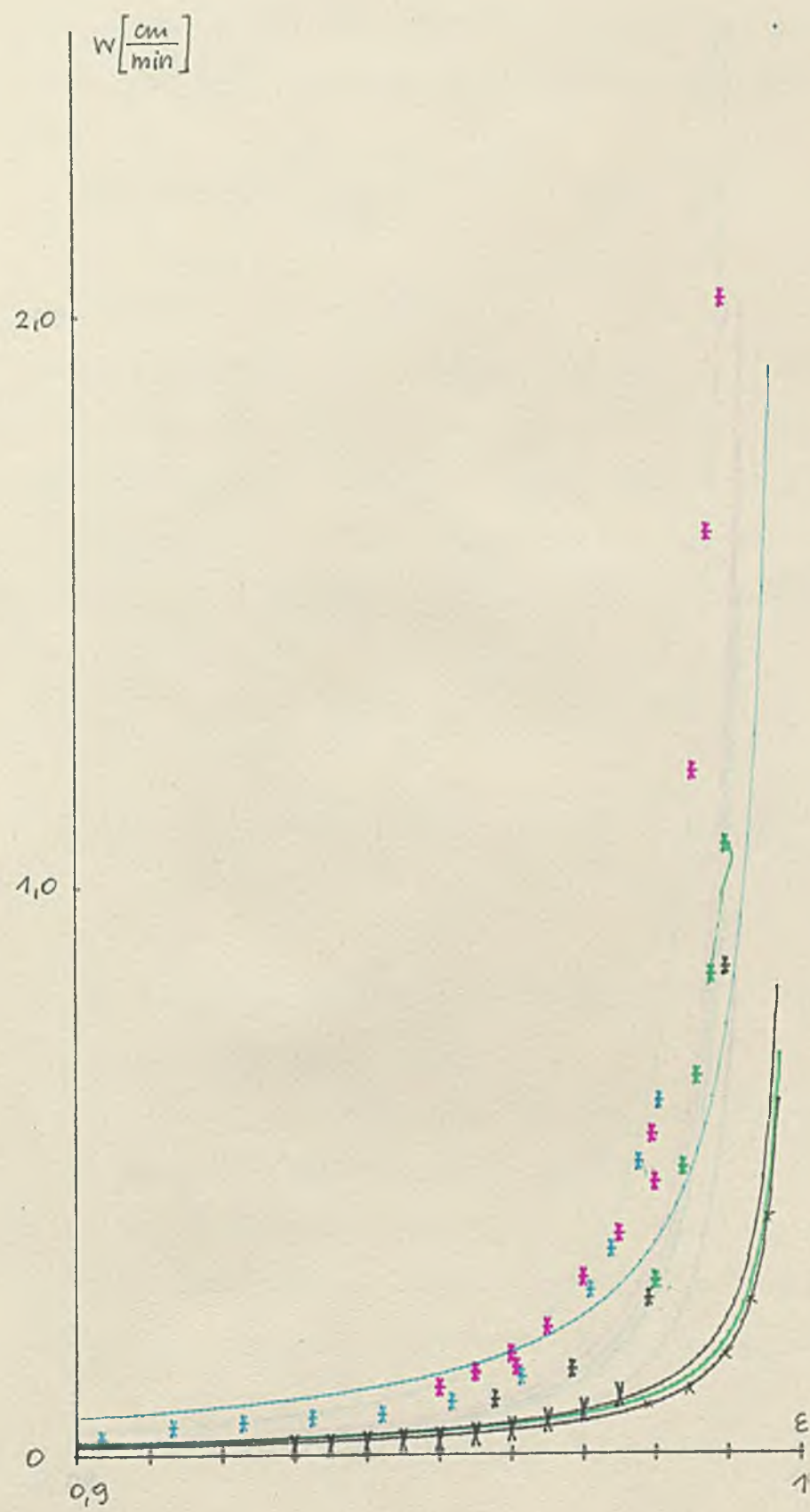
Na podstawie przeprowadzonych prób można stwierdzić, że wszystkie wzory z tabl. 4 dają wyniki zgodne z doświadczeniem dla stężeń większych od 6 % objętościowych. Natomiast dla stężeń mniejszych wyniki zgodne daje tylko wzór Germusa (Rys. 16).

Wspomniany wzór /4.13/ ma następującą postać:

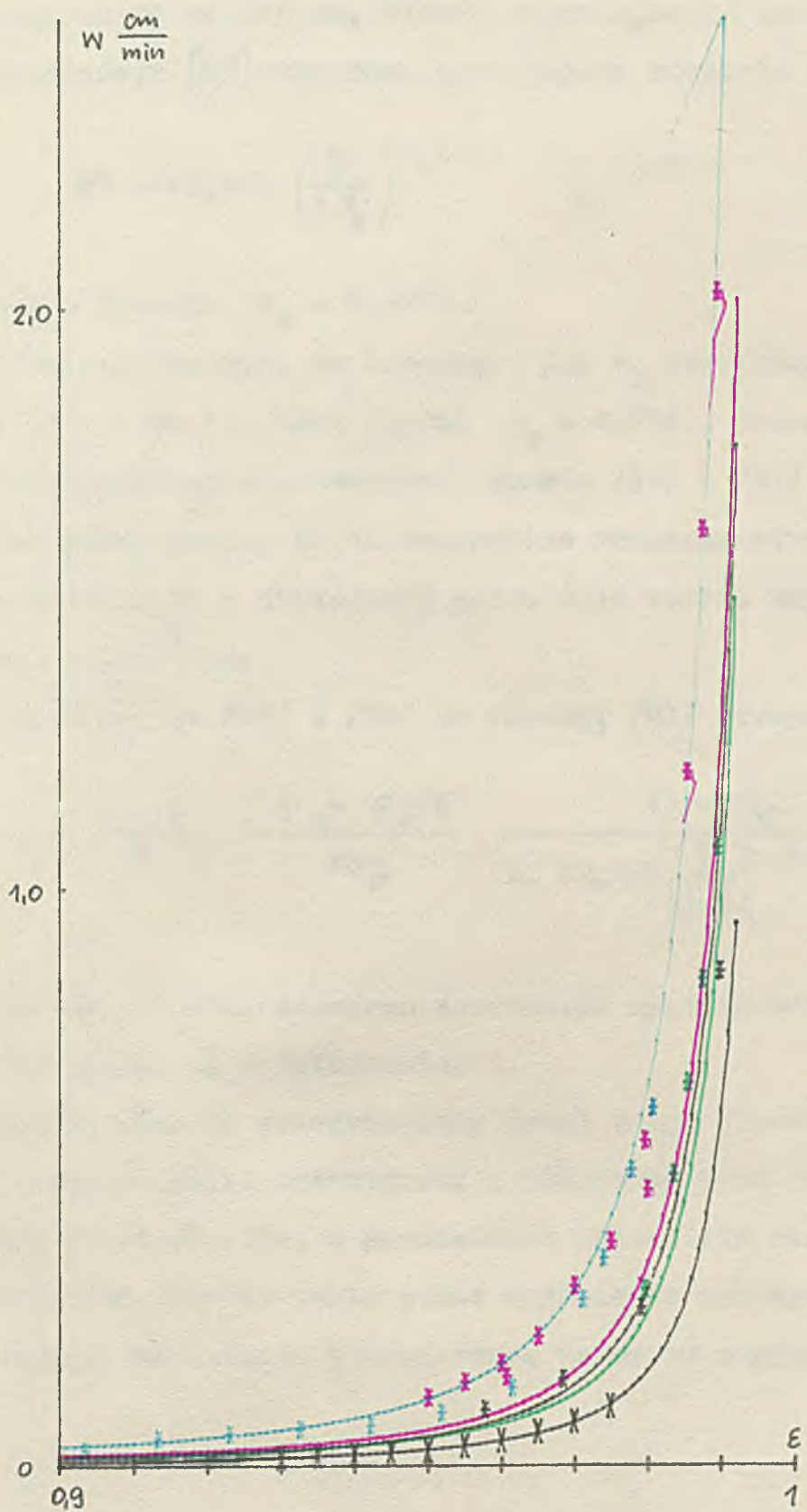
$$w = w_0 \cdot \frac{1 - C_v^3}{2 K^0 C_v} \quad /63/$$

gdzie K^0 tzw. stała Germusa. Z literatury [13, 46-49] wiadomo, że stała ta zależy od kształtu i wielkości ziaren oraz poroistości wypełnienia. W związku z tym z doświadczalnych wartości prędkości oraz właściwości zawiesiny obliczono wartości K^0 gdy w_0 określone jest wzorem /57/ oraz teoretycznie bardziej uzasadnionym równaniem /53/. Wyniki dla obu przypadków zamieszczone w tabl. I-9 w załączniku IV i V. Jak widać wartości K^0 wahają się w drugim przypadku od ok. 0,9 do ok. 13. Dysponując tysiąciami liczbowymi postanowione przeprowadzić próbę korelacji $K^0 = K^0 \left(\frac{V}{f.i}, C_v \right)$,

przyjmując moduł $\frac{V}{f.i}$ jako miarę kształtu ziern raczejystycznych



Rys. 16 Sprawdzenie modelu własne.



Rys. 17 Porównanie wartości obliczonych z równania /65/ z danymi doświadczalnymi.

zbliżonych do szescianu. Metodą najmniejszych kwadratów w ujęciu krzykowienowym [50] otrzymano następujące równanie :

$$K^0 = 29,425 \left(\frac{\bar{v}}{f \cdot l} \right)^{0,6423} \quad C_v^{0,8764} \quad /64/$$

z błędem średnim $s_0 = 0,3514$.

Należy zaznaczyć, że korelacja gds w_0 określona jest wzorem /57/ dla wyniku błąd średni $s_0 = 0,4141$. Zobec tego i z analizy teoretycznego wyprowadzenia wzorów /53/ i /57/ oraz wartości K^0 uznano osiągnięcie, że zaproponowane równanie własne wśród przedstawionych w niniejszej pracy daje wyniki najbardziej zgodne z rzeczywistością.

Podstawiając /64/ i /53/ do formuły /63/ otrzymamy w końcu

$$w = \frac{\bar{v} \cdot \bar{l}}{f} \quad / \frac{s_w - s_0}{12\eta_c} \quad \frac{1 - C_v^3}{2 \cdot 29,425 \left(\frac{\bar{v}}{f \cdot l} \right)^{0,6423} C_v^{1,8764}} \quad /65/$$

/65/

Na Ryc. 17 przedstawiono porównanie wyników otrzymanych ze wzoru /65/ z innymi doświadczalnymi.

Wydaje się, że przedstawiony tutaj opis sedymentacji skropowejnej zawiesin polidispersowych i otrzymany wzór /65/ na prędkość opadania już obecnie, w przebadanym przedziale stężeń mogą służyć do obliczeń oraz stanowić punkt wyjścia do dalszych badań np. dla innych materiałów i w szerszym zakresie stężeń.

1.4 Wpływ średnicy aparatu na prędkość sedimentacji.

Dla określonego stężenia początkowego, zawsze idealnie powinno opadać niezależnie od średnicy aparatu, z tą samą prędkością. Jednak obserwacje różnych autorów często stwierdzają wyraźny wpływ przekroju poprzecznego urządzenia na szybkość sedimentacji.

Vesilind [5] badając zakresy poaktywacyjne z oczyszczalni biologicznych stwierdził wyraźny wpływ stężenia i średnicy naczynia na interesujący nas parametr /rys. 18/.

Na wykresie tym podano zaletność prędkości opadania mierzonej w cylindrze o średnicy $D = 0,915 \text{ m}$ podzielonej przez prędkość w_0 uzyskaną w cylindrze o mniejszym rozmiarze w funkcji średnicy cylindra mniejszego i stężenia. Wykres ten w formie niejawniej pokazuje, że dla stężeń mniejszych od 5000 g/m^3 ze wzrostem średnicy naczynia maleje prędkość sedimentacji, a dla stężeń większych, prędkość opadania rośnie.

Brown [9] podaje, że wpływ średnicy aparatu można opisać empirycznym współzynnikiem korekcyjnym

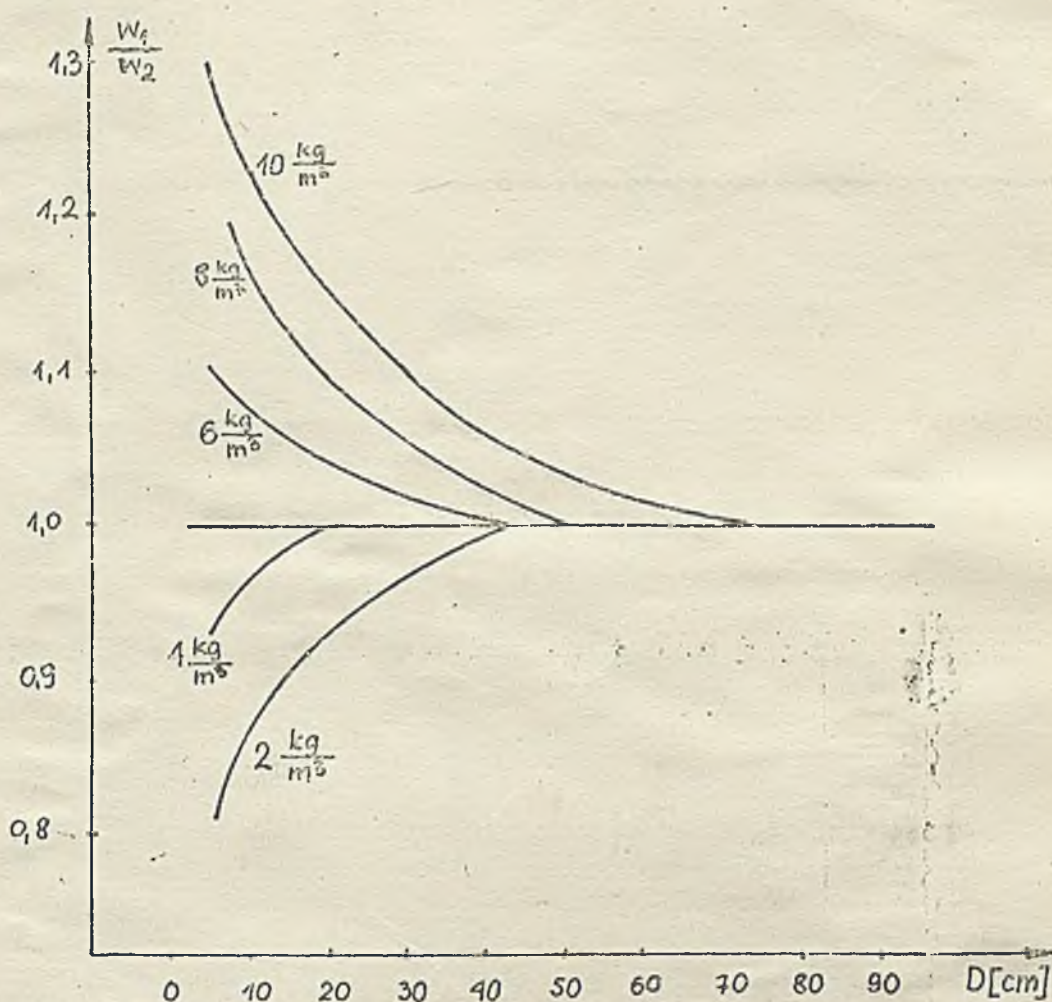
$$\frac{w}{w_0} = 1 - \frac{1}{D} \cdot 2,25 \quad /66/$$

gdzie : 1 - wymiar cząstki, a D - średnica aparatu, czyli prędkość rośnie ze wzrostem średnicy urządzenia sedimentacyjnego.

Richardson i Zaki [13] podają następujący wzór tabl. 4 /4,9/

$$w = w_0 / 1 - C_v^n \quad , \quad n = 4,65 + 19,5 \frac{1}{D} \quad /67/$$

Zgodnie z tym równaniem prędkość sedimentacji rośnie wraz ze wzrostem średnicy aparatu.



Rys. 18

Rys. 18 Wykres stężeń i średnicy osadzania na prędkość sedymentacji szlamu punktowacjnego.

Cor [52] zamieszczona wzór Happela, który wiąże prędkość sedymentacji ze średnicą operatu następujące:

$$\frac{w}{w_\infty} = \left[1 - \left(\frac{1}{D} \right)^2 \right] \left[1 - \frac{1}{2} \left(\frac{1}{D} \right)^2 \right]^{1/2} \quad /68/$$

gdzie w_∞ jest prędkością opadania w spłaszcie o nieskończonej powierzchni.

Tęgór powyższy podobnie jak dwa poprzednie przewiduje wzrost prędkości ze wzrostem średnicy aparatu.

Dane doświadczalne [16, 53-55] świadczą o wprost przeciwniej tendencji tzn. ze wzrostem średnicy naczynia maleje szybkość sedymencacji.

Wobec tych sprzecznych informacji postanowiono wykorzystać dane z pracy [36] dotyczące opadania polidispersyjnych zawiesin kredy zielonej w wodzie, w naczyniach o rętej średnicy. Dane te zamieszczono w załączniku VI.

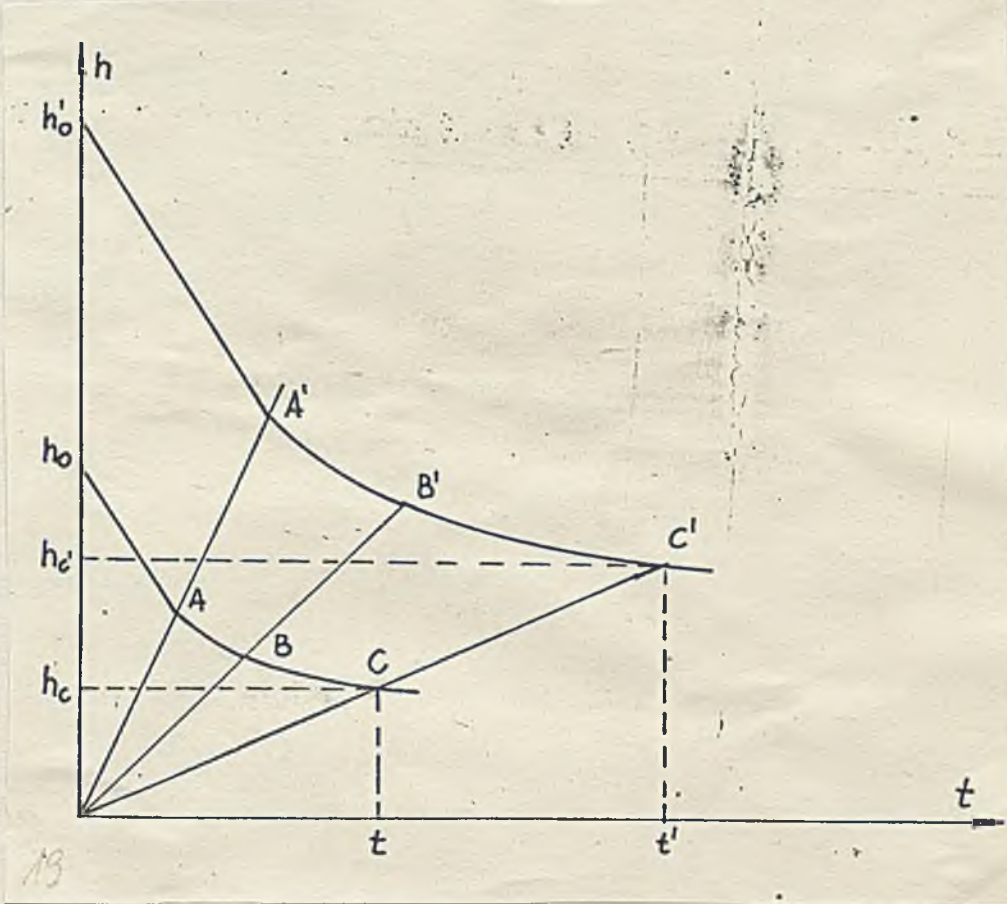
Analizując wspomniane powyżej dane można stwierdzić, że wpływ jakościowy średnicy aparatu na prędkość opadania jest podobny jak u Vasilinda natomiast ilościowo jest on trudny do uchwycenia z uwagi na skomplikowany materiał doświadczalny i dalsze do istniejących propozycji różnych /55-58/ opisujących wpływ średnicy na powyższy parametr należy podchodzić z dużą ostrożnością.

Jednocześnie istnieją zasiecziny /np. dieselit w wodzie/, u których wpływu takiego nie zaobserwowano.

1.5. Wysokość skupu zawiesiny o prędkości sedymencacji.

Z prac [3, 11, 34] wiadomo, że dla zawiesin monodispersyjnych można stosować metodę graficzną, pozwalającą sporządzić wykres krzywej sedymencacji dla zawiesiny o pewnej wysokości początkowej skupu suspenzji h_0' , jeśli dany jest wykres tej krzywej dla h_0 , a $0,5 \leq \frac{h_0'}{h_0} \leq 2$, Istotą tego sposobu przedstawia-

Rys. 19.



Rys. 19 Metoda graficzna Coulsona Richardsona

Poprawne są następujące związki :

$$\frac{h'_0}{h_0} = \frac{OA'}{OA} = \frac{OB'}{OB} = \dots = k \quad /69/$$

$$t' = t \cdot k \quad h_{c'} = kh_c \quad /70/$$

a wzduż linii wychodzących z początku układu współrzędnych zachodzi :

$$\varepsilon = \text{idem}, \quad w = \text{idem} \quad /71/$$

Poprawność metody dla związków polidisperacyjnych sprawdzono w pracy [16]. Niestety okazuje się, że zawiesiny sflokulowane bądź skongulowane wykazują silny wpływ wysokości na prędkość opadania [51, 57]. Wobec tego metodę tę można polecać jedynie dla substancji, których osady są mało ścisłe. Do substancji tych można zaliczyć osady mineralne, nie należą do nich natomiast osady biologiczne czy żelowe.

2. Powierzchnia sedimentacji.

2.1 Metody rachunkowe.

W literaturze fachowej można znaleźć wiele metod i wzorów do obliczania powierzchni osadników, jednak nie wiadomo na ile są one pewne. W tabl. 5 zebrane najczęściej cytowane wzory na obliczenie powierzchni sedimentacji.

tabl. 5 Zestawienie wzorów na powierzchnię sedimentacji.

lp	Wzór oryginalny	Uwagi	Autor i źródło
5.1	$A = \frac{V}{cz} \frac{x_w - x_z}{w + x_w}$	$w = w_s$	Kesetkin [58,59]
5.2	$A = 1,33 \cdot \frac{V}{cz} \frac{x_w - x_z}{w - x_w}$	$w = w_s$	Fawlow, Romankow Noskow [58,60]
5.2a	$A = \frac{V}{cz}$	$w = \text{Obserwowana prędkość rzeczywista}$	Pikeń [80]
5.2b	$A = 1,33 \frac{V}{cz} \frac{(x_w - x_z) / p}{(x_w - x_z) / p}$	w obliczeniach szacunkowych $w = 0,5 w_s$	
5.3	$A = K \frac{V}{cz}$	w rzeczywista $K = 1,5-2,5$	Anderson, Sparkman [58]
5.4	$A = 1,25-2,0 \frac{V}{\gamma_{pwf}}$	$\gamma_{pwf} = w \text{ rzeczywista}$	Conway, Edwards [58]
5.5			

Lp	Źródło oryginalny	Uwagi	Autor i źródło
5.5	$\lambda = \frac{V}{w} - \frac{q_g}{q_w}$	w rzeczywiste	Kolinske [58]
5.6	$\lambda = \frac{V}{w} - \frac{C}{C_{vw}}$	w rzeczywiste	Spikins [58]
5.7	$\lambda = \frac{V}{w} - \frac{C}{C_{vw}}$	w rzeczywiste $\lambda = 1-4$	Hazen [61]
5.8	$\lambda = \frac{V}{w} - \frac{C_{vw} - C_{vz}}{C_{vw}}$	$w = w / C_{vz} /$	Bettaglia [14] Spikins [58]
5.9	$\lambda = \frac{V}{w} / 1 - \frac{C_{vz}}{C_{vw}}$	$w = w_g$	Cummings [58]
5.10	$\lambda = \frac{V}{w}$	$w = \frac{dh}{dt}$ z krzywej sedimentacji	Trawiński [58]
5.11	$\lambda = \frac{V}{w} / 2 - \frac{q_g - q_p}{q_w - q_p} /$	w= prędkość opadania swobodnego największego ziarnka w przelewie	Priocbratenskij [14]
5.12	$\lambda = K \frac{V - \dot{V}}{w}$	$w = w / C_{vz} /$ $K = 1,5-2$ w budynkach ogrzewanych $K = 1,7-3$ na zew. budynków	Bettaglia [14]

Lp	Wzór oryginalny	Uwagi	Autor i źródło
5.13	$A = \frac{V}{\frac{P}{W} - V}$	$w = w / G_{VZ} /$ a/ $V = 0,152, w$ b/ $V = 0,0282 \cdot \frac{w}{G_{VZ}}$	Szyzskin [62]
5.14	$A = G \frac{\frac{m_Z - m_W}{m_Z - m_W}}{w - c}$	$w = \text{liniowa część krzywej sedimentacji}$	Brown [9] Gundelsch [58] Krekowski [63]
5.15	$A = 1,33 G \frac{\frac{m_Z - m_W}{m_Z - m_W}}{S_c - w}$	$w = jsk \text{ wyżej}$	
5.16	$A = KG \left(\frac{P - P_{\min}}{w} \right)_{\max}$	$w = w / P / K = 1,3-2$	Leskowski [64] w oparciu o metodę AG Freiberg i i [65]
5.17	$A = KG \frac{\frac{m_Z - m_W}{m_Z - m_W} w_{\max}}{w - S_c}$	$w = \text{zeichywista}$	Leskowski [58]
5.18	$A = G \frac{\frac{1}{\left(\frac{c - w}{m - m_W} \right)_{\min}}}{w}$	$w = w / m /$ $m \in (m_w, m_z)$	Coe Clevenger [15]
5.19	$A = G \frac{1}{G_Z w}$	$w = w / q_z^* /$	Coe Clevenger [58]
5.20	$A = KG / \frac{\frac{m - m_W}{m - m_W}}{w - \max}$	$w = w / m /$ $m \in (m_w, m_z)$ $K = 1,5-2 \text{ w budynkach ogrzewanych}$ $K = 1,7-3 \text{ poza budynkami}$	Coe Clevenger [14]

W powyższej tabeli zastosowano następujące oznaczenia :

$$\dot{G} = \dot{V}_{cz} S_c x_s = \dot{V}_{z,vz} C_{vz} S_s \quad \dot{V}_s = \dot{V}_{cz} \frac{S_c}{g} /1 + x_s/ \quad /72/$$

w_s = prędkość obliczona ze wzoru Skłosco /8/

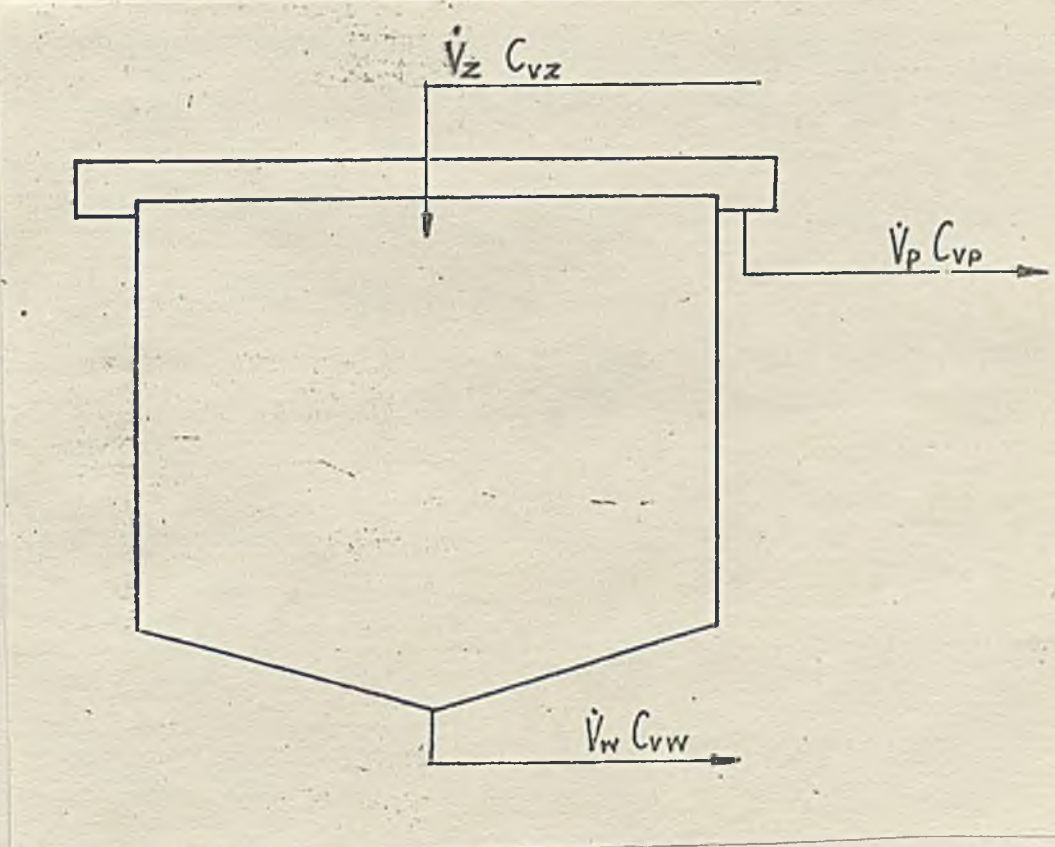
Obeeny stan wiedzy upoważnia do analizy wzorów zawartych w tabl. 5.

Przepływ osadnika ciągłego w stanie ustalonym można opisać następującymi równaniami bilansowymi :

$$\dot{V}_z = \dot{V}_p + \dot{V}_w \quad /73/$$

$$\dot{V}_{z,vz} C_{vz} = \dot{V}_{p,vp} C_{vp} + \dot{V}_{w,vw} C_{vw} \quad /74/$$

Powyższe oznaczenia wyjaśnia Rys. 20



Rys. 20 Schemat osadnika ciągłego

W zależności od sformułowania celu pracy osadnika lub warunków w jakich ma działać, z równań /73,74/ można otrzymać związki do obliczenia powierzchni sedimentacji. I tak jeżeli dla zadanej zawiesiny zasilającej o \dot{V}_z i C_{vz} mamy uzyskany konkretny przepływ o stężeniu C_{vp} to :

$$\dot{V}_p = \dot{V}_z \frac{C_{vw} - C_{vz}}{C_{vw} - C_{vp}} \quad /75/$$

$$\dot{V}_p = w \cdot A \quad /76/$$

wtedy

$$A = \frac{\dot{V}_z}{w} \frac{C_{vw} - C_{vz}}{C_{vw} - C_{vp}} \quad /77/$$

Teoretycznie rzecz biorąc przyjmując prędkość w ujęte do obliczenia powierzchni A powinna być równa rzeczywistej prędkości opadania granicy mątkowości w aparacie.

Analizując tabl. 5 można stwierdzić, że wzory 5.1-5.3, 5.8, 5.9, 5.14, 5.15 i 5.17 są równowarto /77/.

Jeżeli weźmie się założenie o czystości przepływu $/C_{vp}=0/$ oraz żądane stężenie wyława C_{vw} wtedy z /73/ i /74/ [58]

$$\dot{V}_w = \dot{V}_z \frac{C_{vz}}{C_{vw}} \quad /78/$$

$$\dot{V}_w = A \cdot w \quad /79/$$

$$A = \frac{\dot{V}_z}{w} \frac{C_{vz}}{C_{vw}} \quad /80/$$

Analizując w dalszym ciągu tabl. 5 widać, że wzory 5.5-5.7 odpowiadają równaniu /80/.

Wprowadzamy pojęcie gęstości strumienia cieku stałego σ_v przekształcającego przez dowolny przekrój poprzecany osadnika. Co i Glewenger na podstawie obserwacji doświadczalnych [15] podeli następujący wzór :

$$\sigma_v = \frac{w/C_v/v}{\frac{1}{v} - \frac{1}{C_v w}} \quad /31/$$

Oraz sposób wykorzystania go do projektowania osadników. Propozycja ta jest następująca :

- 1/ Z doświadczonych okresowych należy wyznaczyć funkcje $w=C_v/v$
z prostoliniowych odcinków na krzywych opadania/
- 2/ Z równania /31/ obliczyć wartości σ_v dla szeregu wartości stałeń $C_v = C_{v1}, C_{v2}, C_{v3} \dots$
- 3/ Jako powierzchnię osadnika wybrać tą, dla której σ_v jest najmniejsza.

Powyższy wzór w formie /31/ został wyproszeny matematycznie przez Yoshioka [21], natomiast wyproszenie uściślone podał Richardson [19].

Podstawką ponizejego wyproszenia jest stwierdzenie, że prędkość ruchu cieku stałego w kierunku wylotu z osadnika jest sumą prędkości sedimentacji i prędkości przepływu zawiesiny w dół aparatu /związanego z odbiorą wyłonu/.

Jeżeli w to prędkość sedimentacji dla stażenia C_v , a $u = \frac{w}{A}$ to prędkość przepływu odbieranej zawiesiny, to gęstość strumienia cieku stałego w pewnym przekroju aparatu będzie równa :

$$\sigma_v = C_v / w / C_v / + u / \quad /32/$$

Zapiszmy powyższe równanie dla warunków wylotu

$$g_v = C_{vw} / w/C_{vv} / + u / \quad /83/$$

Z równania /83/ obliczymy u i wstawimy do /82/

$$u = \frac{g_v}{C_{vw}} - w / C_{vv} / \quad /84/$$

$$g_v = C_v / w / C_{vv} / + \frac{g_v}{C_{vw}} - w / C_{vv} // \quad /85/$$

Po przekształceniach otrzymamy

$$\hat{s}_v = \frac{w/C_v / - w/C_{vv} /}{\frac{1}{C_v} - \frac{1}{C_{vw}}} \quad /86/$$

Jeżeli przyjąć, że $w/C_v / \gg w/C_{vw} /$ wtedy otrzymamy klasyczne równanie Coe i Clevengera /81/.

Do propozycji Coe i Clevengera można dodać pewne ułatwienie tzn. funkcję $w = w / C_v /$ wyznaczyć metodą graficzną Kyncha w tych przypadkach, kiedy jest to możliwe /patrz. rozdział 1.2.6/ zamiast wykonywanie wielu doświadczeń określonych dla różnych stężeń początkowych i odczytywania wartości $w / C_v /$ z początkowych edycinków na krzywych sedymentacji.

Kontynuując analizę tabl. 5 należy stwierdzić, że wzory 5.16, 5.18 i 5.20 odpowiadają /81/ i algorytmowi po nim opisanemu.

Większość wzorów w tabl. 5 zawiera jakiś rodzaj poprawki /stała K lub prędkość hamowania v /. Jest to związane z : przesunięciem skali, nieidealnością gąsienicy, barzliwością przepływu , wpływami otoczenia /np. zmiany temperatury/ itp.

Trudno a priori stwierdzić, która formuła jest najlepsza do celów projektowych i dlatego zdecydowano się na weryfikację doświadczenia. W uproszczeniu tym pominięto wzory, w których następuje przedkładanie opadania swobodnego, gdyż nadaje się one do obliczeń kierunków i jak stwierdzają obliczenia Robla [56] nie obowiązuje dla wedykacji skróconej /strew opinion ich autorów/.

Wybrane do weryfikacji równania z tabl. 5 po wyrażeniu w jednolitej formie przy użyciu staćń objętościowych umieszczone w tabl. 6. tabl. 6 Zestawienie przygotowanych do weryfikacji doświadczeń wzorów na powierzchnię sedimentsacji.

Lp	Wzór przekształcony	Uwagi
6.1	$A_{wK} = \frac{\dot{V}}{w} \frac{C_{vw} - C_{vz}}{C_{vw} - C_{vp}}$	$w=w/C_{vz}/ \quad K=1,5-2 \text{ w budynkach ogrzewanych}$ $K=1,7-3 \text{ na zewnątrz budynków}$
6.2	$A_{wK} = \frac{\dot{V}}{w} \frac{C_{vz}}{C_{vw}}$	$C_{vp}=0, \quad w=w/C_{vz}/ \text{ lub } w=w/C_{vw}/$ $K=1-4$
6.3	$A_{w1,25-2,0} = \frac{\dot{V}}{w} / 1-2 \frac{C_{vz}}{C_{vw}}$	$w=w/C_{vz}/$
6.4	$A = \frac{\dot{V}}{w}$	$w=w/C_{vz}/$
6.5	$A_w = \frac{\dot{V}}{w-v} \frac{C_{vw} - C_{vz}}{C_{vw} - C_{vp}}$	$w=w/C_{vz}/ \quad v=0,152 \cdot w$ lub $v=0,0282 \cdot \frac{w}{h}, 2$

Lp	Wzór przekształcony	Uwagi
6.6	$A = K \cdot V_z \frac{C_{VZ} - C_{VP}}{C_{VW} - C_{VP}} \cdot C_{VW} \left(\frac{\frac{1}{C_V} - \frac{1}{C_{VW}}}{w} \right)_{max}$	$C_V \in [C_{VZ}, C_{VW}],$ $w=w/C_V /, K \text{ jak w pkt. 1}$
6.7	$A = K \cdot V_z \frac{C_{VZ} - C_{VP}}{C_{VW} - C_{VP}} \cdot C_{VW} \left(\frac{\frac{1}{C_V} - \frac{1}{C_{VW}}}{w-w/C_{VW}/} \right)_{max}$	jak wyżej

Sprawdzenie doświadczalne powyższych wzorów przeprowadzone w oparciu o dane pochodzące z instalacji przemysłowej [58], laboratorium [16, 38, 56] oraz pilotującej [66].

Poniżej przedstawione podstawowe wartości wielkości pomiarowych uzyskane z przemysłowego osadnika Rorra / $A = 255 \text{ m}^2$ / w VEB Chemische Werke Buna [58]. Badana była zawiesina $\text{Ca}(\text{OH})_2$ w wodzie o następujących parametrach:

$$\rho_s = 2200 \text{ kg/m}^3 \quad \gamma_c = 4,658 \cdot 10^{-4} \text{ Pa.s}$$

$$V_{os} = 40 \text{ m}^3/\text{h} \quad z_g = 0,021$$

$$x_p = 0,018 \quad z_w = 0,0456$$

$$w_{rz} = 0,136 \text{ m/h}$$

Instytut Inżynierii Chemicznej i Budowy Aparatury Politechniki Śląskiej wykonano badanie [16, 38, 56] na osadniku laboratoryjnym $D = 0,345 \text{ m} \quad A = 0,09345 \text{ m}^2$.

W tabl. 7 i 8 zamieszczono dane z pracy [16], gdzie badano zawiesinę kredy mielonej w wodzie, $\rho_s = 2567,6 \text{ kg/m}^3$, $C_{VP} = 0$

tabl. 7 Dane bilansowe z pracy [16]

Lp	$\dot{V}_s \left[\frac{\text{cm}^3}{\text{min}} \right]$	C_{VZ}	C_{VW}
1	1610	0,035	0,0760
2	2695	0,035	0,0915
3	2280	0,035	0,0886
4	1380	0,05	0,105
5	2100	0,05	0,0843
6	2820	0,05	0,0573
7	555	0,10	0,216
8	1600	0,10	0,110
9	290	0,10	0,136

tabl. 8 Prędkość opadania krody mielonej w funkcji etykiety [16]

C_v	0,035	0,04	0,045	0,05	0,10	0,15	0,20	0,25
$\dot{V}_s \left[\frac{\text{cm}^3}{\text{min}} \right]$	2,3375	2,0111	1,7500	1,5373	0,375	0,1936	0,1059	0,0625

tabl. 9 Dane bilansowe z pracy [38]

Lp	$\dot{V}_s \left[\frac{\text{cm}^3}{\text{min}} \right]$	C_{VZ}	C_{VW}
1	2	3	4
1	5000	0,035	0,043
2	2000	0,035	0,155
3	4000	0,035	0,054
4	2100	0,05	0,091

tabl. 9 c.d.

1	2	3	4
5	1500	0,05	0,124
6	2500	0,05	0,157
7	2500	0,05	0,125
8	2700	0,065	0,09
9	1300	0,065	0,198
10	2800	0,065	0,063

tabl. 10 Prędkości opadania skrgoszczego w funkcji stopnia [38]

σ_v	0,035	0,04	0,05	0,10	0,15	0,20
$w \left[\frac{cm}{min} \right]$	2,14	1,745	1,51	0,359	0,1923	0,1071

tabl. 11 Dane bilansowe dla kredy [56]

lp	$\gamma \left[\frac{cm^3}{min} \right]$	σ_{vz}	σ_{vn}
1	2	3	4
1	3000	0,025	0,164
2	3000	0,025	0,142
3	3600	0,025	0,069
4	3600	0,025	0,061
5	4200	0,025	0,043
6	4200	0,025	0,041
7	4200	0,025	0,042
8	4800	0,025	0,038
9	4800	0,025	0,039

tbl. 11 c.d.

1	2	3	4
10	5400	0,025	0,035
11	5400	0,025	0,031
12	6000	0,025	0,031
13	6000	0,025	0,030
14	1200	0,057	0,210
15	1200	0,057	0,182
16	1680	0,057	0,106
17	2100	0,057	0,094
18	2100	0,057	0,088
19	2400	0,057	0,083
20	2400	0,057	0,077
21	3000	0,057	0,077
22	3000	0,057	0,071
23	3600	0,057	0,071
24	3600	0,057	0,065
25	4200	0,057	0,067
26	4200	0,057	0,066
27	4800	0,057	0,064
28	4800	0,057	0,061
29	5400	0,057	0,065
30	6000	0,057	0,062
31	6000	0,057	0,061
32	1200	0,084	0,134
33	1680	0,084	0,112
34	2100	0,084	0,104
35	2400	0,084	0,092
36	2400	0,084	0,094
37	3000	0,084	0,090

tabl. 11 c.d.

1	2	3	4
38	3000	0,082	0,092
39	3600	0,084	0,091
40	4200	0,084	0,090
41	4200	0,084	0,089

tabl. 12 Dane kinetyczne dla kredy [56]

c_v	0,025	0,03	0,057	0,06	0,084	0,09	0,12
$w \left[\frac{cm^3}{min} \right]$	2,744	2,20	0,90	0,567	0,412	0,342	0,2

tabl. 13 Dane bilansowe dla dicalitu [56]

δp	$v \left[\frac{cm^3}{min} \right]$	c_{vz}	c_{vn}
1	4140	0,037	0,041
2	4640	0,037	0,038
3	5264	0,037	0,038
4	3696	0,037	0,039
5	2988	0,037	0,0375
6	4740	0,037	0,038

tabl. 14 Dane kinetyczne dla dicalitu [56]

c_v	0,03	0,037	0,06	0,08
$w \left[\frac{cm}{min} \right]$	0,293	0,173	0,0467	0,025

tabel. 15 Dane bilansowe dla zawiesin krzemionki [66]

lp	\dot{V}_s [cm ³ /min]	C_{VZ}	C_{VW}
1	59140	0,0279	0,0885
2	43170	0,0279	0,1212
3	59770	0,0194	0,1406
4	22260	0,0521	0,1363
5	20210	0,0618	0,1467
6	15740	0,0836	0,1539
7	101360	0,0121	0,1212
8	90300	"	0,1284
9	105030	"	0,1309
10	99550	"	0,1333
11	94010	"	0,1345
12	95830	"	0,1575
13	95830	"	0,1599
14	97690	"	0,1685
15	101360	"	0,1696

tabel. 16 Prędkość opadania krzemionki w funkcji stężenia zawiesiny [66]

C_v	0,02339	0,03544	0,04677	0,05812	0,07068	0,0822	0,09356
w [cm/min]	3,042	1,768	1,062	0,6147	0,4166	0,3302	0,2845
	0,1569						
	0,1753						

tabl. 17 Współczynniki wizualizacji protonów jajowych

lp	materiał	Autor	α_0	α_1	α_2	$\alpha_3 \cdot 10^{-4}$	$\alpha_4 \cdot 10^{-4}$	$\alpha_5 \cdot 10^{-4}$
1	Gd/UR/2	Röbel [58]	0,23	0	0	0	0	0
2	Caco ₃	Kupka [16]	6,2408	-163,68	1826,7	-1,0403	2,9652	-3,3590
3	Caco ₃	Sardys & [38]	6,3354	-176,64	1989,0	-1,0015	1,8537	0
4	Caco ₃	Kreft [56]	5,8674	-173,40	2150,8	-1,3471	4,1500	-5,0174
5	SiO ₂	Kreft [56]	3,286	-219,92	5124,5	-3,9317	0	0
6	SiO ₂	Saott [66]	7,6861	-277,80	3933,4	-2,4674	5,7007	0

tabel. 18 Współczynniki wykrotniczych funkcji przybliżających

Lp	Materiał	Autor	a_0	a_1
1	Ca/CO_2	Robel [58]	0,4450	-67,4841
2	CaCO_3	Kupka [16]	6,2482	-29,1559
3	CaO	Gałdyś [38]	4,8656	-23,4679
4	CaO_3	Kreft [56]	5,9814	-32,2206
5	SiO_2	Kreft [56]	2,8024	-75,2687
6	SiO_2	Scott [66]	6,9009	-38,3428

tabl. 19 Zestawienie wyników weryfikacji doświadczalnej wzorów na powierzchnię sedimentacji
 / w/C_v / dane wielomianem /

Lp	Wzór przekształcony	\bar{A}_{v}	σ	$A_w \text{ max}$	$A_w \text{ min}$	$\bar{\alpha}$	n
1	$A_{wK} = \frac{V}{w} \frac{C_{vw} - C_{vp}}{C_{vw} + C_{vp}}$	0,7435	0,3949	3,4983	0,2138	1,558	82
2	$A_{wK} = \frac{V}{w} \frac{C_{vw}}{C_{vw}}$ $w = w / C_{vw} /$ $v = v / C_{vw} /$	3,9141	7,2815	31,2350	0,0549	2,833	81
3	$A_{wK} = \frac{V}{w} / 1 - C_{vw} /$	4,3492	7,2484	31,235	0,6189	0,5997	82
4	$A = \frac{V}{w}$	4,5838	7,5975	32,4356	0,6312	0,5772	82
5	$A = \frac{V}{w(1 - 0,0282/h^{0,2})} \frac{C_{vw} - C_{vp}}{C_{vw} + C_{vp}}$	0,7537	0,3935	2,5412	0,2173	(1,5385)	81
6	$A_{wKV} = \frac{C_{vw} - C_{vp}}{C_{vw} + C_{vp}} C_{vw} \left(\frac{\frac{1}{C} - \frac{1}{C_{vw}}}{\frac{V}{w} - \frac{V}{C_{vw}}} \right)_{\text{max}}$	0,7622	0,3993	2,4983	0,1591	1,5801	82
7	$A_{wKV} = \frac{C_{vw} - C_{vp}}{C_{vw} + C_{vp}} C_{vw} \left(\frac{\frac{1}{C} - \frac{1}{C_{vw}}}{\frac{V}{w} - \frac{V}{C_{vw}}} \right)_{\text{max}}$	3,0834	3,8450	18,3000	0,5672	0,5350	75

tabl. 20 Zestawienie wyników weryfikacji doświadczalnej wzorów na powierzchnię sedimentacji
 w/C_v / dane funkcje wykroźnicze/.

Lp	Wzór przekształcony	\bar{A}_w	σ	$A_w \text{ max}$	$A_w \text{ min}$	$\bar{\alpha}$	n
1	$A = K \frac{V}{w} \frac{C_{VW} - C_{VP}}{C_{VZ} - C_{VP}}$	0,7361	0,3937	2,4975	0,2191	1,5556	82
2	$A = K \frac{V}{w} \frac{C_{VZ}}{C_{VW}}$ $w = w/C_{VZ}/C_{VW}$ $w = w/C_{VW}/C_{VZ}$	3,9107 8,9562	7,2004 12,2223	31,5731 50,5700	0,0615 0,9878	2,6513 0,2487	82 82
3	$A = K \frac{V}{w} \frac{C_{VZ}/(1-C_{VZ})}{C_{VW}}$	4,3105	7,2365	31,2266	0,6748	0,5928	82
4	$A = \frac{V}{w}$	4,5426	7,5852	32,4264	0,6938	0,5698	82
5	$A = \frac{V}{w \left(1 - \frac{0,282}{h^{0,2}}\right)} \frac{C_{VW} - C_{VZ}}{C_{VW} - C_{VP}}$	0,7461	0,3918	2,5404	0,2227	(1,5463)	81
6	$A = KV_z \frac{C_{VZ} - C_{VP}}{C_{VW} - C_{VP}} C_{VW} \left(\frac{1 - \frac{1}{C_{VZ}}}{\frac{V}{w} - \frac{V}{C_{VW}}}\right)_{\text{max}}$	0,8326	0,5007	3,2839	0,1591	1,5477	82
7	$A = KV_z \frac{C_{VZ} - C_{VP}}{C_{VW} - C_{VP}} C_{VW} \left(\frac{1 - \frac{1}{C_{VZ}}}{\frac{V}{w} - w/C_{VZ}/C_{VW}}\right)_{\text{max}}$	2,6859	2,6552	11,8949	0,3199	0,5909	82

w tabl. 8, 10, 12, 14 i 16 znajdują się wartości prędkości sedimentacji w funkcji stopnia początkowego zmiennego w doświadczalnych okresowych w ruchach sedymentacyjnych, w przesekach [16, 38, 56 i 66]. W tabelach 7, 9, 11, 13 i 15 umieszczone dane bilansowe z powyższych prac. Dla wszystkich punktów pierwotnych $\sigma_{vp} = 0$.

W celu ułatwienia obliczeń na mocy samej cyfrowej poszukiwanego najdogodniejszej postaci funkcji $w = a/C_v^{\alpha}$. Funkcje tektu powinny być w zasadzie proste, a z drugiej strony dobrze aproksymować punkty doświadczalne. Końcu wybrane dwie funkcje:

$$w/C_v = a_0 + a_1 C_v + a_2 C_v^2 + a_3 C_v^3 + a_4 C_v^4 + a_5 C_v^5 \quad /87/$$

$$w/C_v = a_0 \cdot e^{a_1 C_v} \quad /88/$$

Stałe a_i obliczono metodą najmniejszych kwadratów. Ich wartości przedstawiono w tabl. 17 i 18.

Algorytm obliczeń sprawdzających był następujący:

Ustosno waór do weryfikacji /tabl. 6/. Począwszy od tabl. 7 wczytywano kolejno punkty pomiarowe ($v_{zi}, \sigma_{vsi}, \sigma_{vwi}, \sigma_{vpi}$) i obliczano w/C_v zgodnie z uwagami z tabl. 6 według równania /87/. Następnie obliczano wartości A_i przy $k=1$ oraz $A_{wi} = A_i/A_{rz}$ i $\alpha_i = 1/A_{wi}$, aby umożliwić porównanie wyników uzyskanych dla aparatów o różnych rozmiarach. Równocześnie poszukiwano wartości $A_{\max} = \max_i A_i$ i A_{\min} .

Na zakończenie cyklu obliczeń drukowane wartości następujących zmiennych

$$\bar{A}_w = \frac{\sum A_{wi}}{n}$$

$$\sigma = \sqrt{\frac{\sum (A_{wi} - \bar{A}_w)^2}{n-1}} \quad (89)$$

$$\bar{\alpha} = \frac{\sum \alpha_i}{n}$$

Następnie przechodzono do kolejnego wzoru z tabl. 6 i powtarza-
no powyższy cykl obliczeń. Po wyczerpaniu róweń z tabl. 6
postorząno obliczenia stosując równanie /82/ do określenia $w/C_v/i$.

Wyniki powyższych obliczeń przedstawiono w tabl. 19 dla
prędkości v wyrażonej równaniem /87/ i w tabl. 20 dla v
wyrażonej równaniem /88/.

Przedstawione w tabl. 19 i 20 wyniki cechują się generalnie
dużym rozrzutem, co może być spowodowane wieloma czynnikami
np. błędami pomiarów czy aproksymacji, przeprowadzeniem pomiarów
zbyt wcześnie przed osiągnięciem stanu ustalonego, wykorzystaniem
prędkości sedymentacji zmierzonej w teście okresowym do obliczeń
urządzenie całego lub przez pod niepełnym obciążeniem poszczególnego
aparatu.

Porównując otrzymane wyniki można stwierdzić, że najlepszą
zgodność z doświadczeniem wykazują wzory 6.1, 6.5 i 6.6 /tabl. 6/.
Zajpewniający z nich zydaje się wzór 6.1 /klasyczny/. Formuła 6.5
wyraża dodatkowej korekty np. poprzez K. Natomiast zaakcentowaniem
jest to, że wzór 6.7, wyrowadzony teoretycznie, jest gorszy od,
otrzymanego z niego przez zprostowanie uproszczenia, wzoru 6.6.
Jeżeli dane dotyczące funkcji $w/C_v/i$ nie są wystarczająco dokładne,
to w związku z obliczeniem wyrażenia $\left(\frac{C_v - C_{vn}}{w/C_v/i} \right)$ otrzymane

wyniki mogą być absurdalne /Stąd musieliśmy zrezygnować z wykorzysta-
nia danych Eklunda [22,67] do powyższych obliczeń opredzających/.

Obraże do obliczeń postacie funkcji $w = w/C_v/i$ - równanie /87
i 88/ spełniały swoje zadanie. Wydaje się, że moina wykorzystać do
celów projektowych, ale pomiary wartości $w/C_v/i$ należy przeprowadzić
bardzo starannie.

2.2 Obliczanie powierzchni sedymencji w oparciu o metody graficzne wykorzystujące dane z krzywych sedymencji.

Podstawowymi parametrami przedstawionych ponizej metod są gęstość masy ρ i gęstość objętościowa ρ_v , strumień opadającygo ciała stałego /w sensie równania /82/ / bądź czas przebywania t_x . Sposób otrzymania wartości tych zmiennych jest specyficzna cechą poszczególnych metod.

Po ich wyznaczeniu, dalsze obliczenie przedzieli się następująco :

$$\begin{aligned} \rho &= \frac{\rho_0 h_0}{t_x} & A_g &= \frac{1}{\rho} \\ \rho_v &= \frac{\rho_0 h_0}{t_x} & A_v &= \frac{1}{\rho_v} \end{aligned} \quad (90)$$

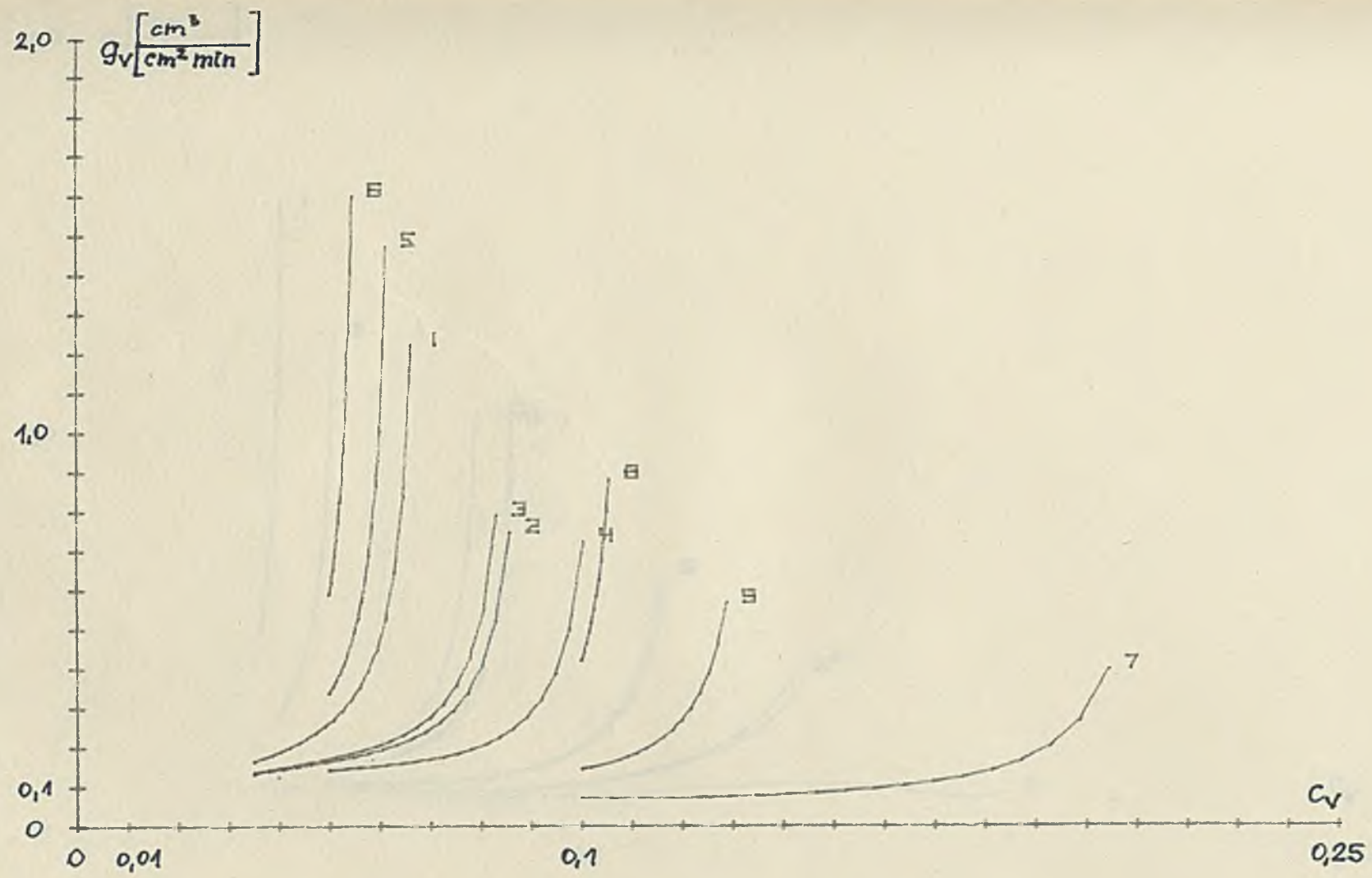
$$A_g = \frac{1}{\rho} = G, \quad A_v = \frac{\rho_0 v_a}{\rho_v} = \frac{\rho_0}{\rho} \frac{v_a}{v} = \frac{G}{h_0}$$

gdzie A_g to powierzchnia potrzebna na osadzenie jednostki masy ciała stałego, a A_v to powierzchnia sedymencji w odniesieniu do jednostki objętości ciała stałego.

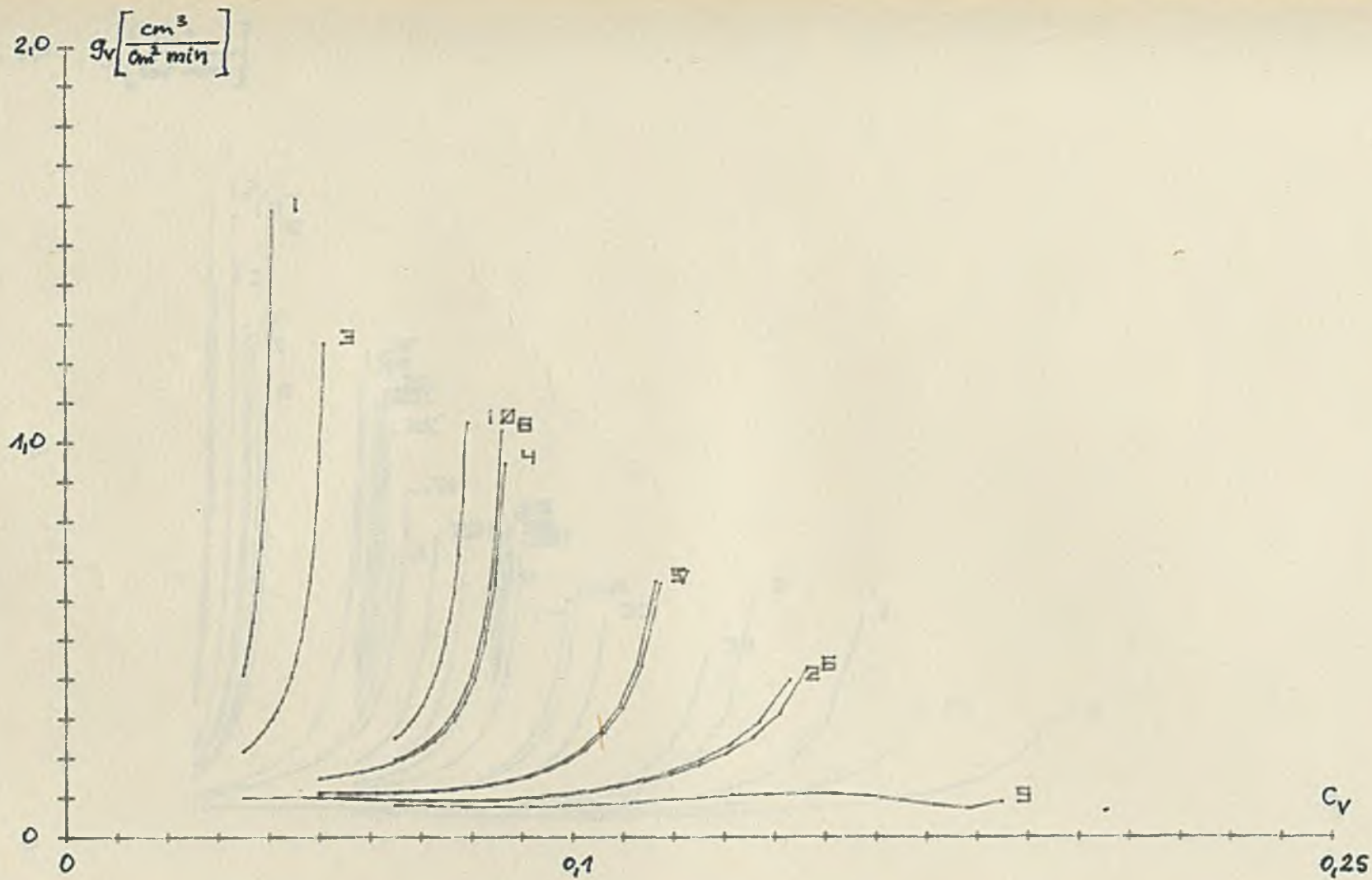
2.2.1 Metoda Coe i Clevengers [15, 21, 68] .

Metoda ta jest graficznym odbiciem wyrowadzenia i sposobu wykorzystania do obliczenia powierzchni sedymencji wzoru Coe i Clevengers /81/. W celu obliczenia powierzchni sedymencji należy sporządzić wykres funkcji $\rho_v = \rho_v / C_v$ /, podającając do wzorów /90/ odczytaną z wykresu wartość ρ_v min.

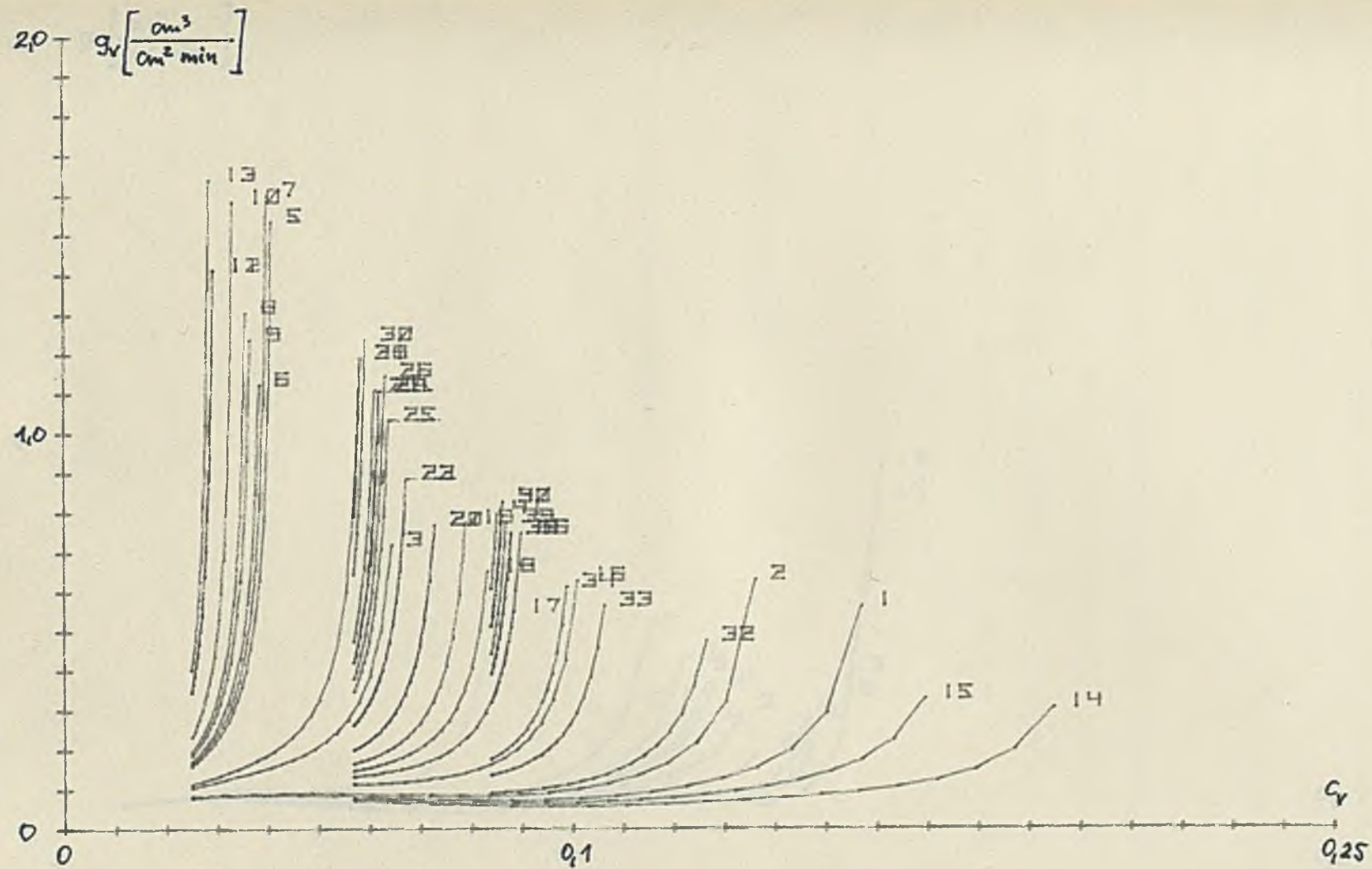
Rys. 21 przedstawiło wykresy $\rho_v = \rho_v / C_v$ / dla danych z tabl. 7 i 8. Szukana powierzchnia limituje kaidorszowe minimum ρ_v czyli w tym przypadku ρ_v / C_{vz} /. Zdarza się tak dość często, stąd Robel



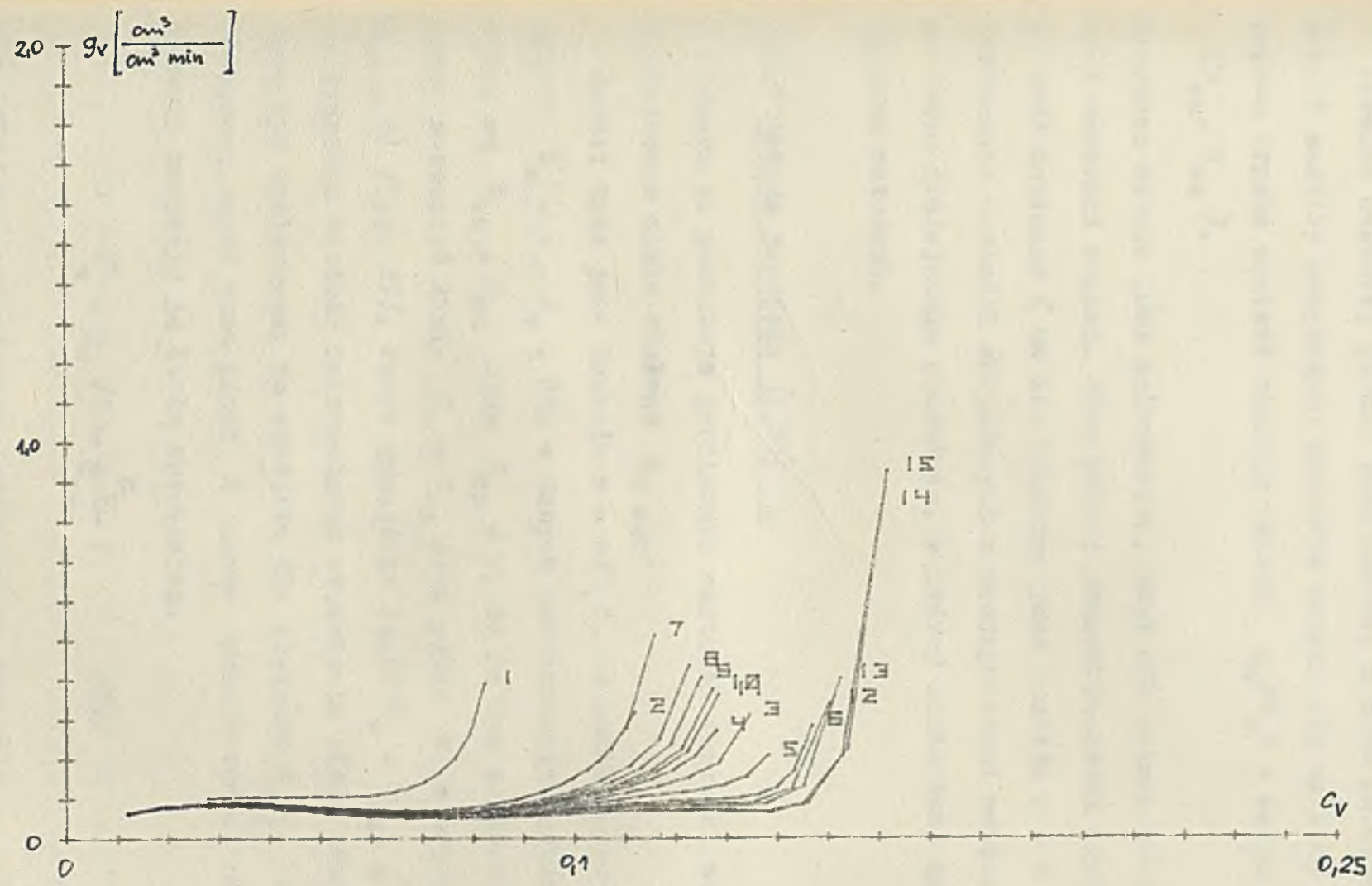
Rys. 21 Wykres $\frac{G_v}{G_v}$ dla danych tabl. 7 i 8



Rys. 22 Wykresy g_v/C_v dla danych z tabl. 10 i 9



Rys. 23 Wykresy g_v/C_v dla danych z tablicy 11 i 12



Rys. 24 Wykresy g_v/c_v dla danych z tabl. 15 i 16

do selecji stosowanie wzoru $\bar{S}_v \min = S_v / C_{vz} /$.

Jeszcze częściej jednak jest jeszcze o czym świadczą Rys. 22-24. Z analizy powyższych wykresów natkuwa się wniosek, że każdorazowo trzeba znaleźć minimum funkcji $S_v / C_v /$ w całym przedziale (C_{vz}, C_{vv}) .

Powyższa metoda jest uniwersalna, gdyż nie zależy od typu zawieszonych i wartości stóżeń. Mimo pewnej precyzyjności uzyskane wyniki są dość dokładne / na ile dokładna jest funkcja $w = w / C_v //$.

Porównanie wartości obliczonych z rzeczywistymi zasiega tabl. 24 na końcu niniejszego rozdziału, w której zestawiono wyniki uzyskane różnymi metodami.

2.2.2 Metoda japońska [4,21].

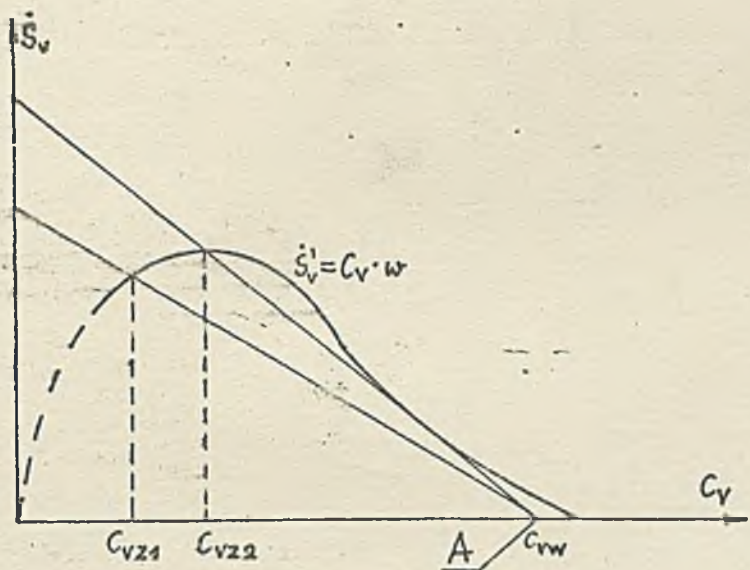
Metoda ta poszukuje graficznie wartości gęstości strumienia opadającego ciałka stałego $E_v \max$.

Jakeli dana jest funkcja $w = w / C_v /$, to można sporządzić wykres $\dot{S}_v = w \cdot C_v$. Gdy z danych dostarczonych przez inwestora znane są C_{vz}, C_{vv} oraz $C_{vp} = 0$, to na tym samym wykresie można zaznaczyć linię $C_v = C_{vz}$ oraz punkt A o współrzędnych $(C_{vv}, 0)$ /Rys. 25/. Punkt przecięcia linii $C_v = C_{vz}$ z krzywą \dot{S}_v wyznacza wartość maksymalnego strumienia ciała stałego, który może być dostarczony do osadników dla stóżeń C_{vz} . Przez ten otrzymany punkt oraz punkt A można przeprowadzić prostą. Autorzy nazwują ją linią operacyjną.

$$\dot{S}_v'' = E_v / 1 - \frac{C_v}{C_{vv}} / \quad / 91 /$$

Zór /91/ przedstawia równanie prostej ruchowej.

Jakeli $C_v = 0$ to $\dot{S}_v'' = S_v$ czyli punkt przecięcia prostej z osią rzędnych wyznacza wartość S_v .

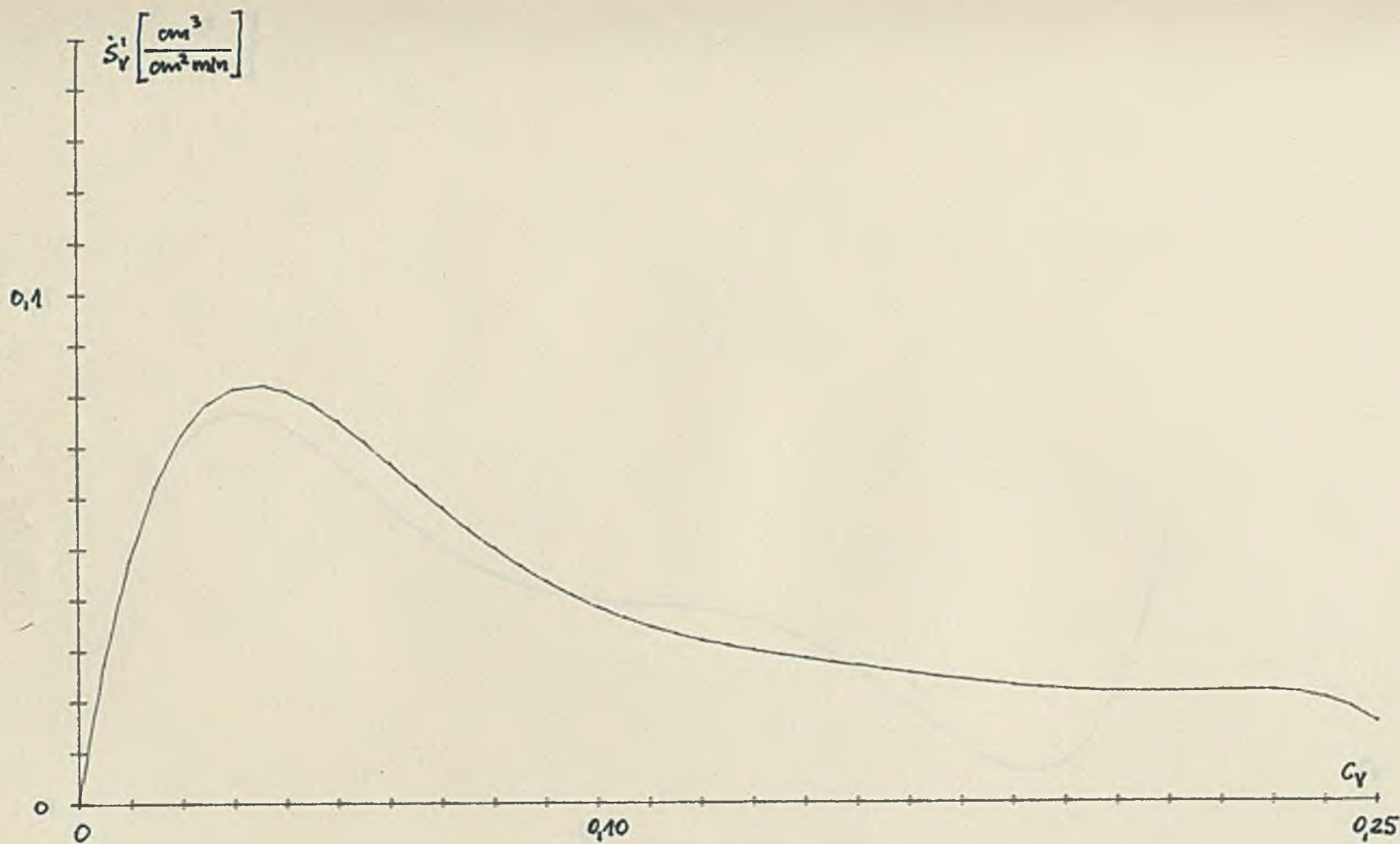


Ryc. 25 Konstrukcja metody japońskiej.

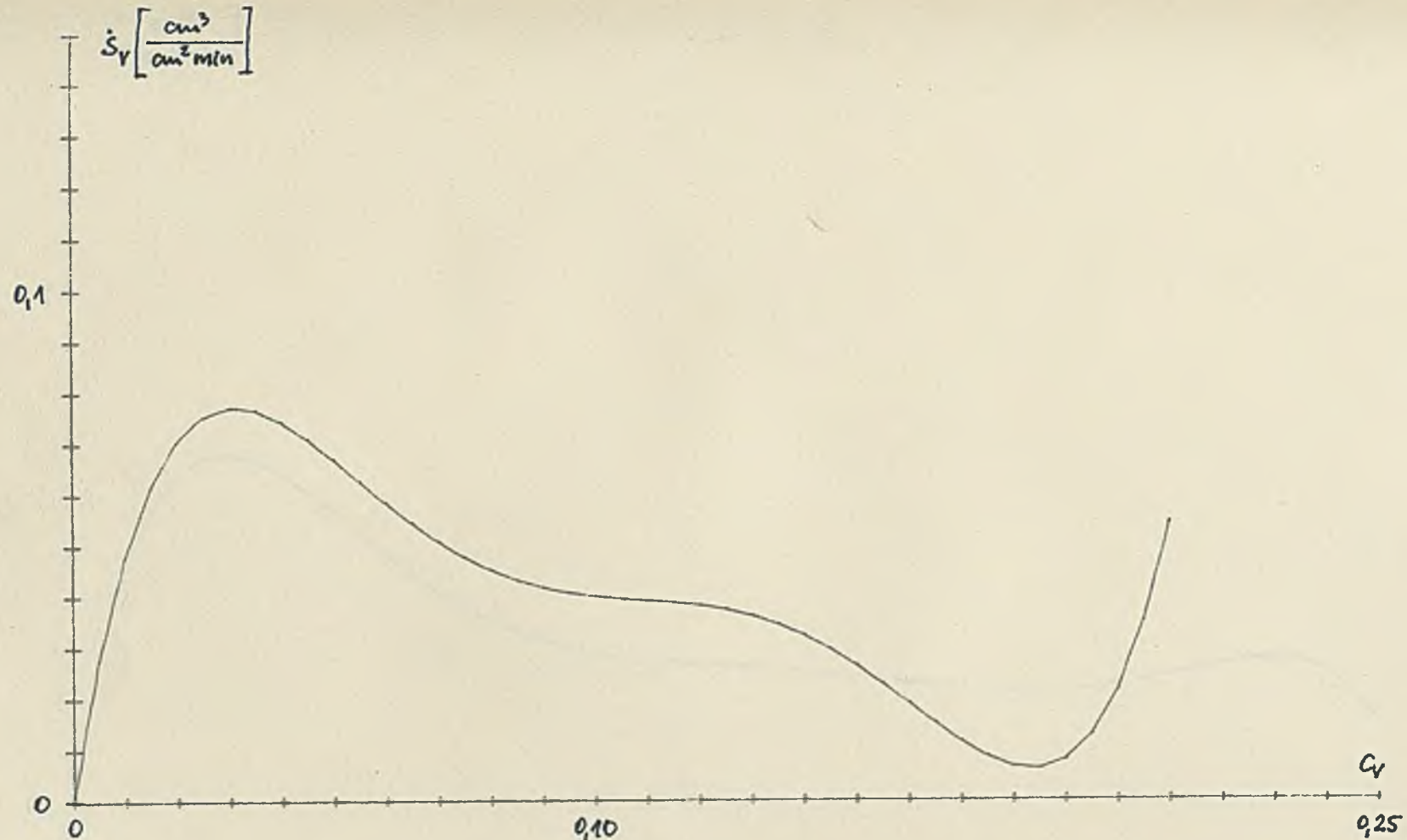
Aby osadnik mógł pracować w stanie ustalonym, wszystkie punkty prostej w przedziale stężeń $\langle C_{vz}, C_{vw} \rangle$ muszą leżeć w obszarze poniżej krzywej $\dot{S}'_v = w \cdot C_v$.

Stąd $C_{v \max}$ dla stężenia C_{vw} określa styczne do krzywej \dot{S}'_v . Jednak w przypadku przedstawionym na Ryc. 25 minimalne stężenie zasolenia musi być zmienione do C_{vz2} .

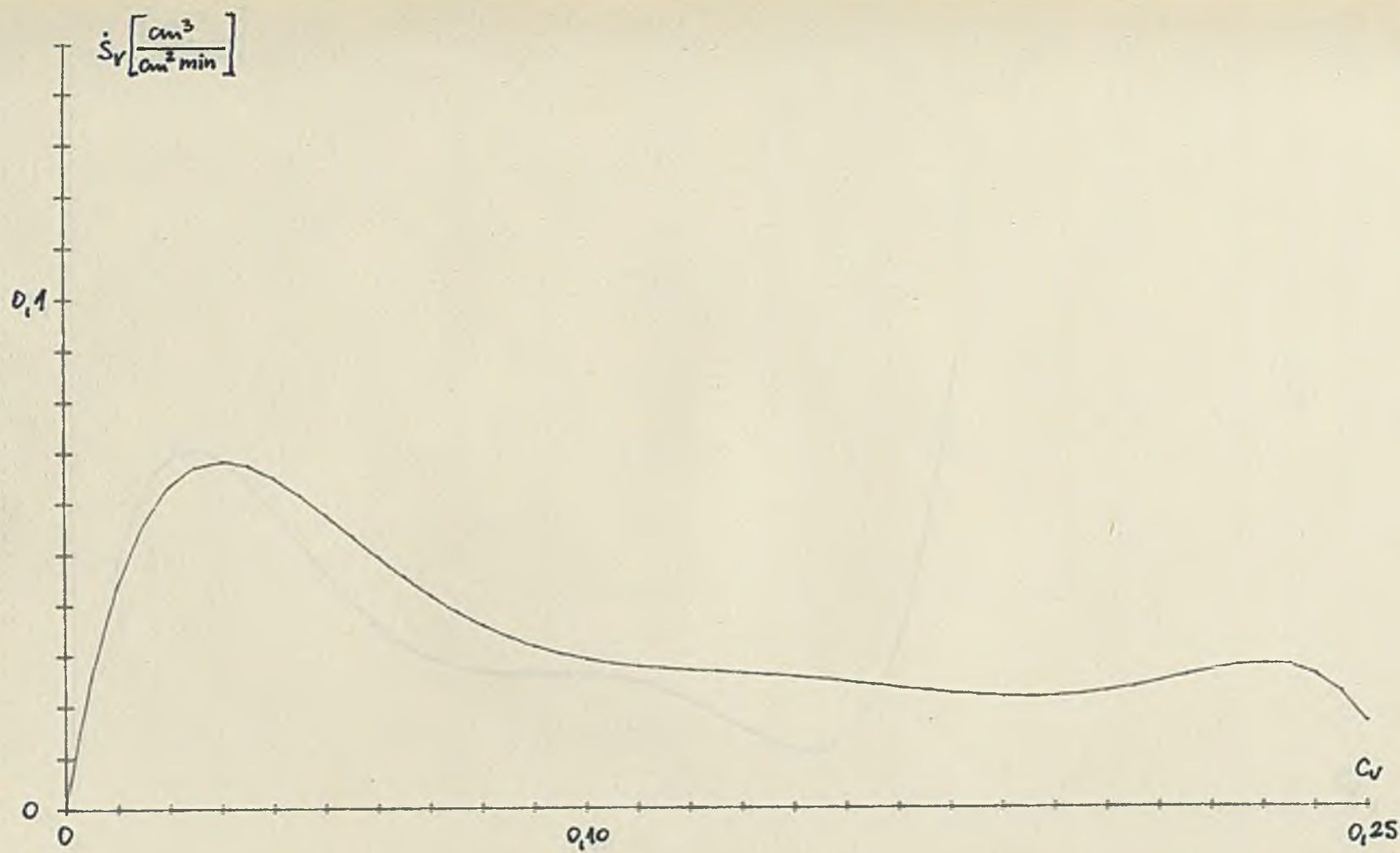
Metoda powyższa jest prostsza i łatwiejsza w interpretacji przy pomocy okółka i linijki od metody Gee Clevengers, gdyż krzywa \dot{S}'_v zależy tylko od właściwości zasoleniny. W związku z tym na jednym wykresie można rozpatrzyć różne układy wartości C_{vw} i S_v rysując odpowiednie proste ruchowe.



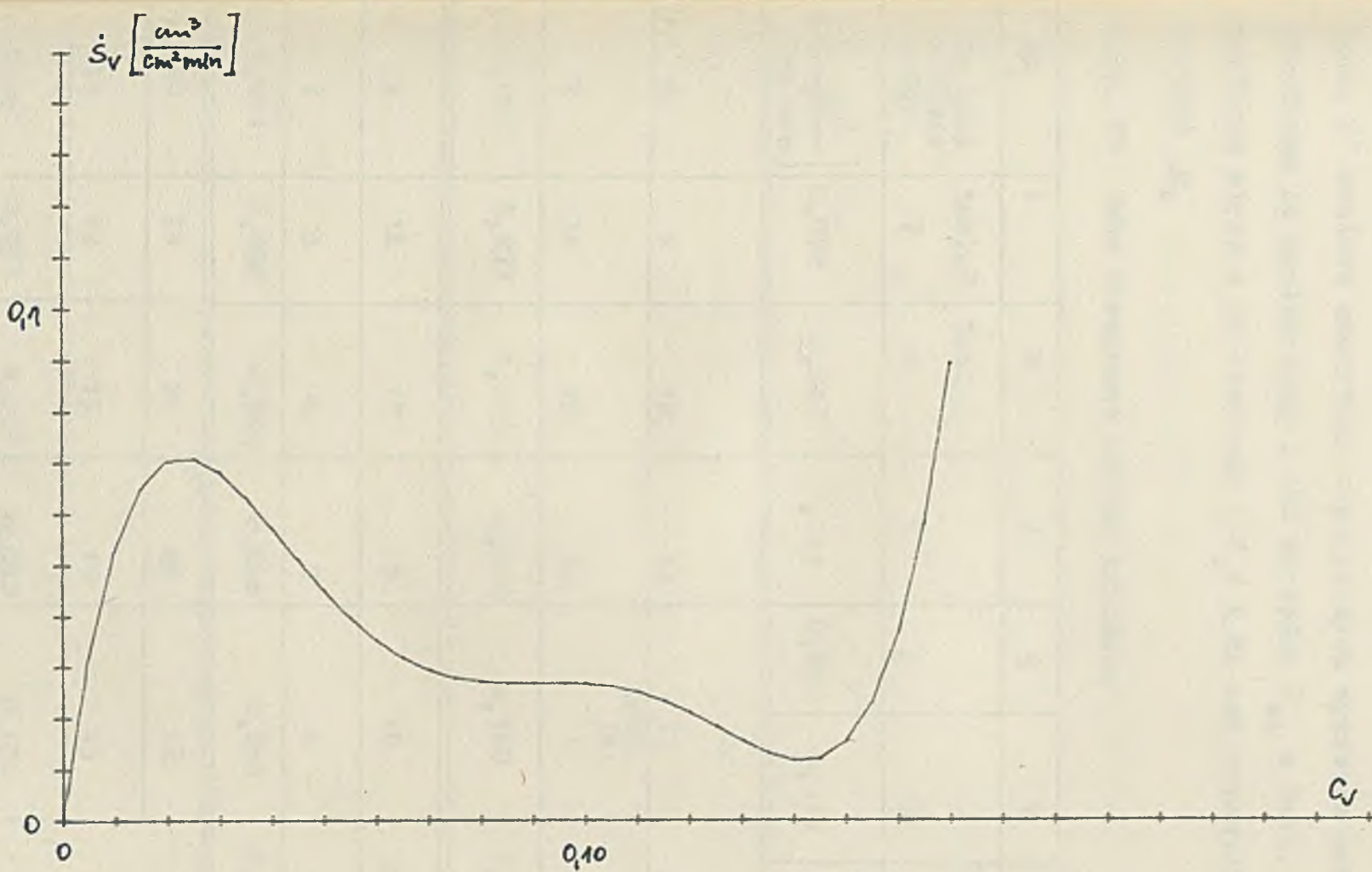
Rys. 26 Krzywa $\dot{S}_V / \sqrt{C_V}$ dla danych z tabl. 6



Rys. 27 Krzywa \dot{S}/C_V dla danych z tabl. 10.



Rys. 28 Krzywa S_V/C_V / dla danych z tabl. 12



Rys. 29 Krzywa \dot{S}/C_V dla danych z tabl. 16

Ryn. 26-29 prezentują krzywe S_v^1/C_v dla danych z tabl. 8, 10, 12, i 16.

Tabl. 24 zawiera odczytane z powyższych wykresów wartości g_v .

Otrzymano je następująco : dla wartości C_{vw} z tabl. 7, 9, 11 i 15 kreślono styczne do krzywych S_v^1/C_v i na osi rzędnych odcinano wartość g_v .

tabl. 24. Dane otrzymane metodą japońską

lp	1	2	3	4	5	6	7
Nr tabl i obser- wacji	tabl. 7	tabl. 9					tabl. 11
	7	2	5	6	7	9	1
g_v [$\frac{cm^3}{cm \cdot min}$]	0,072	0,094	0,113	0,093	0,112	0,077	0,071
lp	8	9	10	11	12	13	14
B					tabl. 15		
2	14	15	32	1	2	3	
g_v	0,084	0,057	0,063	0,090	0,100	0,068	0,058
lp	15	16	17	18	19	20	21
4	5	6	7	8	9	10	
g_v	0,061	0,056	0,054	0,068	0,064	0,062	0,062
lp	22	23	24	25	26		
11	12	13	14	15			
g_v	0,061	0,053	0,052	0,050	0,050		

wyniki sprawdzenia doświadczalnego powyższej metody zawiera tabl. 24.

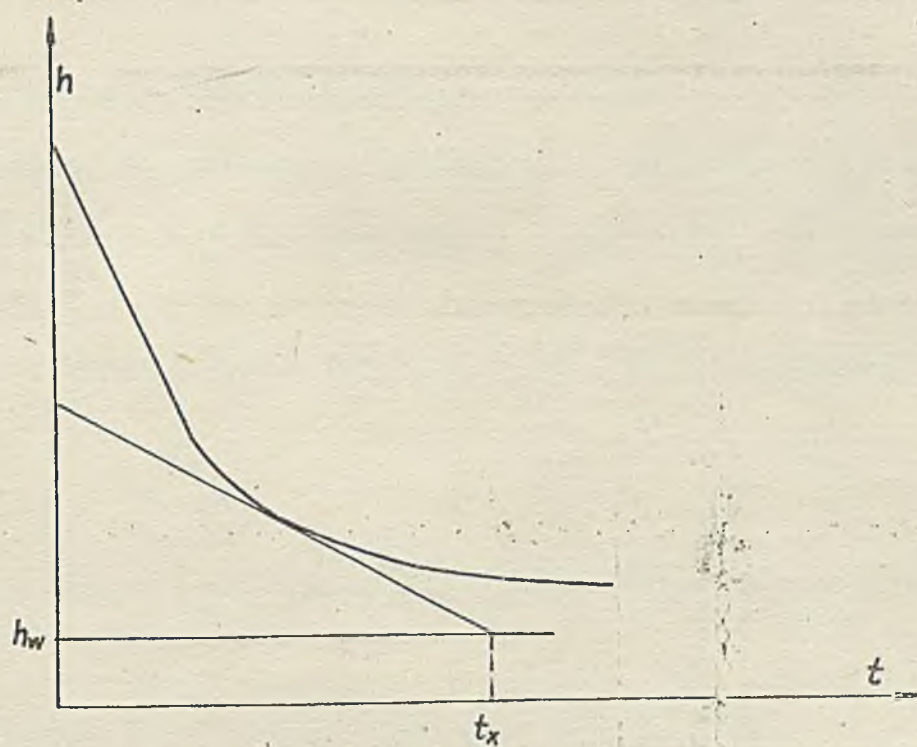
2.2.3 Metoda Kynche [69] ..

Poniższa metoda jest wykorzystywana głównie przez projektantów z dziedziny inżynierii sanitarnej.

W celu określenia powierzchni osadnika należy wykonać pomiar krzywej sedymentacji dla stężenia początkowego równego stężeniu zasolenia. Otrzymane wyniki przedstawić w postaci klasycznej krzywej sedymentacji. /Rys. 30/ W punkcie nejszybszej zmiany pochylenia krzywej wykreślić styczną. Poprowadzić linię h_w równoległą do osi czasu

$$h_w = \frac{h_0}{w}$$

Punkt przecięcia obu linii określa szukany czas t_x . Szukaną powierzchnię sedymentacji obliczamy z równań/90/.



Rys. 30 Istota metody Kynche

Do tak obliczonej powierzchni A autor [69] zaleca wprowadzenie przeniesienia współczynnika skali 1,2-1,5.

W tabl. 22 umieszczono wyniki pośrednie uzyskane z zastosowania powyższej metody dla danych odczytyanych z wykresów /Rys. 31-33/

tabl. 22 Wyniki metody Kyncha^{*/}

Lp	1	2	3	4	5	6
Nr tabl. i obser- wacji	tabl. 7	tabl. 9	tabl. 11			
7	6	1	2	14	15	
h_w [cm]	16	9,9	5,3	6,2	9,5	11
t_x [min]	14	4	9	5	3,5	28

*/ Autor tej metody nazwał ją metodą Kyncha

Wyniki sprawdzenia doświadczalnego powyższej metody zawiera tabl. 24.

2.2.4 Metoda Telmoge'a Fitcha [1,70].

Jeżeli spełnione są postulaty Kyncha, a stężenie C_w jest mniejsze od koncentracji w punkcie kompresji, to czas t_x można wyznaczyć następująco:

Rysunkiem krzywą sedimentacji dla h_0 i C_0 /Rys. 34/. Obliczyć

$$h_w = \frac{h_0 C_0}{C_w} .$$

Funkcja przecięcia linii h_w i krzywej sedimentacji wyznacza wartość t_x/h_w .

* tabl. 23 przedstawiono wyniki odczytane z Rys. 31-34.

35 [h [cm]]

- 95 -

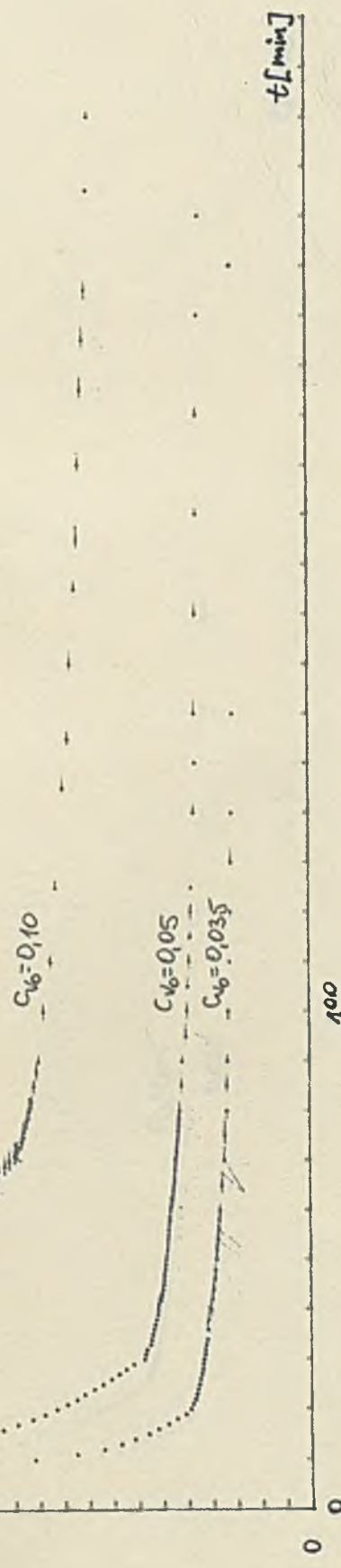
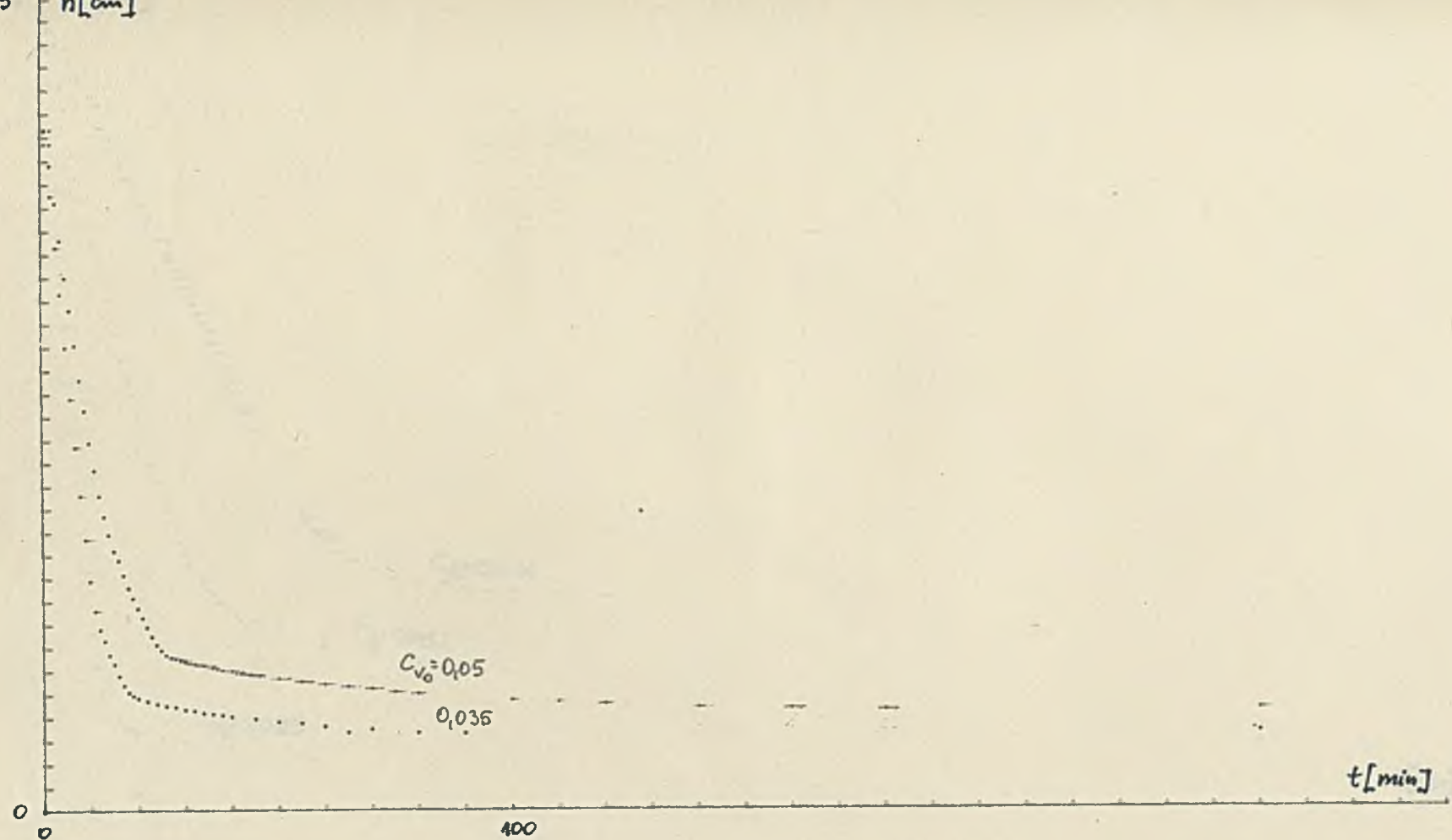


Fig. 3: Xerjne sedimentacija s [16]

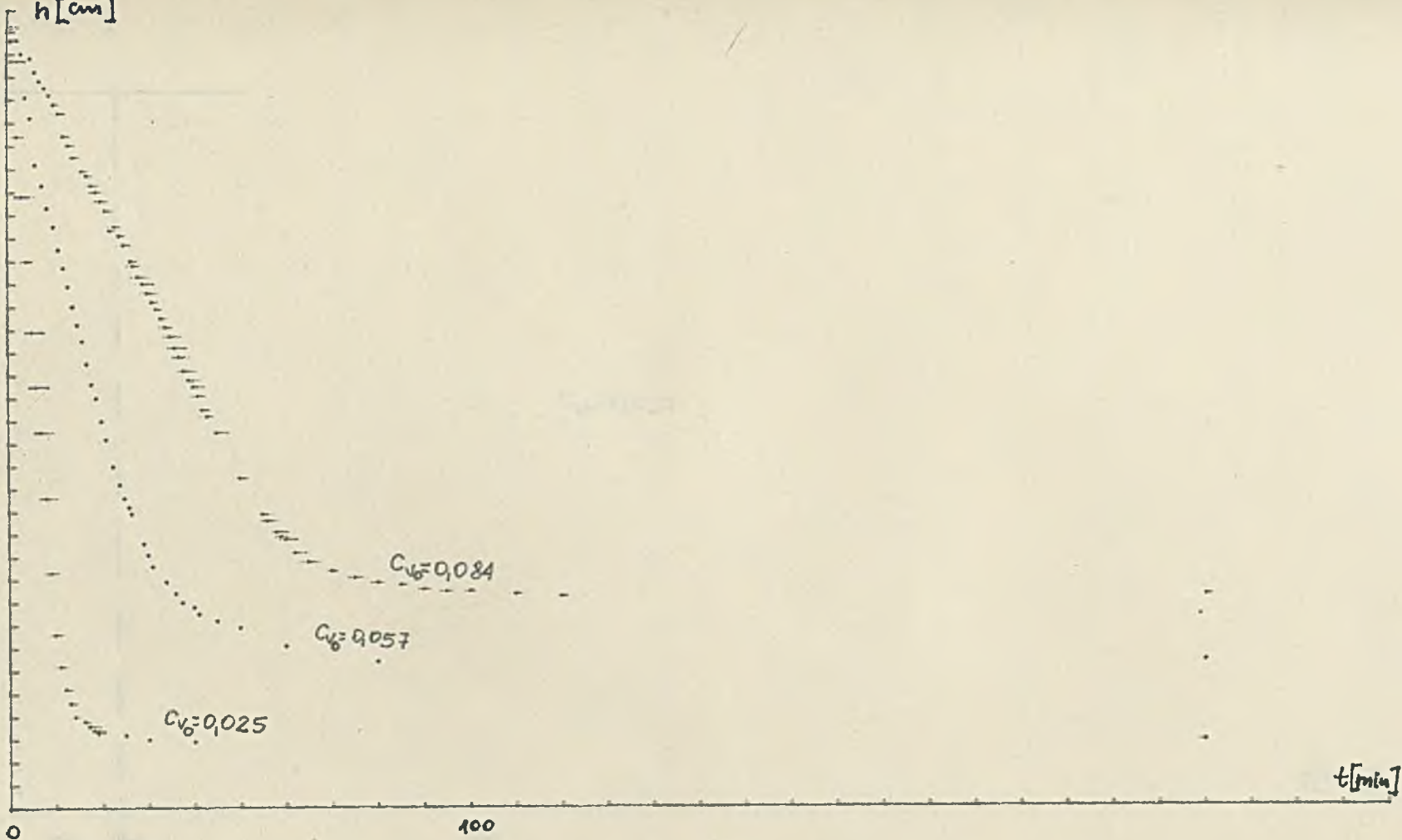
35

$h[\text{cm}]$

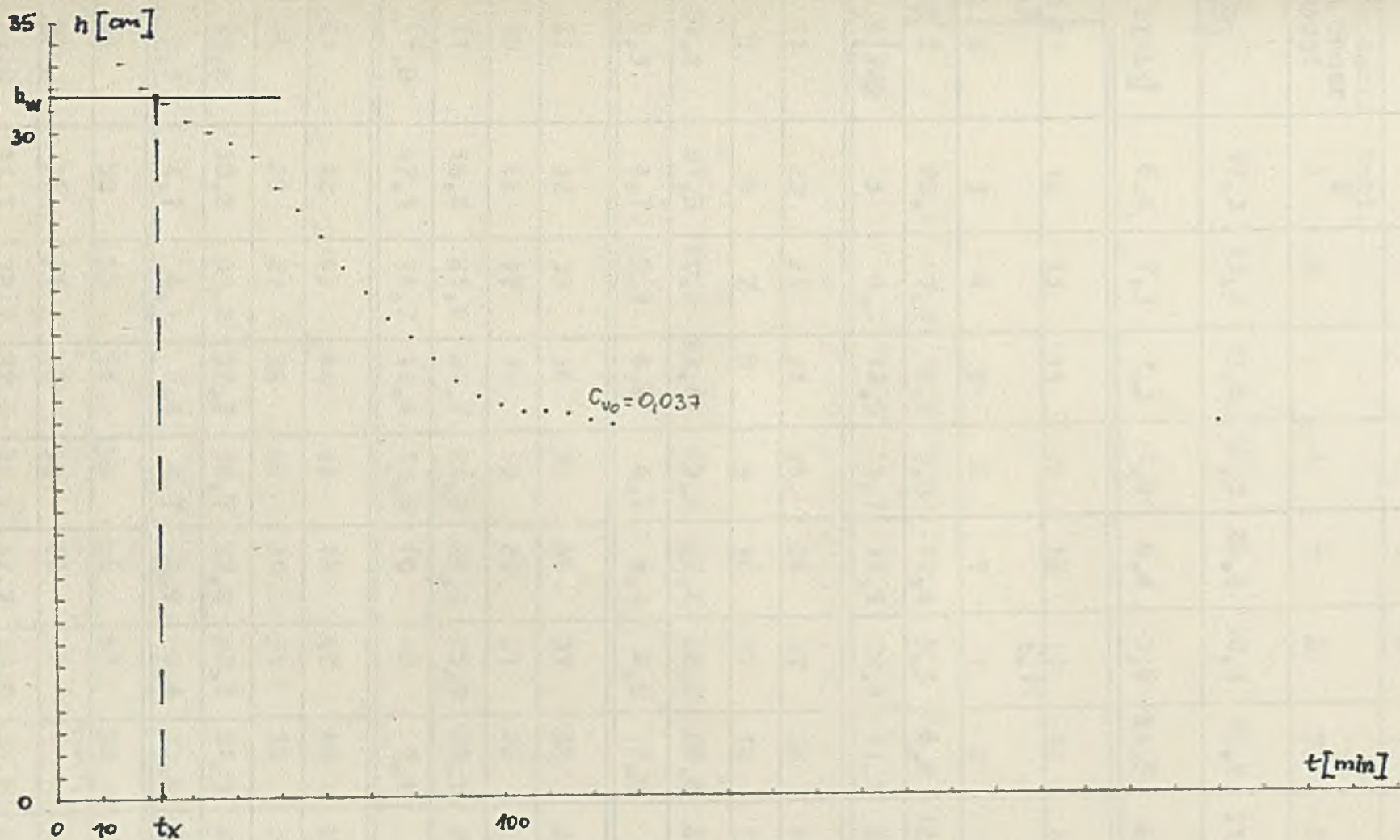


Rys. 32 Wykresy krzywych sedymencacji dla [38]

35

 $h[\text{cm}]$ 

Rys. 33 Wykresy krzywych sedimentacji dla [56] kredy



Rys. 34 Krzywa osadymentacji dla rozwiązania dicalitu w wodzie [56]

tabl. 23 Wyniki uzyskane metodą Talmage'a Fitcha.

Ap	1	2	3	4	5	6	7	8	9
Nr tabl. 1 obser- wacji	tabl. 8 1	2	3	4	5	6	7	8	9
h [cm]	17,3	13,2	15,6	16,3	26,8	30,1	16,0	31,4	25,4
t _x [min]	6,4	7,3	7,3	11,9	6,4	3,6	54,5	6,4	20,9
10	11	12	13	14	15	16	17	18	19
t,9							t,11		
1	2	3	4	5	6	7	1	2	3
25,2	7	20,1	17,0	12,5	9,9	12,4	5,3	6,2	12,7
2,6	125	5	8,3	12,5	16,7	12,5	12,4	11,2	8,2
21	22	23	24	25	26	27	28	29	30
5	6	7	8	9	10	11	12	13	14
20,4	21,3	20,8	22,4	25,0	28,2	28,2	26,2	29,2	9,5
5,3	4,7	5,3	4,7	4,7	4,1	2,9	2,9	2,4	38,8
31	32	33	34	35	36	37	38	39	40
15	16	17	18	19	20	21	22	23	24
11	18,9	21,2	22,7	24,0	25,9	25,9	28,1	28,1	30,7
31,8	17,1	14,7	12,4	11,8	10	10	7,1	7,1	4,7
41	42	43	44	45	46	47	48	49	50
25	26	27	28	29	30	31	32	33	34
29,8	30,2	31,2	32,7	30,7	32,2	32,7	21,9	26,3	28,3
5,3	4,7	4,1	2,4	4,7	2,9	2,4	33,5	21,8	15,9
51	52	53	54	55	56	57	58	59	60
35	36	37	38	39	40	41	1	2	3
32,0	31,3	32,7	32,0	32,3	32,7	33,0	31,6	34	34
7,6	9,4	5,9	7,6	6,5	5,9	4,7	25,9	10	10

61	62	63
4	5	6
33,2	34,5	34
15,3	5,9	10

Wyniki sprawdzenia doświadczalnego powyższej metody zawiera tabl. 24

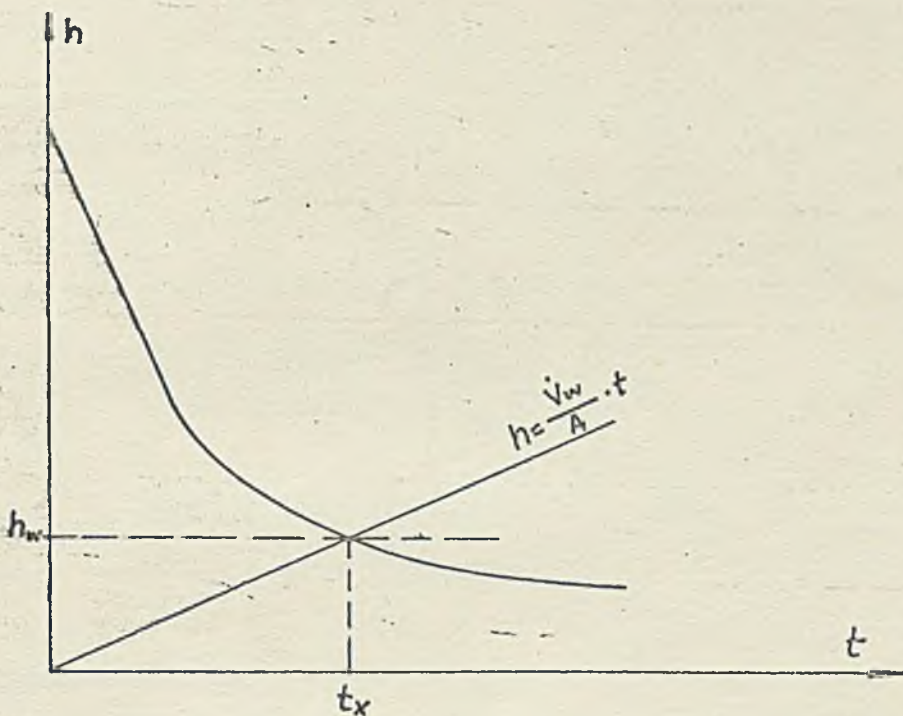
2.2.5 Metoda Marta, Ziolk [71-73].

W celu obliczenia powierzchni osadnika należy znaleźć maksimum wyrowadzonego przez autorów następującego wyrażenia :

$$A = \frac{\frac{V}{z} \frac{C}{Vz} - \frac{V}{h_0} \cdot h/t/}{\frac{d h/t/}{dt}} + \frac{V}{h_0 \text{ max}}$$

gdzie t i $h/t/$ wyznacza krzywa sedimentacji. Ponieważ powyższa metoda jest bardzo pracochłonna, gdyż wymaga różnicowania $\frac{dh}{dt}$ wzdłuż całej krzywej sedimentacji, której postać analityczna nie jest znana, autorzy przekształcili ją, upraszczając znaczenie procedury. Czas t_x wyznacza punkt przecięcia się krzywej sedimentacji z linią $h_w = \frac{h_0}{w} t$ lub linią $h/t/ = \frac{V}{A} \cdot t$ /Rys.35/

Metoda powyższa jest interesująca choćby z tego względu, że jej procedura jest jednokrota dla $C \leq C_{kr}$ i $C > C_{kr}$. W zakresie stężeń $C \leq C_{kr}$ tj rozważanym w niniejszej pracy sprawdza się ona do metody Talmaga'a Pitch'a.



Rys. 35 Rozwinięta metoda Marti, Zioły.

2.2.6 Porównanie metod obliczania powierzchni segmentacji operacyjnych procedury graficzne.

Porównanie poniższe oparto na tych samych parametrach jak w rozdziale 2.1. Wzięto pod uwagę dane z tabl. 7, 9, 11, 13, 15 i 21-23. Uzyskane wyniki zamieszczone w tabl. 24. Wynikające z metody Coe i Clevengers przepisano z tabl. 19 / tu pozycja 1a/ oraz z tabl. 20 / tu pozycja 1b/. Dodatkowo wykonano sprawdzenie metody Coe Clevengersa dla tych samych punktów powierzchni co dla metody japońskiej /pozycja 1c/.

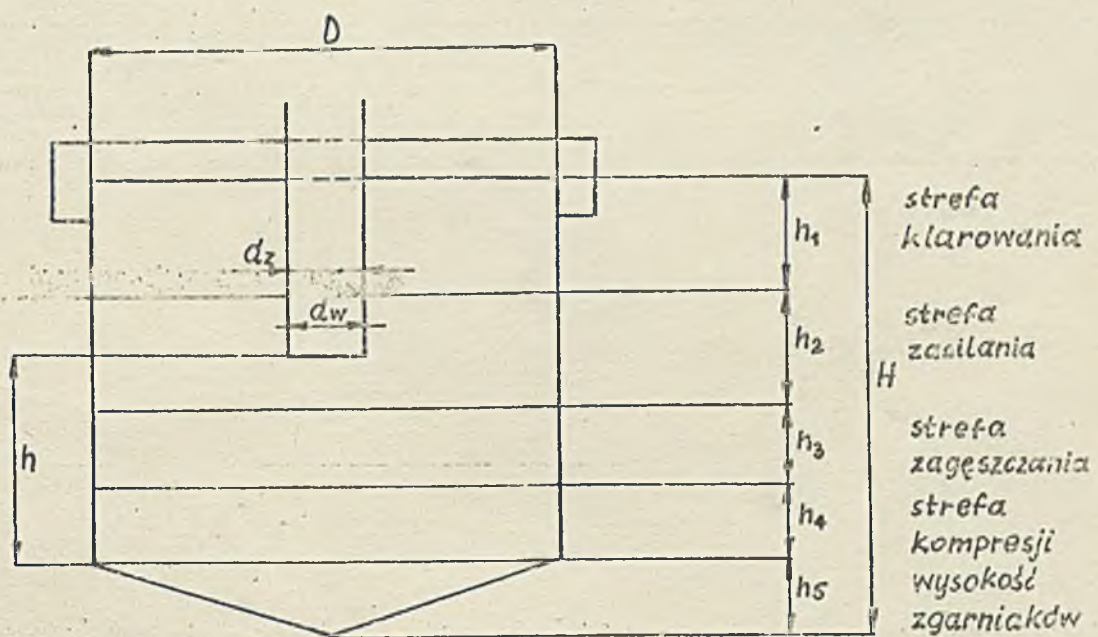
tbl. 24 Porwanie rezultatów metod wykorzystujących procedury graficzne.

Lp	Metoda	\bar{A}	G	A_{\max}	A_{\min}	$\bar{\alpha}$	n
1.	Coe Clevenger'a a/	0,7622	0,3993	2,4983	0,1591	1,580	82
	b/	0,8326	0,5007	3,2839	0,1591	1,548	82
	c/	0,9106	0,2508	1,4598	0,6177	1,162	26
2.	japońska	0,9043	0,2427	1,4378	0,6282	1,165	26
3.	Kyncha	0,6649	0,5359	1,2837	0,2409	2,069	6
4.	Talmage e Fitcha /Werty Ziczy/	0,8074	0,4963	3,2773	0,1879	1,550	63

Napodstawie przedstawionych powyżej danych można spróbować wytłumaczyć przyczyny stosunkowo dużego rozrzutu G zauważone w metodach rechnkowych jak i tzw. graficznych. Zasadnicze, to prace osadnika przy niecałkowitym wykorzystaniu powierzchni sedymentacji. Wyeliminowanie tego powodu jak w metodzie japońskiej daje radykalną poprawę G . Z kolei metoda ta eliminuje z rozkładu ok. 60 % reszty istniejących stanów stacjonarnych pracy osadnika. Małeły zauważysz, że punkty doświadczalne, dla których można było zastosować metodę japońską, odpowiadają liniom, na wykresie Coe Clevengera, dla których minimum globalne występuje wewnątrz przedziałku stóp / C_{vs}, C_{vv} /.

3. Wysokość osadnika.

Każdy pracujący osadnik ciągły wymaga do realizacji zachodzących w nim procesów odpowiedniej powierzchni i wysokości. O ile powierzchnię operatu wyższa niż proces najwolnijszy, to wysokość musi być sumą wysokości poszczególnych stref aktualnie występujących w operacie oraz zawierać pewną rezerwę umożliwiającą elastyczną pracę urządzeń w razie wystąpienia zakłóceń. Na Rys. 36 przedstawiono schemat rozkładu stref w osadniku.



Rys. 36 Schemat rozkładu stref w osadniku.

Należy podkreślić, że w spłecie pracującym w instalacji przemysłowej strefy przedstawione na powyższym rysunku mogą wystąpić w innych proporcjach bądź nie wcozatki na raz.

Z rozważań teoretycznych Campe [1] czy Macheja [74] wynika, że dla idealnej zawiesiny w idealnym spłecie wysokość strefy zagęszczania nie ma wpływu na powierzchnię sedimentacji.

Natomiast wysokość strefy kompresji jest bardzo istotnym parametrem wpływającym na stężenie wyłotowe / o ile ma być one większe od stężenia punktu krytycznego / [4,71]

Zgodnie ze wstępem poniższe propozycje /tabl. 25/ dotyczą przypadków gdy dla danyh zawiesin zachodzi opadanie skrępowane z granicą metności. Część z nich oparta jest o doświadczenia ruchowe, część o rozważaniach teoretycznych, reszta o analizie podobieństwa i doświadczenia modelowe.

tabl. 25 Zestawienie wzorów na wysokość osadnika radialnego.

Wzór	Uwagi	Autor i źródło
5.1 $H = h_1 + h_4 + h_5 + h_6$	$h_1 = 0,3-0,9 \text{ m}$ $h_5 = 0,3-0,6 \text{ m}$ $h_6 = 0,3-0,6 \text{ m}$ - w celu pokrycia przerw lub nierównomierności ze i rozkładanku	Brown [9] 220 [7]
5.2 $H = h'_1 + h'_2 + h'_5$	$h'_1 = 0,45-0,75 \text{ m}$ - wysokość strefy opadania swobodnego $h'_2 = \frac{G}{q}$, q średnie ciśnienie - h'_5 - wysokość strefy szlamu	Pikoń [80]
5.3 $H = h'_1 + h'_2 + h'_5$	$h'_1 = 0,45-0,75$ - strefa op. swobodnego $h'_2 = \frac{V}{A} \frac{t_x}{w_w} \frac{x_w}{x}$ - strefa zagęszczania $h'_5 = 0,146 \cdot \frac{D}{2}$ - strefa szlamu	Bryszewski Firewicz [79]
5.4 $h_4 = \frac{G}{X} / t_x - t_{kr} / \left(\frac{m_{kr} + m_w}{\rho_c} + \frac{1}{\rho_s} \right)$	$m = \frac{1}{X}$	Battaglia Taggart [14]

Lp

wzór

Uwagi

Autor i źródło

25.5

$$H = K_1 \cdot \frac{V}{A} + K_2$$

$$K_1 = 1,75 \text{ m} \quad K_2 = 1,5-3 \text{ m}$$

$$V_c = \frac{\dot{m}_c g_a}{\rho_a} / t_x - t_{kr} + \frac{\dot{m}_c g_a}{\rho_a} \int_{t_{kr}}^{t_x} \frac{m_c}{m_a} dt$$

m_c - masa cieczy w strefie kompresji

m_a - masa cieczy stałego w "

$$V_c = \frac{g_a}{h_o} / 2 \int_{t_{kr}}^{t_x} h dt + h_{kr} t_{kr} - h_x t_x /$$

Merts Zioło [71]

25.5a

$$h = d \cdot 0,572 Re^a \left(\frac{H}{d} \right)^{-1,431} \left(\frac{h}{d} \right)^{2,341}$$

h - wysokość strefy zawirowej
osadnik z tarczą odbijającą

$$a = 0,180 \left(\frac{h}{H} \right)^{-0,675}$$

osadnik bez tarczy odbijającej

$$a = 0,194 \left(\frac{h}{H} \right)^{-0,675}$$

h - wysokość strefy zawirowej
osadnik z tarczą odbijającą

Niemiec [77]

25.7

$$h = d \cdot 0,987 Re^a \left(\frac{H}{d} \right)^{-1,924} \left(\frac{h}{d} \right)^{2,487}$$

$$\frac{h}{d} = C_1 \left[Re^{C_2} \cdot a \left(\frac{H}{d} \right)^{C_3} \left(\frac{h}{d} \right)^{C_4} \left(\frac{\eta}{\eta_w} \right)^{C_5} \left(\frac{D}{d} \right)^{C_6} \right] \frac{H}{d}$$

$$C_1 = 3,274, C_2 = 0,067, C_3 = -0,092 \\ C_4 = 0,1417, C_5 = -0,0053, C_6 = -0,024$$

Kochaj, Pieg,
Wojciech [77]

Lp	Wzór	Uwagi	Autor i Źródło
25.7 c.d.	$\frac{h}{d} = C_1 \left[Re^{C_2 \cdot s} \left(\frac{h}{d} \right)^{C_3} \left(\frac{h}{d} \right)^{C_4} \left(\frac{\eta}{\eta_w} \right)^{C_5} \left(\frac{D}{d} \right)^{C_6} \right]^{\frac{h}{d}}$	$s = 0,0277 \left(\frac{V}{V_o} \right)^{-0,529} \left(\frac{\eta}{\eta_w} \right)^{0,156}$ V_o - objętość jednostkowa $V = \frac{\pi D^2}{4} \cdot h \quad Re = \frac{4V \rho}{\pi d \eta}$ osadnik bez tarczy odbijającej $C_1 = 1,003, C_2 = 0,0679, C_3 = -0,5182$ $C_4 = 0,1567, C_5 = -0,0081, C_6 = 0,3536$ $s = 0,0052 \left(\frac{V}{V_o} \right)^{-0,529} \left(\frac{\eta}{\eta_w} \right)^{0,156}$	107
25.8	$\frac{h}{d_e} = A_1 Re_z^{B_1} Re_p^{C_1 + A_2 Re_z^{B_2}} \left(\frac{h}{d_e} \right)^{D_2}$	h - wysokość granicy masywności $Re_z = \frac{4V \rho}{\pi d \eta}, \quad Re_p = \frac{4V_p}{\pi d_2} \frac{\rho_0}{\eta_c}$ $d_e = D - d_z, \quad \frac{D}{d} = 11 \frac{2}{3}, 8$ $A_1 = 7,763 \cdot 10^{-4}, \quad B_1 = 0,8404$ $C_1 = 7,973 \cdot 10^{-2}, \quad D_1 = 1,369$ $A_2 = 0,09, \quad B_2 = 0,10, \quad D_2 = 0,06$	Kreft, Pieckarski [56]

Jak widać z powyższej tabeli wzory 25.1-25.5 mają charakter orientacyjny. Wzory 25.6-25.8 pochodzą z badań cieczy czystych, stąd powinny dawać wyniki bezpieczne.

Obecnie najbardziej godnym polecania spośród przedstawionych powyżej wadza się wzór 25.8, gdyż oparty jest o analizę podobieństwa i badania modelowe oraz był sprawdzony dla zawiesin [56].

Bardzo ważnym problemem wymagającym dalszych badań, jest rozwiązywanie hydrauliki zasilania [75-78] . otrzymanych do tej pory rezultatów wynika, że najkorzystniejszym umiejscowieniem zasilania jest położenie centralne w aparacie, a optymalny stosunek średnicy osadnika do średnicy rury zasilającej równy jest $\frac{D}{d} = 11$.

W niniejszej pracy proponuje się następujący tok obliczeń wysokości osadnika :

1/ Obliczyć powierzchnię sedimentacji

2/ przyjąć $\frac{D}{d}$ ($\frac{D}{d} = 11$)

3/ Z bilansu masywnego obliczyć wartości Re_x & Re_p

4/ Zatoczyć wysokość wyłotu rury centralnej h

5/ Ze wzoru 25.8 obliczyć wysokość granicy mimości h'

6/ Punkt 4 i 5 powtarzać tak długo dopóki $h' < h$

7/ Skożyć wysokość strefy klarowania / z propozycji Browna [9]

$h_1 = 0,3 - 0,9 \text{ m/}$

8/ Wysokość mniejszą h_2 obliczyć za wzoru $h_2 = 0,146 \cdot \frac{D}{d}$

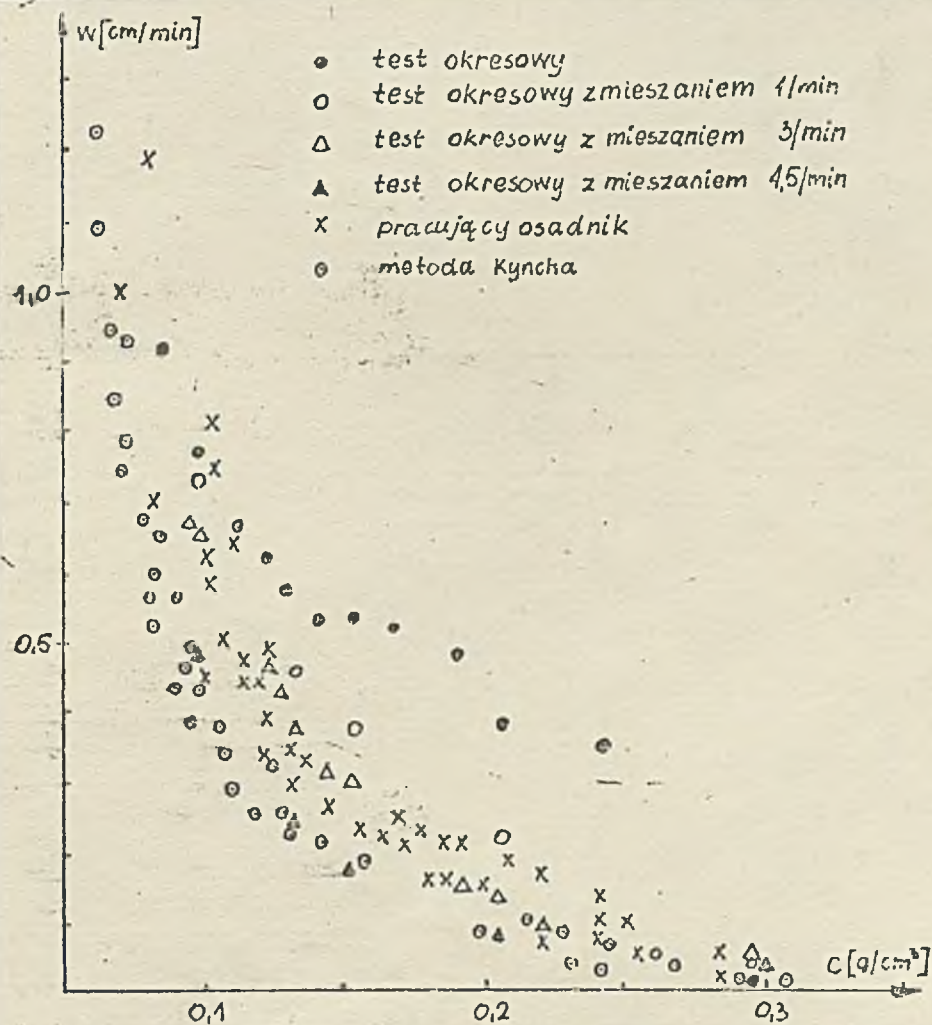
9/ Całkowita wysokość osadnika jest równa $H = h' + h_1 + h_2$

4. Uwagi własne do projektowania osadników.

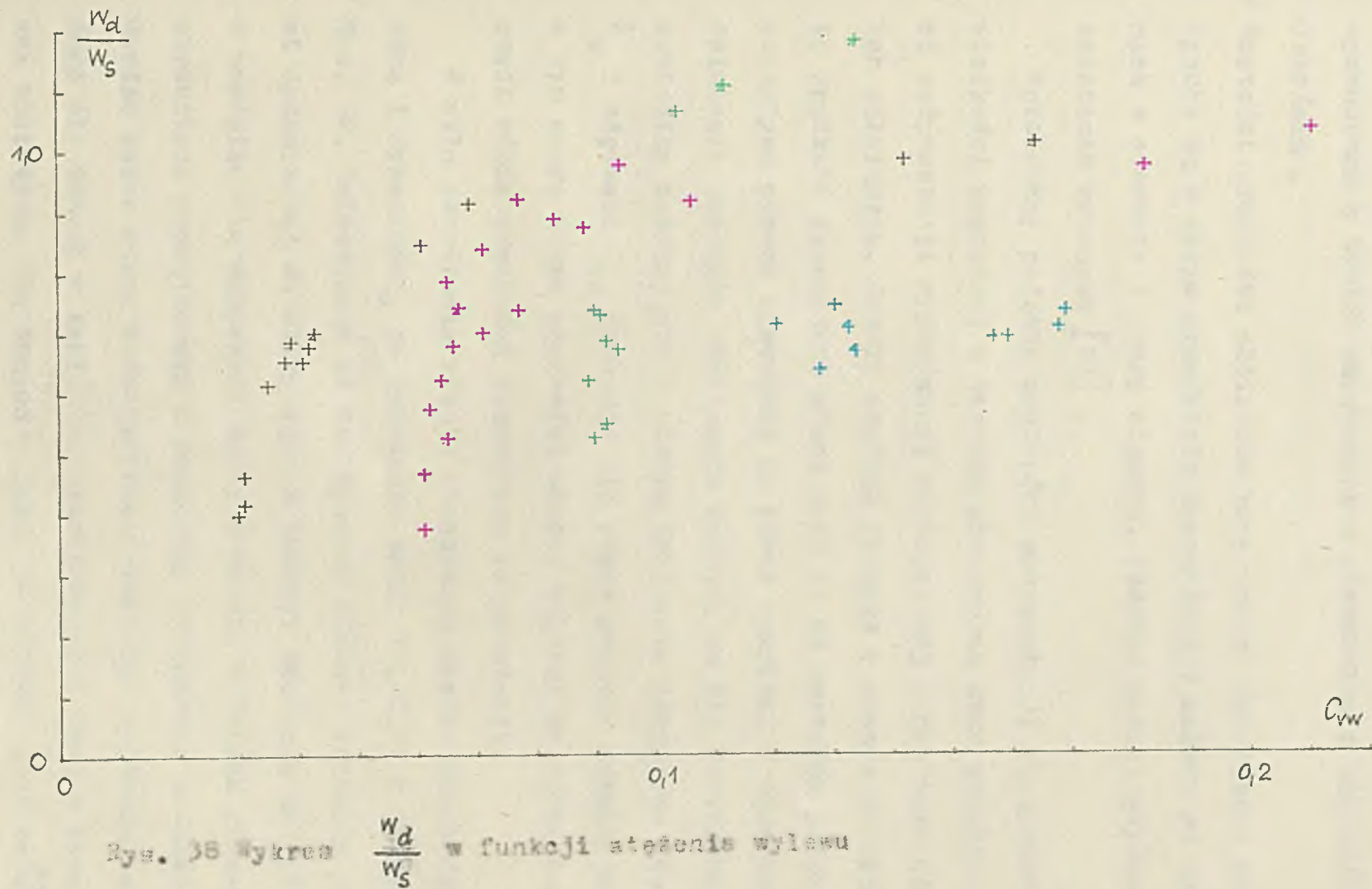
W celu obliczenia wartości pola powierzchni osadnika, w zakresie stężeń opadania skreślonego, należy do wzoru 6.1 /tabl.6/ podstawić prędkość sedimentacji. Jeśli prawdziwe jest stwierdzenie, że parametr ten dla konkretnej zawiesiny zależy tylko od stężenia, to podstawianie do cytowanego wzoru wyników testów okresowych powinno dać dobre rezultaty. Jednak wyniki sprawdzenia doświadczalnego metod obliczenia powierzchni /rozdz. 2/ sugerują naszym zdaniem istnienie innych wpływów na prędkość opadania.

Bardzo interesujące badanie w tej dziedzinie przeprowadził Scott. [81] dla zawiesin pirofilitu. Porównał on wyniki testów okresowych z mieszaniem i bez mieszania, z wartościami otrzymanymi graficzną metodą Kyncha i wynikami uzyskanymi dla pracującego osadnika całego. Otrzymane przez autora rezultaty przedstawia

Rys. 37.



Rys. 37. Prędkości sedimentacji zawiesin pirofilitu



Rys. 38 Wykres $\frac{W_d}{W_s}$ w funkcji stężenia wylewu

Z analizy tego rysunku wynika :

- 1/ Najblitsze predkoscia wystepujaca w osadniku jest predkoscia wyznaczona z testow okresowych z mieszaniem z szybkoscia 300r/min.
- 2/ Wartoosci predkoscia obliczone przy pomocj graficznej metody Syncha sa w calym przedziale koncentracji nisze od wyznaczonych w spracie o pracy ciąglej. Podobne wyniki uzyskano w badaniach własnezych [41].

Wprowadzmy pojęcie predkoscia sedymencacji statycznej jako wielkości mierzonej w testach okresowych oraz pojęcie predkoscia sedymencacji dynamicznej wystepujacej w osadniku ciągłym lub półciagłym. Jeżeli osadnik pracuje w stanie ustalonym, to predkoscia dynamiczna różna jest co do wartosci predkoscia przepływu cieczy klarownej ku górze aparatu. Z obserwacji działania osadnika modelowego wynika, że dla konkretnej zawiesiny zasilającej o stałym natężeniu przepływu zasilenia V_z i stęzeniu C_{vz} uzyskuje się różne poziomy granicy mątkości a tym samym różne predkoscia cieczy czystej ku górze aparatu czyli różne predkoscie dynamiczne sedymencacji.

W celu określenia różnic liczbowych między predkoscia statyczną i dynamiczną na podstawie tabl. 11, 12, 15 i 16 wykonano rys. 38. Umieszczono na nim wykresy śladowe stosunku predkoscia dynamicznej do statycznej w funkcji stęzenia na wylewie z osadnika dla suspenzji kredy w wodzie o trzech różnych stęzeniach poczatkowych i zawiesiny krzemionki w wodzie. Bardzo łatwo można zidentyfikować wartości stęzenia poczatkowego dla danych z tabl. 11, przedłużając wykres w kierunku osi odciętych. Dla danych z tabl. 15 /Scott/ jest to nie możliwe z uwagi na zbyt mały zakres stężeń wylotowych.

Bardzo interesującym zjawiskiem zaobserwowanym podczas analizy Rys. 38 jest to, że prędkość dynamiczna może być większa od statycznej. Stwierdzenie to jest zgodne z wnioskiem wyciągniętym przez Scotta z analizy Rys. 37.

4.1 Propozycje algorytmu projektowania osadników.

Do obliczenia powierzchni sedymentacji najczęściej używa się jednej z metod rechunkowych opisanych w rozdziale 2.1 niniejszej pracy, wykorzystując zwykłe wartości prędkości opadania uzyskane z pomiarów krzywej sedymentacji. Naszym zdaniem właściwsze jest zastosowanie w tym przypadku metody japońskiej /rozdział 2.2.2/, która mimo korzystania z prędkości statycznej w pewien sposób śledzi dynamiczny proces, określając dopuszczalne obciążenie jednostki powierzchni opadania $g_v \max$. Jeżeli projektant ma do dyspozycji modelową instalację doświadczalną, a istnieje potrzeba uzyskania dużej dokładności wyników, wtedy w niniejszej pracy zaleca się wykorzystanie do projektowania omówionego w rozdziale 4 pojęcia dynamicznej prędkości sedymentacji.

4.1.1 Wstępne stadium projektowania /tzw. koncepcja/.

W projektowaniu można wyróżnić szereg etapów. Stadium koncepcji to etap wstępny, podczas którego odbywa się wybór typu sparetu do danej technologii oraz oszacowanie jego wymiarów. Dla tej części procesu projektowania w niniejszej pracy zaleca się następujący przybliżony sposób postępowania :

- 1/ Na podstawie danych doświadczalnych uzyskanych z pomiarów w rurze sedymentacyjnej lub metodą graficzną Lynch'a bądź też ze wzoru /65/ określić funkcję $w=w/g_v$ /

2/ Wykreśl i wykres $\dot{S}_v = \pi C_v$ /jak na Rys.25-29/

3/ W zależności od zadanego parametrów projektowych zapiszmy metodą japońską określid g_v i obliczyć powierzchnię

$$\Delta K_1 = \frac{\dot{V} C}{g_v} \quad \text{oraz} \quad \Delta K_2 = \frac{\dot{V}}{\pi C_{vz}} / \quad \frac{C_{vw} - C_{vz}}{C_{vw} + C_{vp}}$$

$$/K_1 = 1,3, K_2 = 1,6/$$

Jako powierzchnię aparatu wybrać wartość A większą

4/ Wysokość osadnika obliczyć jak podano w rozdziale 3

Sposób poszczególny ma tę zaletę, że już na wstępie procesu projektowania pozwala zorientować się w zakresie stężeń i obciążenia aparatu, a otrzymany wynik jest dość dokładny.

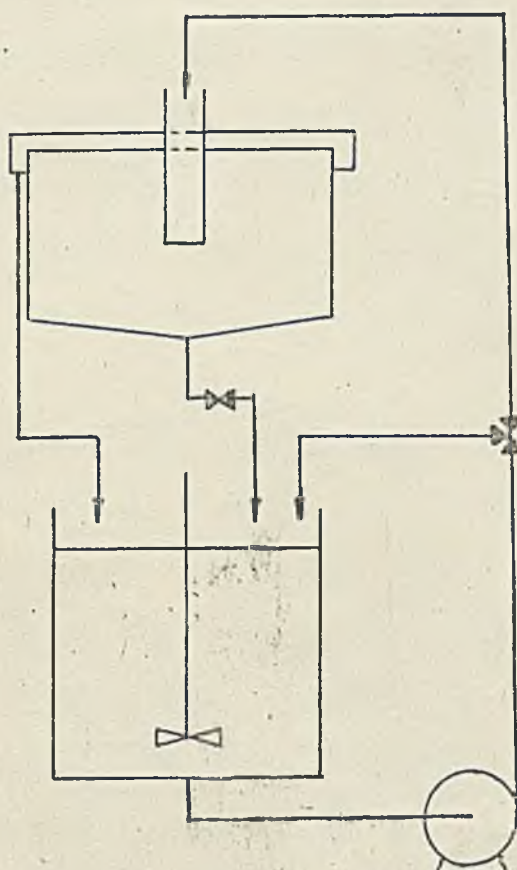
4.1.2 Etap założzeń techniczno-ekonomicznych /ZTE/.

W tym stadium procesu projektowania min. określa się dokładnie wymiary aparatów, tak aby konstruktory mogli dokonać obliczeń wytrzymałościowych i aby mógł powstać rysunek ofertowy urządzenia.

Dla tego etapu procesu projektowania w niniejszej pracy zaleca się następujący sposób postępowania :

1/ Na instalacji laboratoryjnej jak narys.39 wykonać pomiary dynamicznej prędkości sedysentacji dla warunków podobnych jak w projektowanym aparacie tzn. w przedziale stężeń zawierającym stężenie robocze. Pomiary należy dokonywać w stanie ustalonym /stałe natężenie przepływu i poziom granicy masyści/. Każdy punkt pomiarowy należy zweryfikować poprzez bilans masowy. W razie niezgodności większej niż 10 % pomiar należy powtórzyć.

2



Rys. 39 Schemat instalacji pomiarowej.

- 2/ Z otrzymanych wyników pomiarowych wykonać wykres śledowy
prędkości dynamicznej $w_d = \frac{V}{A_{lab}}$ w funkcji stężenia wylewu
dla ustalonego stężenie slotowego. Wykres ten będzie mieć ten
sam charakter co Rys. 38. Z wykresu odczytać szukaną wartość
prędkości.
- 3/ Powierzchnię osadnika obliczyć ze wzoru $A=1,6 \frac{\dot{V}}{w_d} \frac{c_{vn}-c_{vp}}{c_{vn}-c_{vp}}$
- 4/ Wysokość saperatu wyznaczyć jak w rozdziale 3.

5. Podsumowanie i wnioski

W niniejszej pracy przedstawiono analizę metod projektowania osadników radialnych dla zawiesin polidispersyjnych o stężeniu zapewniającym opadanie skrópowane z granicą mątności.

Problem powyższy wiąże się z następującymi wielkościami projektowymi : prędkością sedimentacji, powierzchnią i wysokość aparatu.

W związku z tym zacytowano zmane ujęcia matematyczne opisujące prędkość opadania skrópowanego i opatrzone je własnymi uwagami krytycznymi w oparciu o obliczenia porównawcze. Wyprosiedzono przy pomocy wartości średnich parametrów rozkładu ziernowego, oryginalny opis matematyczny prędkości sedimentacji skrópowanej.

Z przeprowadzonego sprawdzenie doświadczeniowego wynika, że spośród przedstawionych ujęcie własne w powiększeniu z równaniem Cormans-kozeczy da je wyniki najbliższe rzeczywistości.

W oparciu o dane eksperymentalne, metodą najmniejszych kwadratów otrzymano korelację stałej Cormans K^0 w funkcji udziału objętościowego ciasta stałego C_v i modułu $\frac{V}{F \cdot T}$. Otrzymany wzór na prędkość sedimentacji dobrze opisuje wpływ na tę wielkość parametrów skleju ziernowego i innych własności zawiesiny.

Odniesione również wpływ średnicy i wysokości urządzenia na prędkość opadania.

Rozważono bilans masowy osadnika ciągłego i na jego podstawie przedstawiono uzasadnione teoretycznie wzory na obliczenie powierzchni aparatu. Z dwudziestu sześciu różnych w literaturze wzorów, po uporządkowaniu i wstępnej analizie, sześć poddano sprawdzeniu doświadczalnemu w oparciu o dane bilansowe i kinetyczne pracujących w sposób ciągły osadników promieniowych. Okazuje się, że wzór klasyczny $\frac{V}{A \cdot K} = \frac{C_{vB} - C_{vA}}{C_{vB} - C_{vp}}$ ze stałą $K=1,558$

$$\frac{V}{A \cdot K} = \frac{C_{vB} - C_{vA}}{C_{vB} - C_{vp}}$$

jest najbardziej godny polecenia.

Przedstawione również i sprawdzone eksperymentalnie metody wykorzystujące procedury graficzne do określenia powierzchni sedymencji. Wśród nich godne polecenia do projektowania wydaje się metoda japońska jako względnie dokładna i dającą wstępne rozeznanie w obszarze stężeń roboczych, prędkości sedymencji i jednoaktonego obciążenia powierzchni osadzenia.

Natomiast w dziedzinie określenia wysokości osadników należy prowadzić dalsze badania, szczególnie nad warunkami hydrodynamicznymi w strefie zasilenia, gdyż dostępne wzory do obliczeń wysokości poszczególnych stref są niestety tylko szacunkowe. Do czasu wprowadzenia dokładniejszego sposobu obliczania tego parametru, można korzystać z przedstawionej w niniejszej pracy metody przybliżonej.

Dla wstępnego etapu projektowania przedstawione przybliżony sposób określenia gęstości osadnika.

Na etapie zakrończenia techniczno-ekonomicznych, gdy wymagane wyniki powinny być dokładne, poleca się wykorzystanie do obliczeń wprowadzonego w niniejszej pracy pojęcia dynamicznej prędkości sedymencji, która jest funkcją warunków panujących w osadniku ciągłym. Można ją otrzymać na bazie pomiarów na instalacji laboratoryjnej.

Z całkowitego przeprowadzonych rozważań, obliczeń i doświadczeń nasuwają się następujące oprócz wymienionych powyżej wnioski :
1/ w celu określenia funkcji prędkości opadania od stężenia zawiesiny dla układów nieflokulujących można stosować graficzną metodę Kyncha również do zawiesin polidispersyjnych w takim zakresie stężeń jaki wynika z metody zaproponowanej w niniejszej pracy,

- 2/ Należy prowadzić dalsze badanie nad zastosowaniem teorii siewisk stochostatycznych do sedimentacji,
- 3/ Dalszej analizy wymaga wpływ średnicy speratu na prędkość sedimentacji
- 4/ Trzeba kontynuować rozważanie nad następującym problemem : dlaczego wyprosowany bez uproszczeń wsłr Coe i Clevengera daje gorsze wyniki od wzoru uproszczonego,
- 5/ Należy prowadzić próby matematycznego wyprowadzenia metody japońskiej.
- 6/ Dalszych badań i analiz wymaga problem przenoszenia skali od osudników modelowych do urządzeń przemysłowych.

Należy sądzić, że powyższa propozycja spełniła założone na wstępie zadanie podsumowania obecnego stanu wiedzy w dziedzinie projektowania osudników redislnych dla zawiesin polidispersyjnych o stężeńach, w których występuje opadanie skrócone z granicą mгtności oraz określone konieczne kierunki dalszych badań w tej dziedzinie.

Literature

- [1] R.B.Fitch - "Solid / Liquid Separation Equipment Scale Up Chpt.4 Gravity Separation Equipment, Clarification and Thickening" Edited by D.S. Purchas Uplands Press LTD 1977
- [2] S.Mirza J.P.Richardson - "Sedimentation of Particles of Two or More Sizes" Chem.Eng.Sci. Vol 34 /1979/ 447-454
- [3] R.Machaj - "Ocene metod określania prędkości sedimentacji skropowanej" Inż.Chem. IV,4,641-651 /1974/
- [4] R.Koch - "Procesy mechaniczne w inżynierii chemicznej" Wyd.III Wrocław 1984
- [5] H.Brauer - "Grundlagen der Einphasen - und Mehrphasenströmungen" "Verlag Sauerländer Aarau 1971
- [6] L.Prandtl - "Dynamika przepływu" PWN Warszawa 1956
- [7] H.Zoog - "Neue Berechnungsunterlagen für die Sedimentation Kugelförmiger Teilchen" Chemische Rundschau, Sonderheft 1975,43-49
- [8] P.Grassmann "Physikalische Grundlagen der Verfahrenstechnik" Verlag Sauerländer Aarau und Frankfurt am Main 1970
- [9] C.G.Brown - "Operacje jednostkowe" PWT Warszawa 1960
- [10] L.Serwiński - "Zasady inżynierii chemicznej i procesowej" ENT Warszawa 1982
- [11] G.J.Rynch - "A theory of sedimentation" Trans. Faraday Soc. 1952, 48, 166-176
- [12] M.W. Djemura - "Projektowanie tonkostojnych ofstojników" Kijow Budiwjelniik 1981
- [13] J.M.Coulson J.P.Richardson - "Chemical Engineering" Vol 2 Wyd.III Pergamon Press London 1978

- [14] A.Batteglia "Odwadnianie produktów zzbogacania i obieg wodne płytek" WGH Katowice 1963 Wyd. II
- [15] H.S.Coe G.H.Clevenger - "Method of Determining the Capacities of Slime-Settling Tanks" Trans AIME 55 /1916/ 356-364
- [16] A.Kupka R.Nowak -"Badanie sedimentacji w osadnikach : okresowym, półciągkim i ciągłym" Praca dypl. magisterska Inst. Inż.Chem. i Bud. Apar. Pol. Śl. Gliwice 1963
- [17] F.Gierczyk A.Szczerpański - "Wpływ składu ziarnowego i stężenia ciasta stałego na przebieg sedimentacji" Praca dypl. magisterska Katedra Inst. i Bud. Apar.Chem. Politech. Śl. 1971
- [18] J.F.Richardson F.A.Shabot - "The Determination of Concentration Distribution in a Sedimentating Suspensions Using Radioactives Solids" Trans.Inst.Chem. Engrs.Vol 38, 1960, 33-42
- [19] J.Gwajha -"Analiza próbek kredy mielonej na mikroskopie skaningowym" Sprawozdanie Instytutu Inżynierii Materiałowej Politechniki Śląskiej Katowice 1984
- [20] R.Koch - "Procesy mechaniczne w inżynierii chemicznej" Wrocław 1979
- [21] N.Yoshioka T.Hotta, S.Tanske, S.Nouto, S.Tsugami -"Continuous Thickening of Homogenous Flocculated Slurries" Kegeki Kogaku 21,2/1957/ 66-74
- [22] L.O.Eklund -"The working conditions in a continuous pilot thickener at optimal load" Chem. Eng. Sci. 1976 Vol 31, 881-891

- [23] F.H.Tiller - "Novision of Kynch Sedimentation Theory" AIChE Journal Vol 27 No 5 1981, 823-829
- [24] R.Aris N.R.Wanderson "Mathematical Methods in Chemical Engineering" Prentice-Hall INC. N.J. 1973
- [25] O.Lordsche, S.Corbu - "A Stochastic approach of sedimentation" Chem. Eng. Sci Vol 41, No 10, 2589-2593, 1986
- [26] J.Siborowski - "Inżynieria Chemiczna" PWT Warszawa 1952
- [27] H.Johne - "Einfluss der Konzentration einer monodispersen Suspension auf die Sinkgeschwindigkeit ihrer Teilchen" Chemie-Ing.Techn 38 Jahrg. 1966 Heft 4, 426-430
- [28] H.Berford - "Concentration Dependence of Sedimentation Rate of Particles in Dilute Suspensions" Powder Technol 6 /1972/ 39-43
- [29] J.Gappel, H.Brenner - "Low Reynolds Number Hydrodynamics" Prentice - Hall Englewood Cliffs N.J. 1965
- [30] K.J.Scott - "Mathematical Models of Mechanism of Thickening" I BC Fund Vol 5 No 1, 1966, 109-113
- [31] P.Smolarzki - "Porównanie równań opisujących szybkość sedymentacji z geometryczną metodą Coulsona-Richardsona". Zeszyt.Nauk.Fol.śl. Chemiczny 63, 1973 61-69
- [32] P.T.Shannon, E.Stroupe, R.E.Tory - "Batch and Continuous Thickening" I BC Fund Vol 2, No 3 1963
- [33] R.Pawłczyk - "Powierzchnia międzyfazowa przy barbotażu przez poziomą, podłużną szczelinę" Praca doktorska Zakład Inżynierii Chemicznej i Konstrukcji Aparatury PAN Gliwice 1969
- [34] K.Koschaj, P.Smolarzki - "Urządzenie do badania sedymentacji i opracowywanie wyników pomiarowych" Inż.

- [35] Z.Gubka, A.Flisak - "Badanie sedimentacji przy ciągłym dopływie zawiesiny dla różnych wysokości nasycania sedimentacyjnego" Praca dypl. magisterska Inst. Inż. Chem. i Bud. Apar. Pol. Śl. Gliwice 1972
- [36] M.Gielmuda, Z.Tomaszek - "Badanie pozornej krawędzi opadania dla sedimentacji półciągkiej. Praca dypl. magisterska Inst. Inż. Chem. i Bud. Apar. Pol. Śl. Gliwice 1973
- [37] J.Eswodniak, I.Fronobis - "Wpływ utęszania i skłdu ziemnowego fazy stałej na prędkość opadania" Praca dypl. magisterska Inst. Inż. Chem. i Bud. Apar. Pol. Śl. Gliwice 1982
- [38] B.Sałdyś, J.Martini - "Badanie sedimentacji w osadnikach okresowym i ciągłym" Praca dypl. magisterska Inst. Inż. Chem. i Bud. Apar. Pol. Śl. Gliwice 1984
- [39] J.Schaeffer - Informacja oczbista Augsburg 1985
- [40] A.Bartkowska - "Sprawdzenie teorii Ryncha dla zawiesin polidispersyjnych" Praca dypl. nazz. Inst. Inż. Chem. i Bud. Apar. Politechnika Śląska Gliwice 1984
- [41] K.Machaj, J.Wójcik - "Prędkość opadania skropowatego w zawiesinie polidispersyjnej" II Ogólnopolskie Seminarium nt.: "Rozdrojenie zawiesin cieczy stałych w płynach" ref. Warszawa 1984
- [42] K.Machaj, J.Wójcik - "Zastosowanie metody Ryncha dla zawiesin polidispersyjnych" Referat XII Ogólnopolska Konferencja Inżynierii Chemicznej i Procesowej, Poznań 1986

- [43] Z.Kohnen, S.Safekryjski - "Badanie metoda izotopową procesu
sedymantacji periodycznej" Inż. i Apar.
Chem. Nr 4/1975, 7 - 12
- [44] A.Górnik, J.Wójcik - "Określenie średnicy zastępczej przy opad-
aniu skropowym i badanie dokładności"
enslizy zisrnowej" Praca dypl. magisterska
Inst. Inż. Chem. i Bud. Apar. Pol. Śl. G-ce 1978
- [45] Autoren Vollektiv - "Lehrbuch der Chemischen Verfahrenstechnik"
Leipzig 1969
- [46] R.Pelizz - "Analiza równań operów przepływu przez wypełnienie
porowate w ruchu laminarnym" Inż.Chem.III,4,757-783
1973
- [47] H.Rumpf A.R.Gupta - "Einflüsse der Porosität und Korngrößenvertei-
lung im Widerstandsgesetz der Porenströmung"
Chemie-Ing. Techn. 43 Jahrg. 1971/nr6 367-375
- [48] H.Rumpf - "Mechanische Verfahrenstechnik" Carl Hanser Ver-
München Wien 1975
- [49] O.Molerus, W.H.Pehl, H.Rumpf - "Die Porositätsfunktion in empiri-
schen Gleichungen für den
Durchströmungswiderstand im Bereich
 $Re \leq 1$ " Chemie. Ing. Techn. 43 Jahrg
1971/Nr 6 376-378
- [50] K.Wachej - "Wybrane metody matematyczne opracowanie wyników
doświadczalnych w inżynierii chemicznej. Zakład
Inż.Chem. i Konstr. Apar.PAN Gliwice 1965
- [51] P.A.Vesilind - "Treatment and Disposal of Wastewater sludges"
Ann Arbor Science Pub. INC Michigan 1974
- [52] C.Orr Jr - "Particulate Technology" The Macmillan Co New York
1965
- [53] J.Pikon, J.Nehlsann - Informacja osobista 1985

- [54] I. Koss, D. Kołczyk - "Badanie wpływu kształtu naczynia sedimentacyjnego na rozprzestrzenianie się samorzutnej cyrkulacji zawiesiny" Praca dypl. magisterska Inst. Inż. Chem. i Bud. Ap. Pol. Śl. G-ce 1975
- [55] J. Pieg, F. Taborak - "Wpływ tańczenia i kształtu osadnika na szybkość sedimentacji" Zeszyty Naukowe Pol. Śląskiej z 87-1979
- [56] S. Kreft, G. Piekarzki - "Badanie sedimentacji ciągłej w osadnikach laboratoryjnych" Praca dypl. magisterska Inst. Inż. Chem. i Bud. Ap. Pol. Śl. Gliwice 1985
- [57] E.J. Scott - "Effect of factors other than solids Concentration on sedimentation" Trans. Inst. Min. Met. Sec. C. Vol 75, 1966, C 181-C 182
- [58] H. Kobel - "Vergleich der Berechnungsmethoden zur Bestimmung der Absatzfläche kontinuierlich arbeitender Klärgefäße und Bindicker" Chemische Technik 17 Jg Heft 7/1965/ 392-397
- [59] A.G. Kasatkina - "Podstawowe procesy i aparaty w technologii chemicznej" PWT Warszawa 1954
- [60] J. M. Pawłos, F. Kowalek, A. Nowak - "Przykłady i zadania z zakresu aparatury i inżynierii chemicznej" WNT Warszawa 1961
- [61] K. Kuchej, F. Niemiec - "Cenne metody obliczania powierzchni sedimentacji" Inż. Apar. Chem. Nr 6/1975, 16-18
- [62] Z. Bryszkin - "Kanalizacja" Wydawnictwo Budownictwa i Architektury" Warszawa 1957

- [63] J.Krakowski - "Rozdzieranie i oddzielanie ciepl stałych" FUT Warszawa 1955
- [64] J.Laskowski - "Porównanie wzorów najczęściej stosowanych do obliczenia powierzchni osadników o działaniu ciągłym" Przegląd Górnictwa 15/1959, 525-529
- [65] H.Czarkowski - "Przeróbka rud" WGH Katowice 1958
- [66] R.J.Scott - "Experimental Study of Continuous thickening of a flocculated silica slurry" I & EC Fund Vol. 7 No 4 1968, 582-595
- [67] L.G.Eklund - "A critical investigation of the working conditions in a continuous pilot thickener at optimal load" Dept.Chem.Eng. Lund Inst.of Technol.
Report No 75-F-4-1975
- [68] B.Fitch - "Current Theory and Thickener Design /1975/ Part 1. Filtration and Separation July/August 1975 No 4 Vol 12, 355-359
- [69] P.A.Schweitzer - "Handbook of Separation Techniques for Chemical Engineers" McGraw-Hill Book Co 1979
New York
- [70] B.Fitch - "Current Theory and Thickener Design /1975/ Part 3 Filtration and separation November/December 1975 No 6 Vol 12, 605-618
- [71] H.Merts, J.Zięto - "Calculation of thickener area and depth based on the data of batch-settling test" Chem.Eng.Sci. Vol 40 No 7, 1301-1303/1985/
- [72] H.Merts, J.Zięto - "On the method of thickener area calculation based on the data of batch-settling test" Chem.Eng.Sci. Vol 41 No 7 1988-1920/1986/
- [73] H.Merts, J.Zięto - "Graficzne wyznaczanie powierzchni osadnika" Inż. i Kprz.Chem. Nr 4/1986, 21-22

- [74] K.Boschek - "Uścisłony model procesu sedimentacji w osadnikach o stałej prędkości opadania fazy stałej" Int.Chem. III, 3, 567-574 /1973/
- [75] L.G.Eklund, S.A.Barr - "Influence of feed conditions on continuous thickening" Chem.Zag.Bei. Vol 34, 1061-1063, 1973
- [76] L.G.Eklund - "Diskussion des Wichtigesten Bindickerverhaltens" 21 Diskussions-tagung "Mechanische Flüssigkeitsscheidung" Magdeburg 1955
- [77] K.Boschek, J.Fieg, J.Wójcik - "Badania wstępne nad hydrauliką zaburzeń wlotowych w osadnikach radialnych" Inż.Chem.Proc. 2,4,815-824 /1961/
- [78] K.Boschek - Informacja osobista.
- [79] C.Bryazewski, H.Firekiewicz - "Przykłady i zastosowanie z procesów mechanicznych w inżynierii chemicznej" Skrypt Pol.Trockowskiej 1980
- [80] J.Zikor - "Aparatury chemiczne" ZesJ Warszawa 1976
- [81] K.J.Scott - "Theory of thickening : factors affecting settling rate of solids in flocculated pulps" Trans.Inst.Mim.Wet.Bec.C. Vol 77, 1963, 385-397 .

Załącznik I Wybrane właściwości badanych zwiein

p	Materiał	ρ_s [kg/m ³]	ρ_c [kg/m ³]	η_c [Pa.s]	Udział masowy frakcji					l_{\max} [μm]
					0-2 μm	2 μm- 5 μm	5 μm- 10 μm	10 μm- 20 μm	> 20 μm	
1	Keolin	2490	998	0,001	0,5	0,193	0,1375	0,1468	0,0227	60
2	Dicalit	2270	999	0,001	0,2046	0,0522	0,1892	0,4631	0,0909	60
3	Kreda	2310	999	0,001	0,5341	0,1364	0,1306	0,1364	0,0625	60
4	Dicalit	2270	999	0,001	0,0676	0,1626	0,3248	0,3059	0,1391	60
5	Dicalit	2270	999	0,001	0,0387	0,1291	0,4100	0,2930	0,1236	60
6	Dicalit	2270	999	0,001	0,0562	0,0958	0,2508	0,3935	0,2037	60
7	Dicalit	2270	999	0,001	0,0880	0,1030	0,3420	0,3046	0,1620	60
8	Dicalit	2270	999	0,001	0,0747	0,0995	0,4978	0,2796	0,0484	40
9	Dicalit	2270	1089,5	0,0035	0,0747	0,0995	0,4978	0,2796	0,0484	40

Załącznik II

Opadanie zawiesiny kaolinu w wodzie w rurze sedimentacyjnej

D = 4,6 cm

h [cm]	t [min]				
	C _v = 2,1%	C _v = 3,2%	C _v = 4,4%	C _v = 5,5%	C _v = 6,6%
40	0	0	0	0	0
39	2,65	6,30	19,10	21,40	32,50
38	5,25	13,15	30,40	34,65	61,65
37	8,10	20,15	40,40	46,25	81,10
36	10,80	27,30	50,90	57,75	99,75
35	13,50	34,40	60,25	68,00	116,10
34	16,25	41,65	72,30	80,40	131,80
33	19,10	48,90	83,15	91,00	145,65
32	21,75	56,25	93,65	102,25	152,10
31	24,55	63,10	102,75	111,15	168,25
30	27,90	70,90	112,40	122,30	178,40
29	31,10	78,00	122,15	132,25	187,10
28	34,40	85,25	131,75	141,10	214,90
27	37,75	92,25	141,00	150,30	258,00
26	41,50	99,50	150,90	158,25	325,50
25	45,15	106,90	161,75	166,65	
24	49,10	113,90	170,25	176,75	
23	53,00	121,55	177,25	192,65	
22	57,10	128,40	185,40	231,65	
21	61,15	135,60	193,65	310,75	
20	65,55	143,55	205,25		
19	69,90	149,55	223,50		
18	74,90	157,15	268,50		
17	79,25	164,60			
16	84,25	172,25			
15	89,50	185,80			
14	94,75	228,60			
13	100,55	303,10			
12	106,40				
11	112,65				
10	120,25				
9	129,50				

Opadanie zawiesiny kredy w wodzie w rurze sedimentacyjnej

D = 3,7 cm

$$c_v = 0,015$$

t[min] - h[cm]	t[min] - h[cm]	t[min] - h[cm]
1 - 31	14 - 1,65	28 - 1,5
2 - 27	15 - 1,8	30 - 1,49
3 - 22,5	16 - 1,75	32 - 1,48
4 - 17,5	17 - 1,72	34 - 1,45
5 - 14	18 - 1,7	40 - 1,4
6 - 10	19 - 1,68	45 - 1,39
7 - 6	20 - 1,65	50 - 1,38
8 - 2,5	21 - 1,62	55 - 1,35
9 - 2,2	22 - 1,6	60 - 1,35
10 - 2,05	23 - 1,58	65 - 1,35
11 - 2,0	24 - 1,55	70 - 1,35
12 - 1,95	25 - 1,53	80 - 1,3
13 - 1,9	26 - 1,52	

$$c_v = 0,02$$

t[min] - h[cm]	t[min] - h[cm]	t[min] - h[cm]
1 - 31,5	16 - 2,55	35 - 2,05
2 - 27,5	17 - 2,5	36 - 2,02
3 - 23,5	18 - 2,48	38 - 2,0
4 - 19,5	19 - 2,45	40 - 1,98
5 - 16	20 - 2,4	45 - 1,95
6 - 12,5	21 - 2,38	50 - 1,92
7 - 8,5	22 - 2,35	55 - 1,9
8 - 5,0	23 - 2,31	60 - 1,86
9 - 3,6	24 - 2,28	65 - 1,85
10 - 3,15	25 - 2,25	70 - 1,85
11 - 2,9	26 - 2,23	75 - 1,82
12 - 2,8	27 - 2,2	80 - 1,8
13 - 2,7	28 - 2,18	90 - 1,75
14 - 2,65	30 - 2,15	
15 - 2,6	32 - 2,12	

$C_v = 0,025$

t [min] - h [cm]	t [min] - h [cm]	t [min] - h [cm]
1 - 21,5	19 - 3,2	42 - 2,5
2,5 - 27	20 - 3,15	44 - 2,55
3 - 25,3	21 - 3,1	46 - 2,55
4 - 21,8	22 - 3,0	50 - 2,5
5 - 18,5	23 - 3,0	55 - 2,45
6 - 15,4	24 - 3,01	60 - 2,4
7 - 12,3	25 - 2,99	65 - 2,38
8 - 9,3	26 - 2,95	70 - 2,35
9 - 6,5	27 - 2,92	75 - 2,32
10 - 5,15	28 - 2,9	80 - 2,3
11 - 4,55	29 - 2,88	85 - 2,28
12 - 4,15	30 - 2,85	90 - 2,28
13 - 3,7	31 - 2,8	100 - 2,25
14 - 3,52	32 - 2,8	110 - 2,25
15 - 3,45	34 - 2,75	130 - 2,2
16 - 3,38	36 - 2,7	160 - 2,15
17 - 3,3	38 - 2,68	
18 - 3,25	40 - 2,65	

$C_v = 0,03$

t [min] - h [cm]	t [min] - h [cm]	t [min] - h [cm]
1 - 32	13 - 3,75	25 - 3,75
2 - 29	14 - 3,0	26 - 3,75
3 - 26	15 - 4,65	27 - 3,68
4 - 23	16 - 4,3	28 - 3,65
5 - 20,5	17 - 4,25	29 - 3,62
6 - 17,8	18 - 4,15	30 - 3,6
7 - 15,0	19 - 4,05	31 - 3,58
8 - 12,5	20 - 4,0	32 - 3,52
9 - 10	21 - 3,95	33 - 3,5
10 - 7,9	22 - 3,9	34 - 3,48
11 - 6,6	23 - 3,85	35 - 3,45
12 - 5,95	24 - 3,8	37 - 3,42

39 - 3,4	51 - 3,1	75 - 2,86
41 - 3,35	53 - 3,1	80 - 2,85
43 - 3,28	55 - 3,05	90 - 2,8
45 - 3,25	60 - 3,0	100 - 2,78
47 - 3,22	65 - 2,98	110 - 2,75
49 - 3,15	70 - 2,9	

$$c_v = 0,035$$

t[min] - h[cm]	t[min] - h[cm]	t[min] - h[cm]
1 - 3,2	21 - 4,6	48 - 3,88
2 - 29,7	22 - 4,7	50 - 3,82
3 - 27,3	23 - 4,65	52 - 3,8
4 - 24,8	24 - 4,6	54 - 3,75
5 - 22,3	25 - 4,55	56 - 3,72
6 - 20,0	26 - 4,5	58 - 3,7
7 - 17,7	27 - 4,45	60 - 3,68
8 - 15,8	28 - 4,5	65 - 3,6
9 - 13,4	29 - 4,38	70 - 3,5
10 - 11,2	30 - 4,35	75 - 3,48
11 - 9,5	31 - 4,3	80 - 3,4
12 - 8,4	32 - 4,28	85 - 3,38
13 - 7,7	33 - 4,25	90 - 3,35
14 - 7,15	34 - 4,2	100 - 3,3
15 - 6,6	36 - 4,18	110 - 3,25
16 - 6,2	38 - 4,15	120 - 3,2
17 - 6,8	40 - 4,05	130 - 3,18
18 - 5,45	42 - 4,0	140 - 3,15
19 - 5,1	44 - 3,95	160 - 3,1
20 - 4,9	46 - 3,9	

$c_v = 0,04$

$t[\text{min}] - h[\text{cm}]$	$t[\text{min}] - h[\text{cm}]$	$t[\text{min}] - h[\text{cm}]$
1 - 32,5	24 - 5,55	54 - 4,48
3 - 30,5	25 - 5,45	56 - 4,45
3 - 28,5	26 - 5,35	58 - 4,4
4 - 26,3	27 - 5,3	60 - 4,38
5 - 24,2	28 - 5,25	62 - 4,35
6 - 22,2	29 - 5,2	64 - 4,3
7 - 20,2	30 - 5,15	66 - 4,28
8 - 18,4	31 - 5,1	68 - 4,25
9 - 16,4	32 - 5,05	70 - 4,2
10 - 14,4	33 - 5,0	75 - 4,15
11 - 12,8	34 - 4,95	80 - 4,05
12 - 11,5	35 - 4,95	85 - 4,0
13 - 10,4	36 - 4,92	90 - 3,95
14 - 9,5	37 - 4,9	95 - 3,9
15 - 8,9	38 - 4,88	100 - 3,85
16 - 8,4	39 - 4,85	110 - 3,8
17 - 7,9	40 - 4,8	115 - 3,78
18 - 7,45	42 - 4,75	120 - 3,75
19 - 7,1	44 - 4,7	130 - 3,7
20 - 6,7	46 - 4,65	140 - 3,68
21 - 6,35	48 - 4,6	150 - 3,65
22 - 6,0	50 - 4,55	160 - 3,6
23 - 5,75	52 - 4,5	180 - 3,58

$c_v = 0,045$

$t[\text{min}] - h[\text{cm}]$	$t[\text{min}] - h[\text{cm}]$	$t[\text{min}] - h[\text{cm}]$
1 - 32,5	8 - 20,2	15 - 11,2
2 - 31,0	9 - 18,5	16 - 10,5
3 - 29,3	10 - 17,0	17 - 9,9
4 - 27,2	11 - 15,5	18 - 9,4
5 - 25,5	12 - 14,0	19 - 8,9
6 - 23,5	13 - 12,5	20 - 8,5
7 - 22,0	14 - 11,8	21 - 8,1
		22 - 7,7
		23 - 7,5
		24 - 7,1

25 - 6,8	39 - 5,52	70 - 4,85
26 - 6,5	40 - 5,5	75 - 4,75
27 - 6,3	41 - 5,48	80 - 4,65
28 - 6,1	42 - 5,45	85 - 4,62
29 - 6,0	44 - 5,4	90 - 4,55
30 - 5,9	46 - 5,35	95 - 4,5
31 - 5,85	48 - 5,3	100 - 4,45
32 - 5,85	50 - 5,25	105 - 4,4
33 - 5,8	52 - 5,2	110 - 4,38
34 - 5,75	54 - 5,15	115 - 4,3
35 - 5,70	56 - 5,12	120 - 4,25
36 - 5,65	58 - 5,05	130 - 4,2
37 - 5,62	60 - 5,0	140 - 4,15
38 - 5,6	62 - 5,98	150 - 4,1
	64 - 5,92	170 - 4,0
	66 - 4,9	200 - 3,95
	68 - 4,88	

$$c_v = 0,05$$

t[min] - h[cm]	t[min] - h[cm]	t[min] - h[cm]
1 - 33	17 - 11,9	33 - 6,5
2 - 31,5	18 - 11,3	34 - 6,45
3 - 29,8	19 - 10,8	35 - 6,4
4 - 25,4	20 - 10,3	36 - 6,35
5 - 26,5	21 - 10,9	37 - 6,3
6 - 25	22 - 9,5	38 - 6,25
7 - 23,5	23 - 9,2	39 - 6,2
8 - 22,0	24 - 8,8	40 - 6,18
9 - 20,5	25 - 8,45	41 - 6,15
10 - 19,0	26 - 8,1	42 - 6,1
11 - 17,7	27 - 7,8	43 - 6,05
12 - 16,4	28 - 7,5	44 - 6,0
13 - 15,3	29 - 7,2	45 - 5,98
14 - 14,2	30 - 6,7	46 - 5,95
15 - 13,3	31 - 6,75	47 - 5,92
16 - 12,5	32 - 6,65	48 - 5,9

50 - 5,85	72 - 5,42	115 - 4,85
52 - 5,8	74 - 5,38	120 - 4,82
54 - 5,78	76 - 5,35	125 - 4,8
56 - 5,75	78 - 5,32	140 - 4,7
58 - 5,7	80 - 5,3	150 - 4,65
60 - 5,68	85 - 5,26	160 - 4,65
62 - 5,60	90 - 5,18	180 - 4,6
64 - 5,55	95 - 5,05	200 - 4,55
66 - 5,5	100 - 4,98	220 - 4,5
68 - 5,48	105 - 5,95	240 - 4,45
70 - 5,45	110 - 4,89	260 - 4,4

$C_v = 0,10$

t [min] - h [cm]	t [min] - h [cm]	t min - h cm
2 - 33,5	23 - 25,48	44 - 18,85
3 - 33,0	24 - 25,15	45 - 18,55
4 - 32,6	25 - 24,8	46 - 18,25
5 - 32,2	26 - 24,45	47 - 18,0
6 - 31,8	27 - 24,1	48 - 17,7
7 - 31,4	28 - 23,8	49 - 17,45
8 - 31,0	29 - 23,45	50 - 17,15
9 - 30,6	30 - 23,15	51 - 16,85
10 - 30,2	31 - 22,8	52 - 16,62
11 - 29,8	32 - 22,5	53 - 16,45
12 - 29,4	33 - 22,2	54 - 16,1
13 - 29,1	34 - 21,85	55 - 15,85
14 - 28,7	35 - 21,5	56 - 15,6
15 - 28,3	36 - 21,2	57 - 15,35
16 - 27,95	37 - 20,85	58 - 15,1
17 - 27,6	38 - 20,55	59 - 14,85
18 - 27,2	39 - 20,3	60 - 14,7
19 - 26,85	40 - 20,0	61 - 14,35
20 - 26,5	41 - 19,7	62 - 14,05
21 - 26,15	42 - 19,45	63 - 13,8
22 - 25,8	43 - 19	64 - 13,6

63 - 13,35	90 - 11,0	195 - 9,4
66 - 13,12	92 - 10,98	200 - 9,38
67 - 12,9	94 - 10,92	205 - 9,35
68 - 12,65	96 - 10,88	210 - 9,3
69 - 12,4	100 - 10,8	215 - 9,25
70 - 12,2	105 - 10,65	220 - 9,22
71 - 12,0	110 - 10,5	225 - 9,2
72 - 11,90	115 - 10,45	230 - 9,15
73 - 11,8	120 - 10,38	235 - 9,1
74 - 11,7	125 - 10,3	240 - 9,05
75 - 11,65	130 - 10,25	245 - 9,0
76 - 11,6	135 - 10,15	250 - 8,96
77 - 11,55	140 - 10,05	255 - 8,95
78 - 11,5	145 - 10,0	260 - 8,92
79 - 11,45	150 - 9,95	265 - 8,9
80 - 11,4	155 - 9,8	270 - 8,88
81 - 11,35	160 - 9,8	275 - 8,88
82 - 11,3	165 - 9,75	280 - 8,85
83 - 11,28	170 - 9,7	
84 - 11,25	175 - 9,65	
85 - 11,2	180 - 9,55	
86 - 11,18	185 - 9,5	
88 - 11,1	190 - 9,45	

$$C_V = 0,75$$

t [min] - h [cm]	t [min]-h [cm]	t [min] - h [cm]
1 - 34,3	11 - 32,3	21 - 30,5
2 - 34,0	12 - 32,1	22 - 30,3
3 - 33,8	13 - 31,9	23 - 30,15
4 - 33,6	14 - 31,75	24 - 30,0
5 - 33,4	15 - 31,55	25 - 29,8
6 - 33,35	16 - 31,4	26 - 29,65
7 - 33,05	17 - 31,2	27 - 29,4
8 - 32,85	18 - 31,0	28 - 29,2
9 - 32,75	19 - 30,85	29 - 29,05
10 - 32,45	20 - 30,70	30 - 28,9

31 - 28,75	68 - 22,05	104 - 16,5
32 - 28,5	69 - 21,9	105 - 16,45
33 - 28,3	70 - 21,75	106 - 16,4
34 - 28,1	71 - 21,6	107 - 16,35
35 - 27,95	72 - 21,4	108 - 16,3
36 - 27,75	73 - 21,25	109 - 16,25
37 - 27,55	74 - 21,1	110 - 16,2
38 - 27,35	75 - 20,9	111 - 16,15
39 - 27,25	76 - 20,75	112 - 16,15
40 - 27,0	77 - 20,6	114 - 16,05
41 - 26,8	78 - 20,45	116 - 15,95
42 - 26,65	79 - 20,25	118 - 15,9
43 - 26,5	80 - 20,1	120 - 15,85
44 - 26,3	81 - 19,9	122 - 15,8
45 - 26,15	82 - 19,75	124 - 15,75
46 - 25,95	83 - 19,6	126 - 15,7
47 - 25,75	84 - 19,4	128 - 15,65
48 - 25,65	85 - 19,25	130 - 15,6
49 - 25,4	86 - 19,05	134 - 15,5
50 - 25,25	87 - 18,9	136 - 15,45
51 - 25,05	88 - 18,7	138 - 15,4
52 - 24,95	89 - 18,55	140 - 15,35
54 - 24,5	90 - 18,35	142 - 15,32
55 - 24,34	91 - 18,2	144 - 15,25
56 - 24,2	92 - 18,0	146 - 15,2
57 - 24,0	93 - 17,8	148 - 15,18
58 - 23,8	94 - 17,65	150 - 15,15
59 - 23,65	95 - 17,5	152 - 15,12
60 - 23,5	96 - 17,3	155 - 15,05
61 - 23,3	97 - 17,1	160 - 15,0
62 - 23,15	98 - 16,95	165 - 14,9
63 - 22,95	99 - 16,85	170 - 14,8
64 - 22,8	100 - 16,75	175 - 14,75
65 - 22,6	101 - 16,7	180 - 14,65
66 - 22,4	102 - 16,65	185 - 14,6
67 - 22,2	103 - 16,55	190 - 14,5

195 - 14,45	230 - 14,02	280 - 13,65
200 - 14,4	235 - 13,95	285 - 13,6
205 - 14,3	240 - 13,09	290 - 13,55
210 - 14,25	245 - 13,88	300 - 13,5
215 - 14,2	270 - 13,75	
225 - 14,1	275 - 13,7	

$c_v = 0,20$

t[min] - h[cm]	t[min] - h[cm]	t[min] - h[cm]
1 - 34,2	27 - 31,78	53 - 29,15
2 - 34,0	28 - 31,65	54 - 29,05
3 - 33,9	29 - 31,55	55 - 28,95
4 - 33,85	30 - 31,5	56 - 28,8
5 - 33,85	31 - 31,45	57 - 28,65
6 - 33,8	32 - 31,38	58 - 28,5
7 - 33,75	33 - 31,38	59 - 28,4
8 - 33,7	34 - 31,2	60 - 28,25
9 - 33,65	35 - 31,15	61 - 28,15
10 - 33,6	36 - 31,05	62 - 28,0
11 - 33,55	37 - 30,95	63 - 27,9
12 - 33,5	38 - 30,85	64 - 27,8
13 - 33,4	39 - 30,7	65 - 27,7
14 - 33,35	40 - 30,6	66 - 27,55
15 - 33,2	41 - 30,45	67 - 27,35
16 - 33,15	42 - 30,35	68 - 27,25
17 - 33,0	43 - 30,25	69 - 27,15
18 - 32,85	44 - 30,2	70 - 27,0
19 - 32,7	45 - 30,05	71 - 26,9
20 - 32,6	46 - 29,95	72 - 26,75
21 - 32,45	47 - 29,8	73 - 26,65
22 - 32,35	48 - 29,7	74 - 26,5
23 - 32,25	49 - 29,6	75 - 26,4
24 - 32,15	50 - 29,45	76 - 26,25
25 - 32,0	51 - 29,35	77 - 26,15
26 - 31,85	52 - 29,25	78 - 26,0

79 - 25,9	116 - 21,65	205 - 16,5
80 - 25,8	117 - 21,0	210 - 18,4
81 - 25,7	118 - 20,9	215 - 18,3
82 - 25,5	119 - 20,85	220 - 18,2
83 - 25,4	120 - 20,8	225 - 18,15
84 - 25,3	121 - 20,7	230 - 18,08
85 - 25,15	122 - 20,65	235 - 18,0
86 - 25,0	123 - 20,6	240 - 17,95
87 - 24,95	124 - 20,55	245 - 17,9
88 - 24,8	125 - 20,5	250 - 17,85
89 - 24,65	126 - 20,45	255 - 17,8
90 - 24,5	127 - 20,4	260 - 17,75
91 - 24,4	128 - 20,35	265 - 17,65
92 - 24,3	129 - 20,3	270 - 17,6
93 - 24,15	130 - 20,28	275 - 17,55
94 - 24,0	131 - 20,25	280 - 17,5
95 - 23,85	132 - 20,2	
96 - 23,75	133 - 20,18	
97 - 23,6	135 - 20,1	
98 - 23,5	136 - 20,08	
99 - 23,35	138 - 20,0	
100 - 23,2	140 - 19,92	
101 - 23,0	142 - 19,88	
102 - 22,85	144 - 19,8	
103 - 22,7	146 - 19,75	
104 - 22,6	148 - 19,7	
105 - 22,45	150 - 19,65	
106 - 22,3	155 - 19,5	
107 - 22,15	160 - 19,4	
108 - 22,0	165 - 19,3	
109 - 21,85	170 - 19,2	
110 - 21,75	175 - 19,1	
111 - 21,6	180 - 19,0	
112 - 21,45	185 - 18,9	
113 - 21,35	190 - 18,8	
114 - 21,25	195 - 18,7	
115 - 21,1	200 - 18,6	

200 - 22,35	225 - 21,8	250 - 21,3
205 - 22,2	230 - 21,7	255 - 21,2
210 - 22,1	235 - 21,6	260 - 21,2
215 - 22,0	240 - 21,65	
220 - 22,9		

Opadanie zewiesiny dicelitu w wodzie w rurze
sedimentacyjnej D = 4,5 cm

$$C_v = 0,02$$

t[min] - h[cm]	t[min] - h[cm]	t[min] - h[cm]
5 - 47,5	40 - 30,8	75 - 18,7
10 - 45,2	45 - 28,7	80 - 17,6
15 - 43,0	50 - 26,6	85 - 16,5
20 - 40,5	55 - 24,7	90 - 15,6
25 - 37,0	60 - 22,9	95 - 14,7
30 - 35,5	65 - 21,4	100 - 13,8
35 - 33,1	70 - 20	120 - 13,2

$$C_v = 0,025$$

t[min] - h[cm]	t[min] - h[cm]	t[min] - h[cm]
5 - 48,6	55 - 33,3	105 - 20,3
10 - 47,1	60 - 31,0	110 - 19,3
15 - 45,6	65 - 30,3	115 - 18,4
20 - 44,3	70 - 28,9	120 - 17,5
25 - 42,6	75 - 27,5	125 - 16,7
30 - 41,1	80 - 26,2	130 - 16,3
35 - 39,5	85 - 24,8	135 - 16,2
40 - 38,0	90 - 23,6	
45 - 36,4	95 - 22,5	
50 - 34,9	100 - 21,3	

$$C_v = 0,03$$

t[min] - h[cm]	t[min] - h[cm]	t[min] - h[cm]
5 - 49,0	65 - 36,4	125 - 23,7
10 - 48,0	70 - 35,3	130 - 22,8
15 - 47,0	75 - 34,3	135 - 21,9
20 - 46,0	80 - 33,2	140 - 21,0
25 - 45,0	85 - 32,0	145 - 20,2
30 - 43,9	90 - 30,9	150 - 19,5
35 - 42,9	95 - 29,8	155 - 19,4
40 - 41,8	100 - 28,8	160 - 19,4
45 - 40,7	105 - 27,7	
50 - 39,7	110 - 26,6	
55 - 38,6	115 - 25,6	

$$C_y = 0,035$$

t[min] - h[cm]	t[min] - h[cm]	t[min] - h[cm]
5 - 49,0	70 - 35,9	135 - 29,6
10 - 48,3	75 - 38,8	140 - 28,8
15 - 47,6	80 - 38,1	145 - 27,9
20 - 46,9	85 - 37,2	150 - 27,1
25 - 46,2	90 - 36,5	155 - 26,3
30 - 45,5	95 - 35,8	160 - 25,3
35 - 44,7	100 - 35,0	165 - 24,5
40 - 44,0	105 - 34,2	170 - 23,6
45 - 43,3	110 - 33,5	175 - 22,6
50 - 42,6	115 - 32,7	180 - 22,2
55 - 41,8	120 - 32,0	185 - 22,1
60 - 41,0	125 - 31,2	190 - 22,1
65 - 40,3	130 - 30,4	

$$C_y = 0,04$$

t[min] - h[cm]	t[min] - h[cm]	t[min] - h[cm]
5 - 49,5	60 - 41,0	155 - 32,1
10 - 48,9	65 - 40,4	160 - 31,4
15 - 48,4	70 - 39,8	165 - 30,6
20 - 47,8	75 - 39,2	170 - 30,1
25 - 47,3	80 - 38,6	175 - 29,5
30 - 46,8	85 - 38,0	180 - 28,8
35 - 46,2	90 - 37,5	185 - 28,2
40 - 45,6	95 - 36,9	190 - 27,4
45 - 45,0	100 - 36,3	195 - 26,7
50 - 44,5	105 - 35,7	200 - 26,0
55 - 43,9	110 - 35,1	205 - 25,3
60 - 43,3	115 - 34,5	210 - 25,1
65 - 42,7	120 - 33,9	215 - 25,1
70 - 42,1	125 - 33,3	
75 - 42,1	130 - 32,7	

$C_v = 0,045$

t [min] - h [cm]	t [min] - h [cm]	t [min] - h [cm]
5 - 49,6	80 - 42,8	155 - 35,8
10 - 49,2	85 - 42,4	160 - 35,3
15 - 48,7	90 - 41,9	165 - 34,8
20 - 48,3	95 - 41,4	170 - 34,3
25 - 47,8	100 - 41,0	175 - 33,8
30 - 47,3	105 - 40,5	180 - 33,3
35 - 46,8	110 - 40,0	185 - 32,8
40 - 46,4	115 - 39,6	190 - 32,3
45 - 45,9	120 - 39,2	195 - 31,7
50 - 45,5	125 - 38,7	200 - 31,1
55 - 45,1	130 - 38,2	205 - 30,5
60 - 44,6	135 - 37,7	210 - 29,8
65 - 44,2	140 - 37,2	215 - 29,0
70 - 43,8	145 - 36,8	220 - 28,3
75 - 43,3	150 - 36,3	225 - 28,2

$C_v = 0,05$

t [min] - h [cm]	t [min] - h [cm]	t [min] - h [cm]
5 - 49,5	85 - 43,9	195 - 35,8
10 - 49,2	95 - 43,2	205 - 35,0
15 - 48,8	105 - 42,5	215 - 34,2
20 - 48,5	115 - 41,8	225 - 33,3
25 - 48,2	125 - 41,0	235 - 32,3
30 - 47,8	135 - 40,3	240 - 31,8
35 - 47,5	145 - 39,6	245 - 31,1
40 - 46,8	155 - 38,9	250 - 30,9
55 - 46,0	165 - 38,2	255 - 30,9
65 - 45,4	175 - 37,4	260 - 30,9
75 - 44,6	185 - 36,6	

$C_v = 0,055$

t [min] - h [cm]	t [min] - h [cm]	t [min] - h [cm]
10 - 49,3	100 - 43,5	190 - 37,4
20 - 48,8	110 - 42,9	200 - 36,7
30 - 48,2	120 - 42,2	210 - 35,9
40 - 47,5	130 - 41,5	220 - 34,9
50 - 46,8	140 - 40,8	230 - 34,0
60 - 46,1	150 - 40,1	240 - 33,9

70 - 45,4	160 - 39,5
80 - 44,8	170 - 38,8
90 - 44,2	180 - 38,1

$$C_V = 0,06$$

t [min] - h [cm]	t [min] - h [cm]	t [min] - h [cm]
10 - 49,5	80 - 45,4	150 - 41,1
20 - 48,9	90 - 44,8	160 - 40,5
30 - 48,5	100 - 44,2	170 - 39,8
40 - 47,9	110 - 43,6	180 - 39,0
50 - 47,2	120 - 43,0	190 - 38,2
60 - 46,6	130 - 42,4	200 - 37,2
70 - 46,0	140 - 41,8	210 - 36,8

$$C_V = 0,065$$

t [min] - h [cm]	t [min] - h [cm]	t [min] - h [cm]
10 - 49,6	70 - 46,5	130 - 43,2
20 - 49,1	80 - 45,9	140 - 42,6
30 - 48,6	90 - 45,4	150 - 41,9
40 - 48,2	100 - 45,0	160 - 41,1
50 - 47,8	110 - 44,5	170 - 40,3
60 - 47,2	120 - 43,8	180 - 39,4

$$C_V = 0,07$$

t [min] - h [cm]	t [min] - h [cm]
10 - 49,5	100 - 45,5
20 - 49,2	110 - 45,0
30 - 48,5	120 - 44,4
40 - 48,0	130 - 43,9
50 - 47,6	140 - 43,1
60 - 47,4	150 - 42,5
70 - 46,9	160 - 41,9
80 - 46,5	170 - 41,5
90 - 46,0	

Zalaczrik III tabl. 1

$le = 5.03E-06m$ $l_Brown = 9.53E-01m$ $l_{max} = 6.00E-05m$

w	epsilon	le1	b1	le2	b2	le3	b3	le4	b4
0.8596	0.990	9.7	48.3	9.8	48.6	10.0	49.9	10.2	50.8
0.2734	0.979	5.5	8.3	5.5	9.3	5.9	14.1	6.1	17.1
0.1493	0.969	4.1	-24.1	4.1	-22.1	4.5	-12.5	4.7	-6.4
0.0966	0.958	3.3	-54.2	3.3	-50.9	3.7	-35.2	4.0	-25.4

Zalacznik III tabl. 2

le = 8.42E-06m 1 Browna = 4.81E-07m 1 max = 6.00E-05m

w	epsilon	le1	b1	le2	b2	le3	b3	le4	b4
2.0300	0.989	16.2	48.0	16.3	48.3	16.7	49.7	17.1	50.6
1.6200	0.987	14.5	41.8	14.6	42.2	15.1	44.1	15.4	45.3
1.2000	0.985	12.5	32.4	12.6	32.9	13.0	35.4	13.4	37.0
0.5600	0.980	9.5	1.0	8.6	2.0	9.1	7.1	9.4	10.3
0.1500	0.961	4.4	-91.2	4.5	-87.4	5.0	-69.2	5.3	-57.8
0.4750	0.980	7.8	-7.5	7.9	-6.4	8.3	-1.0	8.6	2.4
0.3840	0.975	7.0	-19.5	7.1	-18.0	7.6	-10.6	8.0	-5.9
0.3070	0.970	6.3	-33.7	6.4	-31.7	6.9	-21.8	7.3	-15.5
0.2196	0.965	5.3	-58.1	5.4	-55.3	5.9	-41.7	6.3	-33.3
0.1730	0.960	4.7	-78.1	4.8	-74.5	5.4	-57.2	5.8	-46.4
0.1403	0.955	4.3	-97.7	4.4	-93.2	4.9	-71.8	5.3	-58.6
0.1140	0.950	3.8	-119.4	3.9	-113.8	4.5	-87.7	4.9	-71.6

Zalacznik III tabl. 3

$1e = 5.17E-06m$ $1 \text{ Browna} = 4.75E-07m$ $1 \text{ max} = 6.00E-05m$

v	epsilon	le1	b1	le2	b2	le3	b3	le4	b4	1
1.0700	0.990	11.6	55.3	11.6	55.6	12.0	56.8	12.2	57.5	146
0.8400	0.988	10.3	49.6	10.3	49.9	10.7	51.5	10.9	52.5	1
0.6600	0.986	9.1	43.1	9.2	43.6	9.5	45.6	9.8	47.0	
0.5000	0.984	7.9	34.7	8.0	35.2	8.3	37.9	8.6	39.6	
0.3000	0.980	6.1	15.7	6.2	16.5	6.5	20.8	6.8	23.5	

Zalacznik III tabl. 4

$le = 7.86E-06m$ $l Browna = 4.81E-07m$ $l max = 6.00E-05m$

w	epsilon	le1	b1	le2	b2	le3	b3	le4	b4
0.6144	0.981	6.9	11.9	9.0	12.7	9.5	17.0	9.8	19.7
0.5058	0.978	8.1	2.9	8.2	4.0	8.7	9.3	9.0	12.8
0.3522	0.974	6.7	-16.4	6.8	-14.9	7.3	-7.4	7.7	-2.6
0.2802	0.971	6.0	-30.5	6.1	-28.6	6.6	-19.3	6.9	-13.4
0.1272	0.962	4.1	-93.7	4.1	-89.9	4.6	-71.8	4.9	-60.5
0.0840	0.952	3.3	-138.3	3.4	-132.5	3.8	-105.1	4.2	-88.1
0.0624	0.942	2.8	-176.5	2.9	-168.4	3.4	-130.8	3.8	-107.9
0.0564	0.933	2.7	-190.9	2.8	-180.9	3.3	-135.5	3.8	-108.2
0.0486	0.923	2.5	-213.3	2.6	-201.0	3.2	-146.1	3.7	-113.5
0.0408	0.913	2.3	-242.0	2.4	-226.8	3.0	-160.4	3.5	-121.5
0.0198	0.904	1.6	-390.9	1.7	-366.6	2.2	-262.3	2.6	-201.9

załącznik III tabl. 5

le = 8.27E-06m 1 Browna = 4.81E-07m 1 max = 6.00E-05m

w	epsilon	le1	b1	le2	b2	le3	b3	le4	b4	
0.5844	0.981	8.7	4.9	8.8	5.8	9.2	10.3	9.5	13.1	
0.4440	0.979	7.6	-9.1	7.7	-7.9	3.1	-2.1	8.4	1.7	1481
0.3450	0.975	5.7	-23.7	6.8	-22.2	7.2	-14.5	7.5	-9.6	
0.2556	0.972	5.7	-43.8	5.8	-41.8	6.3	-31.8	6.6	-25.5	
0.0882	0.954	3.4	-144.7	3.5	-139.0	3.9	-111.7	4.2	-94.8	
0.0576	0.935	2.7	-202.9	2.8	-192.8	3.3	-147.0	3.8	-119.4	
0.0438	0.926	2.4	-247.3	2.5	-234.1	3.0	-175.1	3.4	-139.8	
0.0366	0.916	2.2	-279.9	2.3	-263.7	2.8	-192.1	3.3	-150.0	
0.0174	0.907	1.5	-451.0	1.6	-424.6	2.0	-311.3	2.4	-245.2	

Zalacznik III tabl. 6

le = 9.33E-06m l Browna = 4.81E-07m l max = 6.00E-05m

w	epsilon	le1	b1	le2	b2	le3	b3	le4	b4	
0.7854	0.984	10.1	7.4	10.2	8.1	10.6	11.9	10.9	14.2	149
0.6048	0.981	8.8	-5.5	8.9	-4.5	9.4	0.5	9.7	3.7	1
0.4662	0.978	7.8	-20.2	7.9	-18.9	8.3	-12.4	8.6	-8.2	
0.3486	0.975	6.7	-39.0	6.8	-37.2	7.3	-28.4	7.6	-22.8	
0.2880	0.972	6.1	-52.9	6.2	-50.7	6.7	-40.0	7.0	-33.3	
0.1626	0.962	4.6	-103.5	4.7	-99.6	5.2	-81.0	5.5	-69.3	
0.1038	0.953	3.7	-154.7	3.8	-148.6	4.2	-119.9	4.6	-102.2	
0.0708	0.943	3.0	-208.4	3.1	-199.6	3.6	-158.4	4.0	-133.3	
0.0696	0.934	3.0	-211.1	3.1	-200.6	3.7	-153.0	4.2	-124.3	
0.0642	0.925	2.9	-223.9	3.0	-211.4	3.6	-155.7	4.2	-122.5	
0.0468	0.915	2.5	-279.3	2.6	-262.9	3.2	-190.6	3.8	-148.0	

Zalacznik III tabl. 7

le = 8.42E-06m 1 Browna = 4.81E-07m 1 max = 6.00E-05m

w	epsilon	le1	b1	le2	b2	le3	b3	le4	b4
0.4926	0.961	6.0	-5.4	8.1	-4.4	8.5	0.7	8.8	4.0
0.3660	0.978	6.9	-22.3	7.0	-21.0	7.4	-14.2	7.7	-9.9
0.2880	0.974	6.1	-37.9	6.2	-36.1	6.6	-27.2	6.9	-21.6
0.2280	0.971	5.4	-55.0	5.5	-52.7	5.9	-41.7	6.2	-34.7
0.1272	0.962	4.1	-107.5	4.1	-103.5	4.6	-84.1	4.9	-71.9
0.0694	0.952	3.4	-147.5	3.5	-141.5	4.0	-113.0	4.3	-95.4
0.0654	0.942	2.9	-189.4	3.0	-180.9	3.5	-141.6	3.9	-117.6
0.0498	0.933	2.5	-231.6	2.6	-220.3	2.1	-168.5	3.5	-137.4
0.0498	0.923	2.5	-231.6	2.6	-218.6	3.2	-160.5	3.7	-125.9
0.0468	0.913	2.5	-242.1	2.6	-226.9	3.2	-160.5	3.8	-121.6
0.0384	0.904	2.2	-277.7	2.3	-259.0	3.0	-178.8	3.6	-132.3

Zalacznik III tabl. 8

le = 7.88E-06m l Browna = 4.81E-07m l max = 4.00E-05m

w	epsilon	le1	b1	le2	b2	le3	b3	le4	b4
0.7143	0.985	9.6	18.0	9.7	18.6	10.1	21.7	10.3	23.7
0.4800	0.980	7.9	-0.0	8.0	1.0	8.4	6.0	8.7	9.2
0.3031	0.975	6.3	-25.8	6.3	-24.3	6.8	-16.4	7.1	-11.5
0.2122	0.970	5.2	-50.4	5.3	-48.1	5.8	-37.0	6.1	-30.0
0.1500	0.965	4.4	-78.9	4.5	-75.7	4.9	-60.4	5.2	-50.8
0.1129	0.960	3.6	-106.2	3.9	-102.0	4.3	-82.0	4.6	-69.6
0.0909	0.955	3.4	-129.8	3.5	-124.6	3.9	-99.7	4.3	-84.3
0.0715	0.950	3.0	-159.0	3.1	-152.5	3.6	-121.6	3.9	-102.6
0.0650	0.945	2.9	-171.8	3.0	-164.2	3.4	-128.9	3.8	-107.3
0.0500	0.940	2.5	-209.9	2.6	-200.4	3.1	-156.9	3.4	-130.4
0.0467	0.935	2.5	-220.7	2.5	-210.1	3.0	-161.7	3.4	-132.4
0.0500	0.930	2.5	-209.9	2.6	-198.8	3.2	-148.9	3.6	-118.9

Załącznik III tabl. 9

$le = 7.57E-06m$ $l Browna = 6.37E-07m$ $l max = 4.00E-05m$

w	epsilon	le1	b1	le2	b2	le3	b3	le4	b4
0.1023	0.975	7.1	-7.2	7.2	-5.9	7.6	0.8	8.0	5.0
0.0763	0.970	6.1	-24.2	6.2	-22.3	6.7	-13.1	7.1	-7.3
0.0585	0.965	5.3	-41.8	5.4	-39.3	6.0	-27.2	6.3	-19.6
0.0432	0.960	4.6	-64.9	4.7	-61.6	5.2	-45.6	5.6	-35.6
0.0342	0.955	4.1	-85.5	4.2	-81.3	4.7	-61.2	5.1	-48.8
0.0262	0.950	3.6	-112.1	3.7	-106.7	4.2	-81.4	4.6	-65.9
0.0241	0.945	3.4	-120.7	3.5	-114.6	4.1	-85.9	4.5	-68.4
0.0198	0.940	3.1	-144.1	3.2	-136.6	3.7	-102.3	4.2	-81.5
0.0160	0.935	2.8	-170.9	2.9	-161.9	3.4	-121.0	3.9	-96.3
0.0146	0.930	2.7	-184.0	2.8	-173.9	3.3	-128.1	3.8	-100.6

Zalacznik IV tab.1

w₀ = 0.0570cm/min le = 2.79E-06m

V/F/L = 2.9510 ROS/ROC = 2.4950

Lp	EPS	K ^o	w
1	0.9899	3.1832	0.8596
2	0.9792	4.7040	0.2734
3	0.9685	5.5035	0.1493
4	0.9578	6.1398	0.0966

Zalacznik IV tab.2

w₀ = 0.1275cm/min le = 4.52E-06m

V/F/L = 5.5727 ROS/ROC = 2.2723

Lp	EPS	K ^o	w
1	0.9893	2.8423	2.0300
2	0.9873	2.9826	1.6200
3	0.9852	3.4332	1.2000
4	0.9796	5.2468	0.5600
5	0.9607	9.5907	0.1500
6	0.9800	6.3172	0.4750
7	0.9750	6.1562	0.3840
8	0.9700	6.3187	0.3070
9	0.9650	7.4551	0.2196
10	0.9600	8.1522	0.1730
11	0.9550	8.7965	0.1403
12	0.9500	9.5910	0.1140

Zalacznik IV tab.3

w₀ = 0.0485cm/min le = 2.75E-06m

V/F/L = 2.9702 FOS/ROC = 2.3123

Lp	EPS	R°	w
1	0.9896	2.1112	1.0700
2	0.9876	2.2419	0.8400
3	0.9856	2.4422	0.6600
4	0.9837	2.8314	0.5000
5	0.9798	3.7628	0.3000

Zalacznik IV tab.4

w₀ = 0.2282cm/min le = 6.05E-06m

V/F/L = 5.1903 FOS/ROC = 2.2723

Lp	EPS	R°	w
1	0.9807	9.0775	0.6144
2	0.9778	9.5014	0.5058
3	0.9740	11.5155	0.3522
4	0.9711	12.9060	0.2802
5	0.9615	20.7142	0.1272
6	0.9518	24.3040	0.0840
7	0.9422	26.4658	0.0624
8	0.9326	24.3509	0.0564
9	0.9230	23.9798	0.0486
10	0.9133	24.5770	0.0408
11	0.9035	44.0514	0.0198

Zalacznik IV tab.5

w₀ = 0.2987 cm/min le = 6.92E-06m

V/F/L = 4.8308 ROS/ROC = 2.2723

Lp	EPS	K ⁰	w
1	0.9814	12.9358	0.5844
2	0.9786	14.7290	0.4440
3	0.9749	15.9787	0.3450
4	0.9721	19.2363	0.2556
5	0.9535	31.5642	0.0882
6	0.9349	32.5422	0.0576
7	0.9256	36.3394	0.0438
8	0.9163	37.5026	0.0366
9	0.9070	68.8564	0.0174

Zalacznik IV tab.6

w₀ = 0.2996 cm/min le = 6.93E-06m

V/F/L = 6.5730 ROS/ROC = 2.2723

Lp	EPS	K ⁰	w
1	0.9841	11.4338	0.7854
2	0.9811	12.3774	0.6048
3	0.9783	13.8659	0.4662
4	0.9745	15.5970	0.3486
5	0.9717	16.3648	0.2880
6	0.9623	21.7787	0.1626
7	0.9529	26.5147	0.1038
8	0.9434	31.3907	0.0708
9	0.9340	26.5736	0.0696
10	0.9246	24.4635	0.0642
11	0.9151	28.8945	0.0468

Zalacznik IV tab.7

w₀ = 0.2149 cm/min l_e = 5.87E-06m

V/F/L = 5.8952 ROS/ROC = 2.2723

L _p	EPS	K ⁰	w
1	0.9807	10.6609	0.4926
2	0.9778	12.3638	0.3660
3	0.9740	13.2601	0.2880
4	0.9711	14.9346	0.2280
5	0.9615	19.5045	0.1272
6	0.9518	21.5024	0.0894
7	0.9422	23.7771	0.0654
8	0.9326	25.9676	0.0498
9	0.9230	22.0354	0.0498
10	0.9133	20.1749	0.0468
11	0.9035	21.3875	0.0384

Zalacznik IV tab.8

w₀ = 0.2132cm/min l_e = 5.85E-06m

V/F/L = 5.1054 ROS/ROC = 2.2723

Lp	EPS	K ^o	w
1	0.9850	9.5060	0.7143
2	0.9800	10.4489	0.4800
3	0.9750	13.0362	0.3031
4	0.9700	15.2796	0.2122
5	0.9650	18.2426	0.1500
6	0.9600	20.8796	0.1129
7	0.9550	22.6908	0.0909
8	0.9500	25.5455	0.0715
9	0.9450	25.1584	0.0650
10	0.9400	29.5070	0.0500
11	0.9350	28.7175	0.0467
12	0.9300	24.4931	0.0500

Zalacznik IV tab.9

w₀ = 0.0566 cm/min l_e = 5.85E-06 m

V/F/L = 5.1054 FOS/FOC = 2.0835

I _p	EPS	K ^o	w
1	0.9750	10.2498	0.1023
2	0.9700	11.2842	0.0763
3	0.9650	12.4172	0.0585
4	0.9600	14.4672	0.0432
5	0.9550	16.0202	0.0342
6	0.9500	18.5458	0.0262
7	0.9450	17.9767	0.0241
8	0.9400	19.8235	0.0198
9	0.9350	22.1873	0.0160
10	0.9300	22.2899	0.0146

Zalacznik V tab.1

$w_0 = 0.0248 \text{ cm/min}$ $le = 1.84E-06\pi$

$V/F/L = 2.9510$ $ROS/ROC = 2.4950$

Lp	EPS	K ^o	W
1	0.9899	1.3876	0.8596
2	0.9792	2.0505	0.2734
3	0.9685	2.3990	0.1493
4	0.9578	2.6764	0.0966

Zalacznik V tab.2

$w_0 = 0.0426 \text{ cm/min}$ $le = 2.61E-06\pi$

$V/F/L = 5.5727$ $ROS/ROC = 2.2723$

Lp	EPS	K ^o	W
1	0.9893	0.9491	2.0300
2	0.9873	0.9960	1.6200
3	0.9852	1.1464	1.2000
4	0.9796	1.7520	0.5600
5	0.9607	3.2026	0.1500
6	0.9800	2.1095	0.4750
7	0.9750	2.0557	0.3840
8	0.9700	2.1100	0.3070
9	0.9650	2.4894	0.2196
10	0.9600	2.7222	0.1730
11	0.9550	2.9374	0.1403
12	0.9500	3.2027	0.1140

Zalacznik V tab.3

w₀ = 0.0211cm/min l_e = 1.81E-06m

V/F/L = 2.9702 POS/POC = 2.3123

Lp	EPS	K°	w
1	0.9896	0.9204	1.0700
2	0.9876	0.9773	0.8400
3	0.9856	1.0646	0.6600
4	0.9837	1.2343	0.5000
5	0.9798	1.6403	0.3000

Zalacznik V tab.4

w₀ = 0.0771cm/min l_e = 3.52E-06m

V/F/L = 5.1903 POS/POC = 2.2723

Lp	EPS	K°	w
1	0.9807	3.0650	0.6144
2	0.9778	3.2081	0.5058
3	0.9740	3.8882	0.3522
4	0.9711	4.3577	0.2802
5	0.9615	6.9941	0.1272
6	0.9518	8.2062	0.0840
7	0.9422	8.9361	0.0624
8	0.9326	8.2220	0.0564
9	0.9230	8.0968	0.0486
10	0.9133	8.2984	0.0408
11	0.9035	14.8739	0.0198

Zalacznik V tab.5

w₀ = 0.1032cm/min le = 4.07E-06m

V/F/L = 4.8308 ROS/ROC = 2.2723

Lp	EPS	K ^o	w
1	0.9614	4.4853	0.5844
2	0.9786	5.0874	0.4440
3	0.9749	5.5191	0.3450
4	0.9721	6.6443	0.2556
5	0.9535	10.9024	0.0882
6	0.9349	11.2402	0.0576
7	0.9256	12.5517	0.0438
8	0.9163	12.9535	0.0366
9	0.9070	23.7832	0.0174

Zalacznik V tab.6

w₀ = 0.0905cm/min le = 3.81E-06m

V/F/L = 6.5730 ROS/ROC = 2.2723

Lp	EPS	K ^o	w
1	0.9841	3.4535	0.7354
2	0.9811	3.7385	0.6048
3	0.9783	4.1881	0.4662
4	0.9745	4.7110	0.3486
5	0.9717	5.0939	0.2830
6	0.9623	6.5782	0.1626
7	0.9529	8.0086	0.1038
8	0.9434	9.4814	0.0708
9	0.9340	8.0264	0.0696
10	0.9246	7.3891	0.0642
11	0.9151	8.7274	0.0468

Zalacznik V tab.7

w₀ = 0.0684 cm/min l_e = 3.31E-06 m

V/F/L = 5.8952 ROS/ROC = 2.2723

Lp	EPS	R°	W
1	0.9807	3.3928	0.4926
2	0.9778	3.9347	0.3660
3	0.9740	4.2200	0.2880
4	0.9711	4.7529	0.2280
5	0.9615	6.2072	0.1272
6	0.9518	6.8431	0.0894
7	0.9422	7.5670	0.0654
8	0.9326	8.2641	0.0498
9	0.9230	7.0127	0.0498
10	0.9133	6.4206	0.0468
11	0.9035	6.8065	0.0384

Zalacznik V tab.8

w₀ = 0.0709cm/min 1e = 3.37E-06m

V/F/L = 5.1054 ROS/ROC = 2.2723

Lp	EPS	K ^o	w
1	0.9850	3.1609	0.7143
2	0.9800	3.4744	0.4800
3	0.9750	4.3348	0.3031
4	0.9700	5.0807	0.2122
5	0.9650	6.0660	0.1500
6	0.9600	6.9428	0.1129
7	0.9550	7.5451	0.0909
8	0.9500	8.4943	0.0715
9	0.9450	8.3656	0.0650
10	0.9400	9.8116	0.0500
11	0.9350	9.5491	0.0467
12	0.9300	8.1444	0.0500

Zalacznik V tab.9

w₀ = 0.0188cm/min l_e = 3.37E-06m

V/F/L = 5.1054 ROS/ROC = 2.0835

Lp	EPS	K°	W
1	0.9750	3.4082	0.1023
2	0.9700	3.7522	0.0763
3	0.9650	4.1289	0.0585
4	0.9600	4.8106	0.0432
5	0.9550	5.3270	0.0342
6	0.9500	6.1668	0.0262
7	0.9450	5.9776	0.0241
8	0.9400	6.5917	0.0198
9	0.9350	7.3777	0.0160
10	0.9300	7.4118	0.0146

Załacznik VI

Dane z pracy [38]

Prędkość opadania w [cm/min] w funkcji średnicy naczynia sedimentacyjnego D

D [cm]	$c_v = 0,015$	0,02	0,025	0,03	0,035	0,04	0,045	0,05	0,10	0,15	0,20	0,25
3,7	3,41667	3,25	2,75	2,71	2,14	1,745	1,77	1,51	0,359	0,1923	0,1071	0,06667
36	3,9	3,2	2,91667	2,5857		1,975	2,114	1,778	0,350	0,1625	0,09667	
92					0,5	0,4167	0,25	0,25	0,25	0,225	0,2083	

